



# Квантовая криптография

*С.Н.Молотков*

*Кафедра суперкомпьютеров и квантовой информатики  
ВМК, МГУ имени М.В.Ломоносова,*

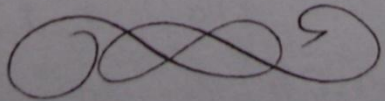
**LOGO**

**Почти каждый изобретатель системы шифрования  
убежден в невозможности взлома своего детища.**

*Дэвид Кан*

а.	б.	в.	г.	д.	е.	ж.	з.
б.	в.	г.	д.	е.	ж.	з.	и.
и.	к.	л.	м.	н.	о.	п.	р.
к.	л.	м.	н.	о.	п.	р.	с.
с.	т.	у.	ф.	х.	б.	ц.	ч.
у.	ф.	х.	б.	ц.	ч.	ш.	щ.
щ.	з.	и.	к.	л.	м.	н.	о.
и.	к.	л.	м.	н.	о.	п.	р.

Азбука Петра Великого  
 Машинописная



Шифр простой замены (“Цифирь”), написанная рукой Петра I (1700 год)

Копия.

Исказъ Намеднъ (Всакно.),

Вѣдминистраційнѣ пожелали мы въспомоществовати  
сердѣ описанымъ нами. Вѣдминистраціи россійскій Владѣлецъ  
вѣдминистраціи (Сѣвернѣ) съготовити вѣдминистраціи  
постыяте постыати соавъ рѣшѣнъ въдѣ. Идѣ. тѣ  
дѣи сердѣ описанымъ. Намеднъ (Всакно.)  
мы казѣнъ въдѣ описанымъ. Намеднъ (Всакно.)  
вѣдминистраціи россійскій Владѣлецъ вѣдминистраціи  
вѣдминистраціи Канцеляріи, Намеднъ (Всакно.)  
вѣдминистраціи вѣдминистраціи Намеднъ (Всакно.)

Прѣдныиъ вѣдминистраціи вѣдминистраціи.  
(Сѣвернѣ) вѣдминистраціи россійскій Владѣлецъ, —

Елисаветѣ.

И  
Мартъ 18. дня  
1742. Годъ.

**Об определении в Коллегию иностранных дел бывшего при Академии наук профессора юстиц-рата Христиана Гольдбаха статским советником с жалованьем 1500 рублей, о выдаче недоданного ему в Академии наук жалованья и о выдаче ему вперед жалованья.**

**Россия 18 век**

**Христиан Гольдбах (1690-1764)**

**Франц Ульрих Теодор Эпинус (1724-1802)**

**20 век**

**1918 г. - один из самых замечательных трудов в области криптоанализа W.F.Friedman “The Index of Coincidence and its Applications in Cryptography”, Riverbank Labs. 1920.**

**1924 г. Патент на роторную шифровальную машину--  
E.H.Hebern “Electronic Coding Machine”, US Patent, no/1,510,441  
30 Sep.1924.**

**1920-1949 за одним исключением открытая литература умерла,  
исключение составила работа 1949 г. C.Shannon “The  
Communication Theory of Secrecy Systems”**

# Криптоанализ

- **kryptós**, **скрытый**
- **analúein**, **устранять, решать**

Term coined in 1920  
by William F. Friedman.

- Born in Moldavia
- Chief cryptologist at NSA, 1950s.



## Cold War Soviet Cryptanalysis

- Soviet Union was breaking codes and employed at least 100 cryptologists...

[Source: Cryptologia, interviews by David Kahn  
with gen. Andreev=first head of FAPSI=Russian NSA]

Example: In 1967 GRU (Soviet Intelligence) was intercepting cryptograms from 115 countries, using 152 cryptosystems, and among these they broke 11 codes and “obtained” 7 other codes.





101010101  
101010101

# Шифр Цезаря (58 – 51 д.н.э.)

ANYONE KNOW WHERE I CAN GET DECENT PIZZA?  
dqbrqh nqrz zkhuh l edq jhw ghfhqw slccd?

$$\mathbb{Z}_{26} = \{0, 1, \dots, 25\}$$

$$k \in \mathbb{Z}_{26}$$

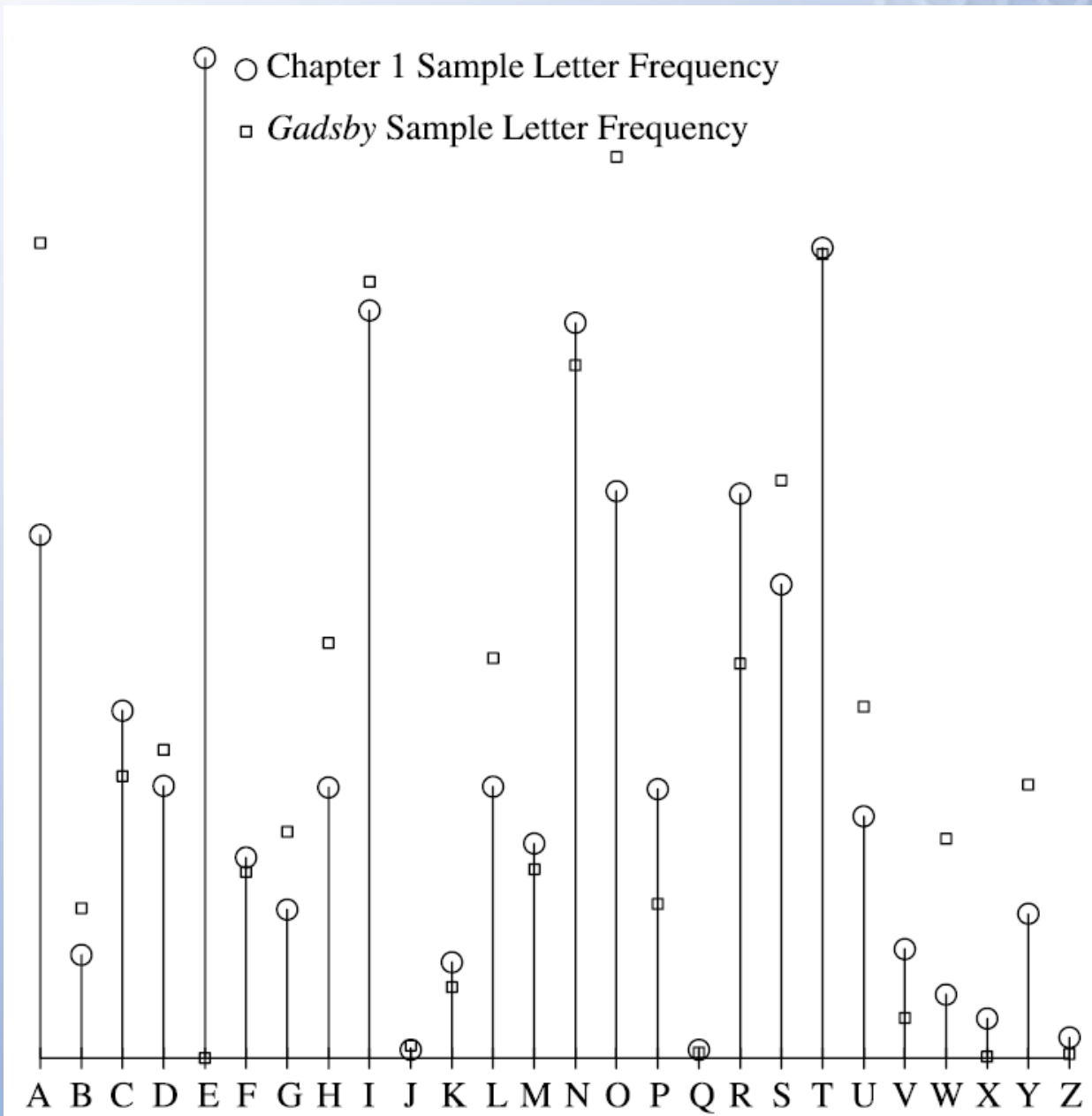
## Подстановка Цезаря

$$C_k : x \rightarrow y = C_k(x) = (x + k) \pmod{26}$$

## Аффинный шифр Цезаря

$$A_{j,k} : x \rightarrow y = A_{j,k}(x) = (jx + k) \pmod{26}$$

**Не меняет частоту символов в шифре**



## Моноалфавитная подстановка

$$(x_0, x_1, \dots, x_{n-1}) \rightarrow (y_0, y_1, \dots, y_{n-1})$$

## Общее правило подстановки

$$y_i = \theta(x_i)$$

## Полиалфавитная подстановка

$$y_i = \theta_i(x_i), \quad 0 \leq i < n$$

## Бегущий ключ

$$\underline{k} = (k_0, k_1, \dots, k_{n-1}), \quad k_i \in \mathbb{Z}_{26} \quad (0 \leq i < n)$$

$$\underline{x} = (x_0, x_1, \dots, x_{n-1})$$

$$\underline{x} \rightarrow \underline{y} = (y_0, y_1, \dots, y_{n-1}), \quad y_i = C_{k_i}(x_i), \quad 0 \leq i < n.$$

Porta's *Traicté des Chiffres* (1585)

Blaise de Vigenère 1523

*A Treatise on Secret Writing*

Key	Plaintext					
	A	B	C	...	Y	Z
0	a	b	c	...	y	z
1	b	c	d	...	z	a
2	c	d	e	...	a	b
	⋮	⋮	⋮	⋮	⋮	⋮
25	z	a	b	...	x	y

$$x = B \quad K = 2 \quad y = d$$

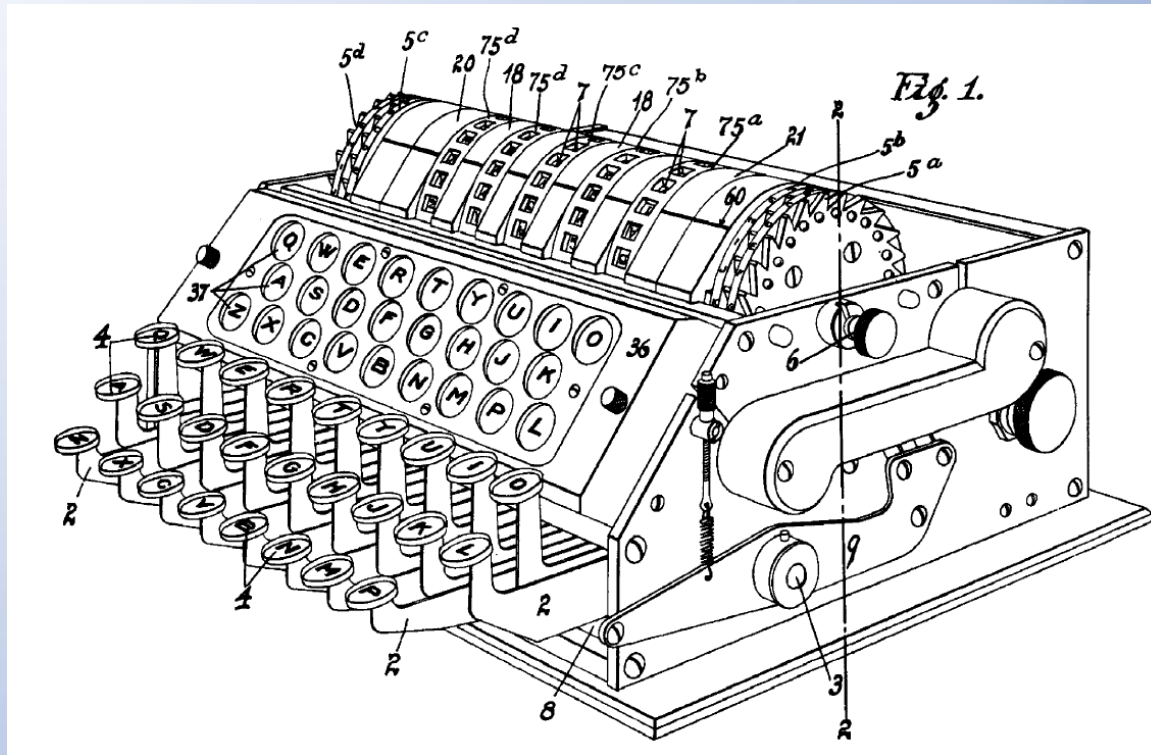
$$(k_0, k_1, \dots, k_{r-1}) \quad \underline{k} = (k_0, k_1, \dots, k_{n-1}, \dots)$$

C	R	Y	P	T	O	G	R	A	P	H	Y
2	17	24	15	19	14	6	17	0	15	8	24

C	R	Y	P	T	O	G	R	A	P	H	Y	C	R	Y	P	T	O	G	R
2	17	24	15	19	14	6	17	0	15	8	24	2	17	24	15	19	14	6	17



**Эдвард Хеберн    Арвид Дамм    Артур Шербиус**

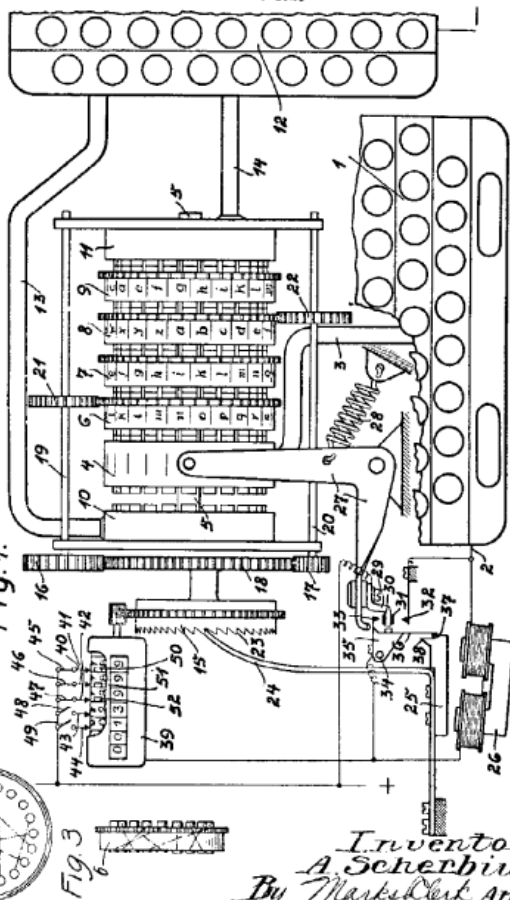


Edward Hebern's *Electric Code Machine* (U.S. Patent no: 1,673,072).

Jan. 24, 1928.

1,657,411

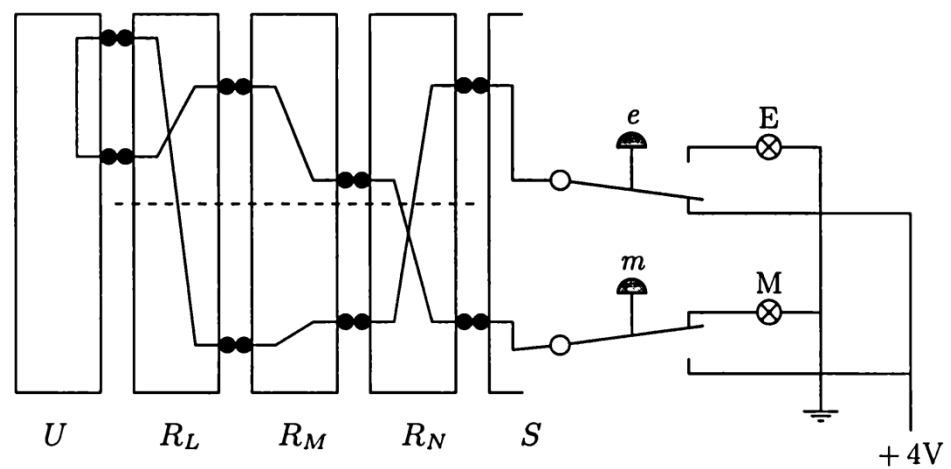
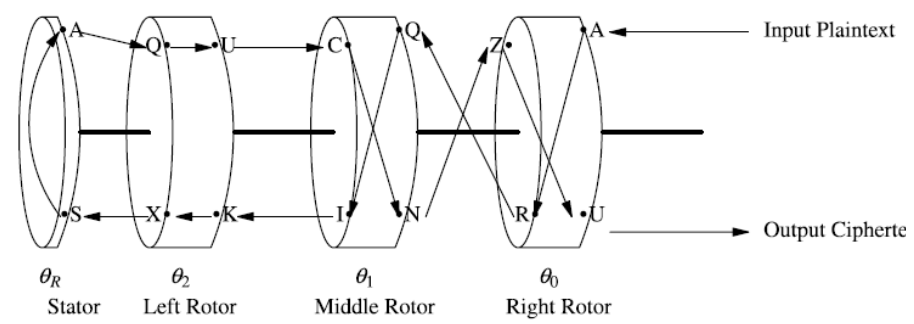
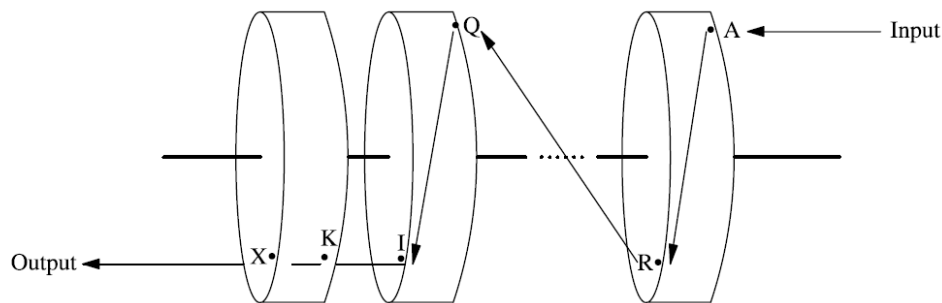
A. SCHERBIUS  
CIPHERING MACHINE  
Filed Feb. 6, 1925



Patent no.	Year	Country	Patenter	Description
52,279	1919	Sweden	Arvid G. Damm	
1,484,477	1924	United States		Apparatus for enc/deciphering code expressions
1,502,889	1924	United States		Production of Ciphers
1,540,107	1925	United States		Apparatus for the production of cipher documents
10,700	1919	Holland	Hugo A. Koch	Geheimsschrijtmachine
1,533,252	1925	United States		Printing telegraph system
1,657,411	1928	United States	Arthur Scherbius	Ciphering machine
1,510,441	1924	United States	Edward H. Hebern	Electric code machine
1,861,857	1932	United States		Cryptographic machine







В ЭНИГМЕ I и в ЭНИГМЕ *Вермахта* «регулярное» перемещение роторов обеспечивалось благодаря наличию *одного* паза в *алфавитном кольце* каждого ротора. Самый «быстрый» ротор (крайний справа)  $R_N$  перемещался на одну позицию на каждом шаге шифрования. Каждый полный оборот его вызывает перемещение на одну позицию «среднего» ротора (центрального)  $R_M$ , полный оборот которого, в свою очередь, вызывает перемещение на одну позицию «медленного» (крайнего левого) ротора  $R_L$ . Фактически это означало регулярное, как в счетчике, вращение роторов («греческие» роторы  $\beta$  и  $\gamma$ , которые были введены позднее, не имели возможности перемещаться).

## **Начало криптоанализа Энигмы**

**Marian .Rajewski, Jerzy Rozycki, Henryk Zygalsky 1932 - 1939.**

**Alan Turing, Gordon Welchman, начало 1939, 1940-1945**

## Fialka = Фиалка = Violet = M-125

Around 1965.

MUCH stronger than Enigma...

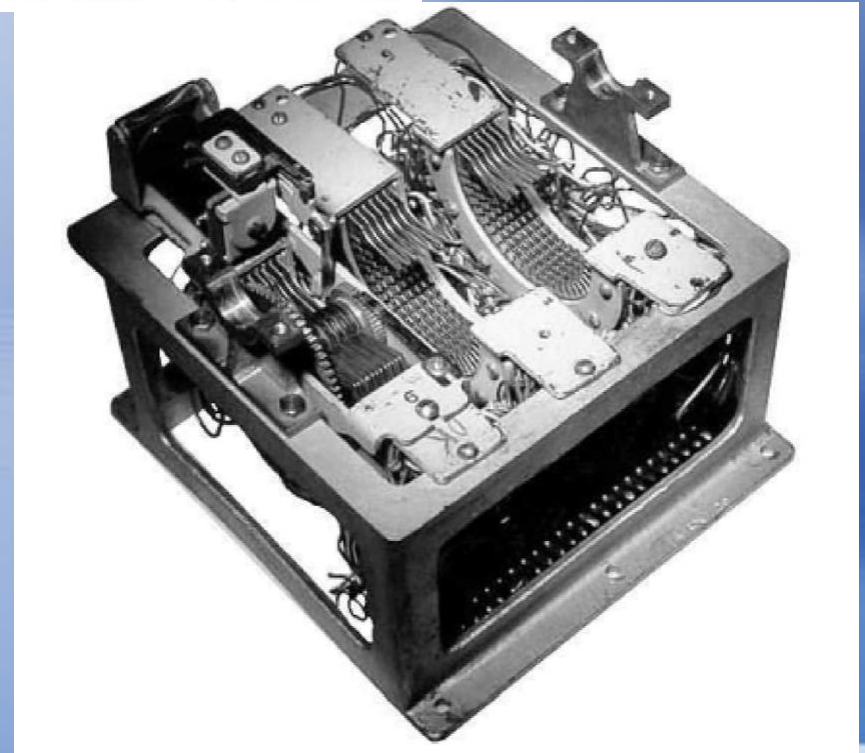
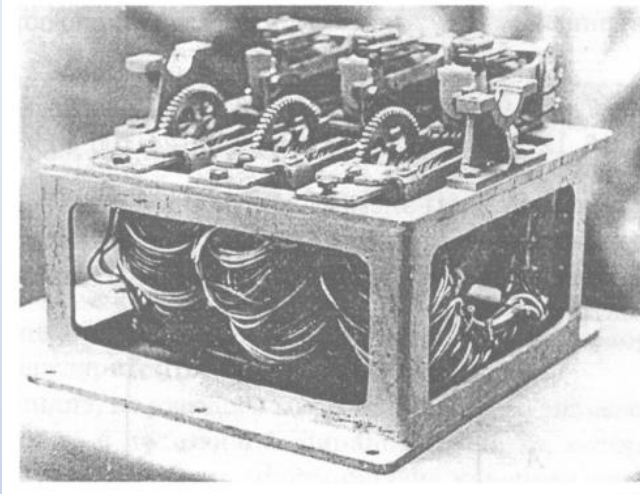
Used until 1987 in East Germany...



## Was Fialka Broken?

- Israel have captured Fialka machines during the 6-day war in 1967 and ... nothing more was disclosed.
- Austria would intercept and decrypt a fair proportion of Fialka traffic during the Cold War...
- In the 1970s the NSA would build a supercomputer to decrypt Fialka routinely

С. С. Толстой



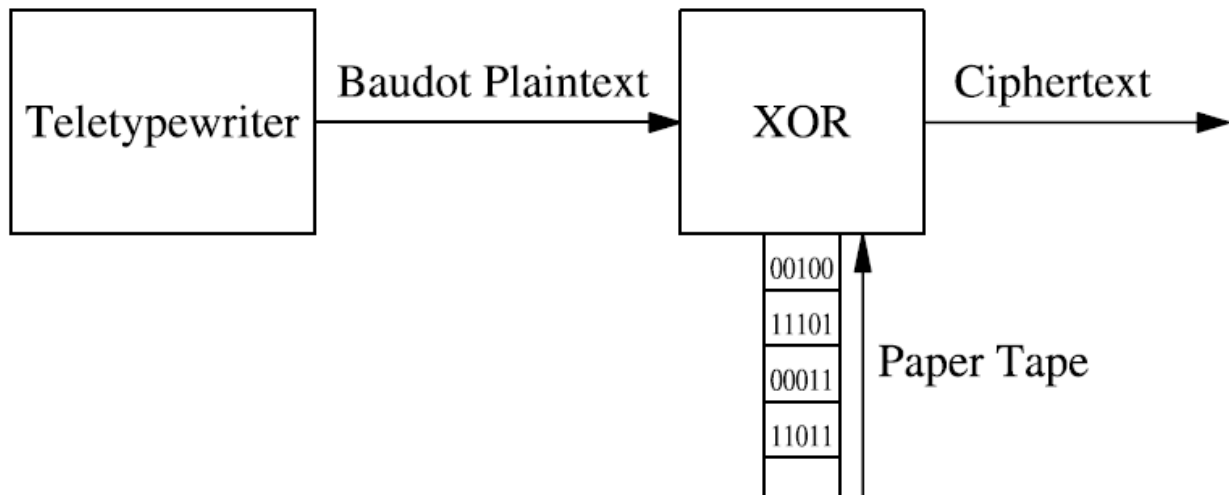
Японская шифровальная машина Purple

Гилберт Вернам -- инженер американской телефонной и телеграфной компании. В 1917 году разработал телетайп, чтобы он мог работать в режиме он-лайн шифрование/расшифрование. Открытый текст был впервые закодирован 0 и 1 с использованием кода Бодо, в котором каждый символ представлен 5-битовой последовательностью.

Шифрование в этой системе Вернама представляло собой переоткрытый способ полиалфавитного шифрования Виженера. Ключ был написан на бумажной ленте как последовательность 0 и 1.

Открытый текст – последовательность 0 и 1 по коду Бодо, был зашифрован на периодическом ключе операцией XOR. Ключ представлял собой бумажную ленту с 0 и 1 и склеенными концами – петлю.

Baudot code							
A	00011	B	11001	C	01110	D	01001
E	00001	F	01101	G	11010	H	10100
I	00110	J	01011	K	01111	L	10010
M	11100	N	01100	O	11000	P	10110
Q	10111	R	01010	S	00101	T	10000
U	00111	V	11110	W	11011	X	11101
Y	10101	Z	10001	LF	00010	CR	01000
↑	11111	↓	11011	SP	00100		00000
0	10110	1	10111	2	10011	3	00001
4	01010	5	10000	6	10101	7	00111
8	00110	9	11000	?	11001	\$	01001
Bell	01011	!	01101	;	01110	&	11010
#	10100	(	01111	)	10010	.	11100
,	01100	/	11101	,	00101	;	11110



Доклад Вернама от компании AT&T для армии США об изобретении.  
Майор Мауборн + Вернам -- Патент США 1,310,719, По-видимому, Майор Мауборн понял, что повторное использование ленты может сделать шифр Вернама уязвимым для криптоанализа.

В патенте Вернама и Мауборн описано обобщение полиалфавитного шифрования на случай бесконечной ленты – one-time tape (позднее one-time pad – одноразовый блокнот).



Vernam and Mauborgne

22 JUL 1926  
PRIVATE

BELL TELEPHONE LABORATORIES  
INCORPORATED

JUNE  
1926



REPRINT  
B-198

CIPHER PRINTING  
TELEGRAPH SYSTEMS

BY

G. S. VERNAM

CIPHER PRINTING TELEGRAPH  
SYSTEMS FOR SECRET WIRE AND RADIO  
TELEGRAPHIC COMMUNICATIONS

By G. S. VERNAM<sup>1</sup>  
Associate, A. I. E. E.

*Synopsis.*—This paper describes a printing telegraph cipher system developed during the World War for the use of the Signal Corps, U. S. Army. This system is so designed that the messages are in secret form from the time they leave the sender until they are deciphered automatically at the office of the addressee. If copied while en route, the messages cannot be deciphered by an enemy, even though he has full knowledge of the methods and apparatus used. The operation of the equipment is described, as well as the method of using it for sending messages by wire, mail or radio.

The paper also discusses the practical impossibility of preventing the copying of messages, as by wire tapping, and the relative advantages of various codes and ciphers as regards speed, accuracy and the secrecy of their messages.

INTRODUCTION

THE purpose of this paper is to discuss briefly certain methods for obtaining secrecy in connection with messages sent by wire or radio telegraphy, and to describe in particular printing telegraph cipher systems that were developed for this purpose during the World War.

## RUNNING KEY CIPHERS

If the key used with this type of cipher is made very long, so that it never repeats and if any portion of this key is never used for more than one message, the operation of “breaking” the cipher becomes very much more difficult. If, now, instead of using English words or sentences, we employ a key composed of letters selected absolutely at random, a cipher system is produced which is absolutely unbreakable.



В.А. Котельников  
Автор «теоремы Котельникова»  
(1932 г.)



Владимир Александрович Котельников  
(06.09.1908 – 11.02.2005)

**Одноразовые ключи -- Отчет 19 июня 1941 г.**



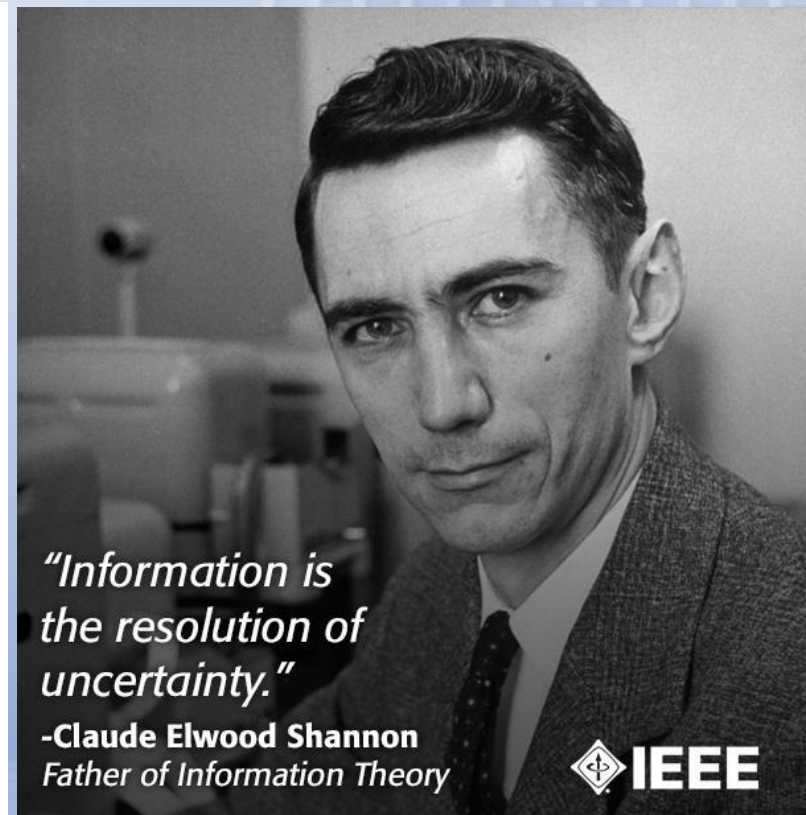
# Communication Theory of Secrecy Systems\*

By C. E. SHANNON

## 1 INTRODUCTION AND SUMMARY

The problems of cryptography and secrecy systems furnish an interesting application of communication theory<sup>1</sup>. In this paper a theory of secrecy systems is developed. The approach is on a theoretical level and is intended to complement the treatment found in standard works on cryptography<sup>2</sup>. There, a detailed study is made of the many standard types of codes and ciphers, and of the ways of breaking them. We will be more concerned with the general mathematical structure and properties of secrecy systems.

The treatment is limited in certain ways. First, there are three general types of secrecy system: (1) concealment systems, including such methods as invisible ink, concealing a message in an innocent text, or in a fake covering cryptogram, or other methods in which the existence of the message is concealed from the enemy; (2) privacy systems, for example speech inversion, in which special equipment is required to recover the message; (3) "true" secrecy systems where the meaning of the message is concealed by cipher, code, etc., although its existence is not hidden, and the enemy is assumed to have any special equipment necessary to intercept and record the transmitted signal. We consider only the third type—concealment systems and



*"Information is  
the resolution of  
uncertainty."*

**-Claude Elwood Shannon**  
*Father of Information Theory*

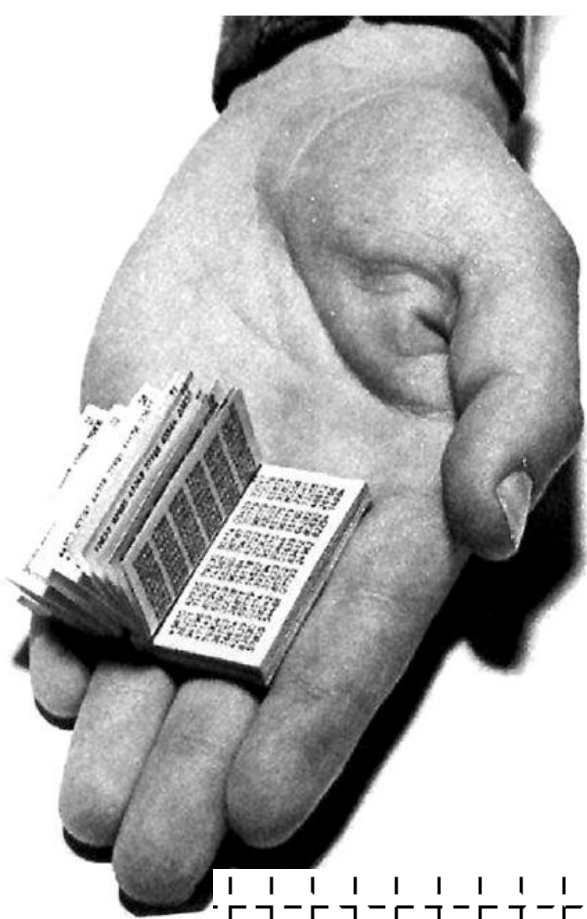


---

\* The material in this paper appeared in a confidential report "A Mathematical Theory of Cryptography" dated Sept. 1, 1946, which has now been declassified.

<sup>1</sup> Shannon, C. E., "A Mathematical Theory of Communication," Bell System Technical Journal, July 1948, p.379; Oct. 1948, p.623.

<sup>2</sup> See, for example, H. F. Gaines, "Elementary Cryptanalysis," or M. Givierge, "Cours de Cryptographie."



Одноразовый блокнот был найден в доме Рудольфа Ивановича Абея, советского разведчика, арестованного в 1957 году в США. Одноразовый блокнот содержал 60 пятизначных групп случайных десятичных цифр.

В открытой литературе не рассказывается, как осуществлялась генерация случайных чисел.

20505	60476	04016	88622	36579	39249	67480	72479	66266	87127
92365	70390	04618	94915	08730	77472	67325	85635	01210	22288
99873	16471	56328	29731	35682	23798	46859	07234	10566	29350
03229	46862	90096	60275	61685	52187	94072	88348	20714	39363
49924	84489	58498	92285	92394	71287	36378	94819	19574	66292
98910	98264	32572	46231	58592	35289	98189	66859	23710	20413

# Шифрование в два этапа

## Кодовая таблица

Комбинация кодовой  
таблицы и шифрования в  
режиме одноразового  
блокнота

Phrase	Codeword
⋮	⋮
Contact	7652
⋮	⋮
endspell	1653
⋮	⋮
pay	6781
⋮	⋮
spell	5411
⋮	⋮

konheim delivered report about rockets

Teacher delivered report about grades

7394 2157 1139 3872 2216

73942 15711 39387 22216

16471 56328 29731 35682 23798 46659

**Зачем это нужно?**

**Проблема распределения секретных ключей --  
центральная проблема в криптографии.**

**Цель квантового распределения ключей –  
создание сетевой полностью  
автоматизированной системы смены  
ключей без участия оператора  
(после запуска системы человек никогда не  
имеет доступа к ключам, используемым  
для шифрования)**

## Секретный ключ

$$K \rightarrow \{0,1\}^n$$

$$K_E \rightarrow \{0,1\}^n$$

$$P(K = k) = \frac{1}{2^n}$$

$$P(K = k \mid K_E = k_E) = \frac{1}{2^n}$$

$$I(M; C) = H(C) - H(C | M) = 0$$

$$p(c | m) = p(c)$$

$$c = m \oplus k$$

$$m = c \oplus k = (m \oplus k) \oplus k$$

# Квантовая криптография = Квантовое распределение ключей = Согласование случайных последовательностей





# Элементы систем квантовой криптографии:

1) Физический генератор (квантовый) истинно случайных последовательностей.

2) Протокол – набор действий, по которым 0 и 1 сопоставляются квантовые состояния. **ЦЕНТРАЛЬНЫЙ МОМЕНТ – ДОКАЗАТЕЛЬСТВА СЕКРЕТНОСТИ КЛЮЧЕЙ.**

3) Исправление ошибок в первичных ключах.

4) Сжатие очищенных ключей – усиление секретности универсальными хеш-функциями.

5) Конечный продукт работы любой системы квантовой криптографии – общий секретный ключ.

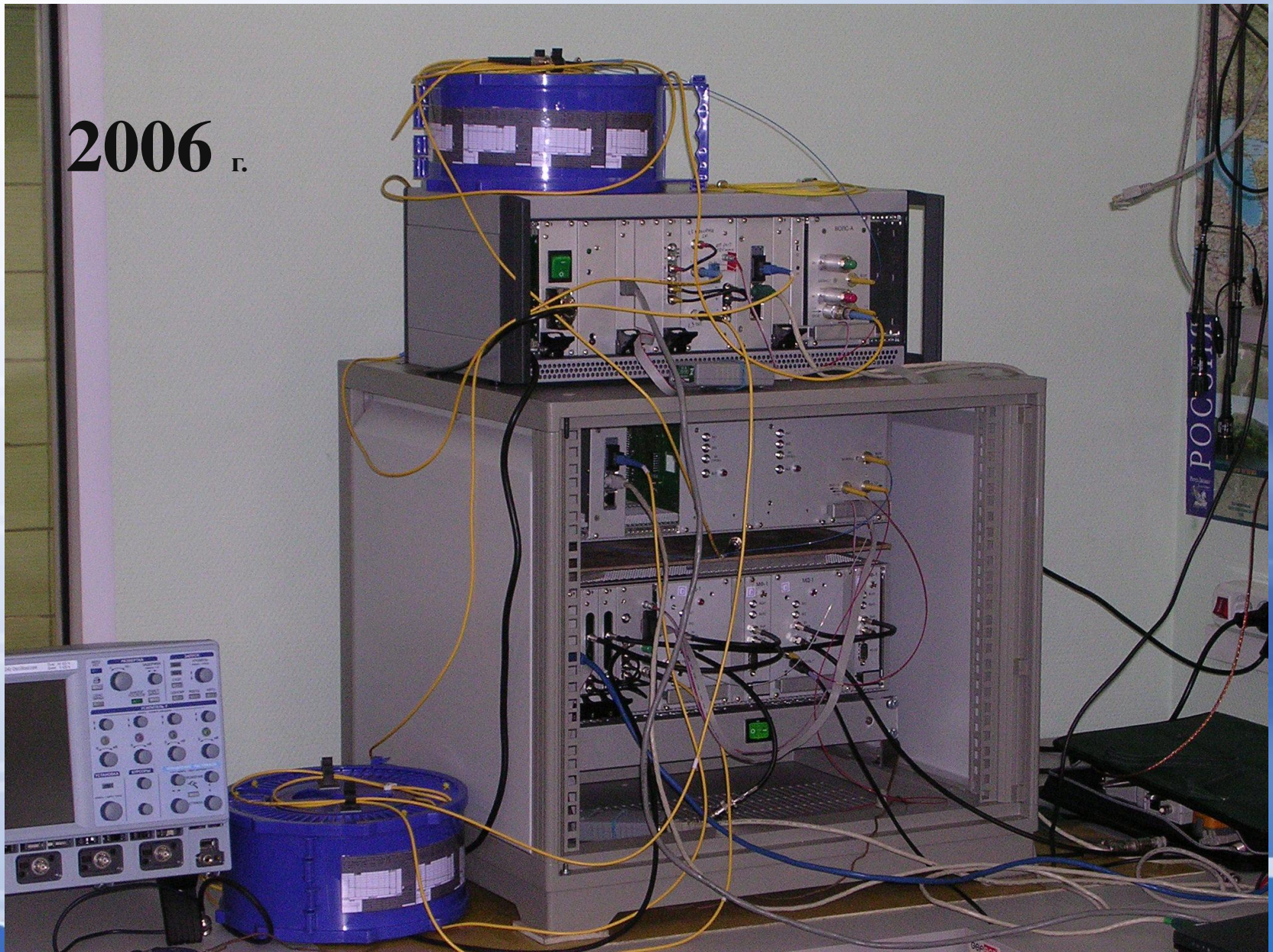
# Как это работает – кратко общие принципы

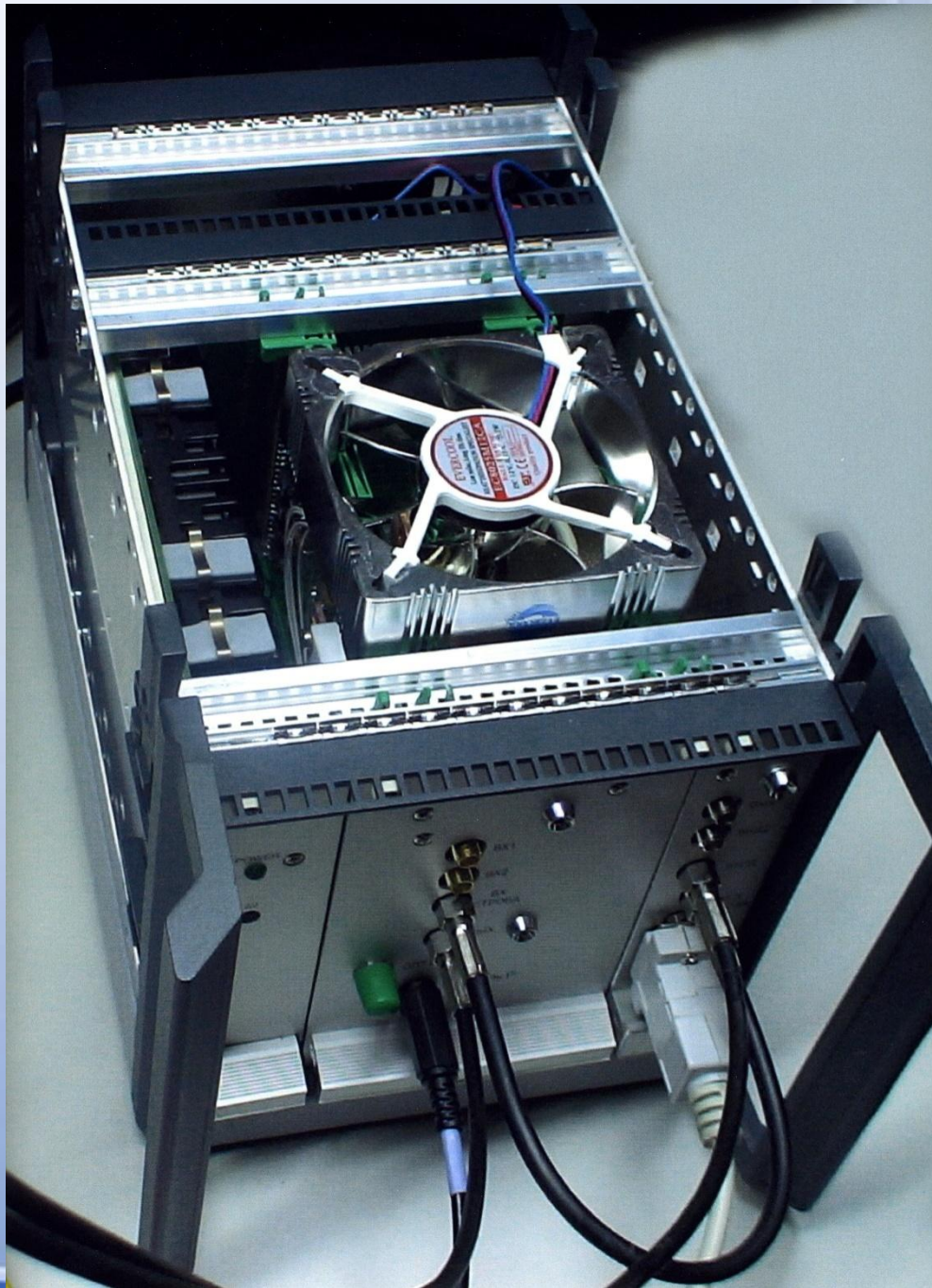
## **Фундаментальные запреты квантовой механики.**

- 1) Неизвестное квантовое состояние нельзя скопировать (с вероятностью единица).**
- 2) Любое измерение с целью отличить одно квантовое состояние от другого искажает состояние. Важно -- возмущение гарантируется для неортогональных квантовых состояний.**

**Цель квантового распределения ключей –  
создание сетевой полностью  
автоматизированной системы смены  
ключей без участия оператора  
(после запуска системы человек никогда не  
имеет доступа к ключам, используемым  
для шифрования)**

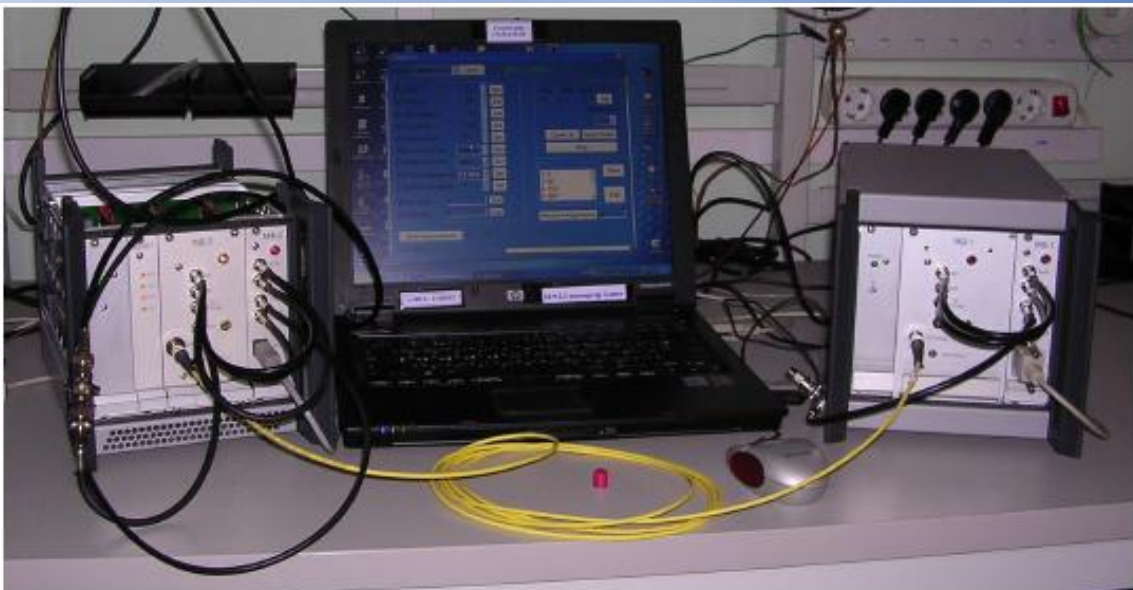
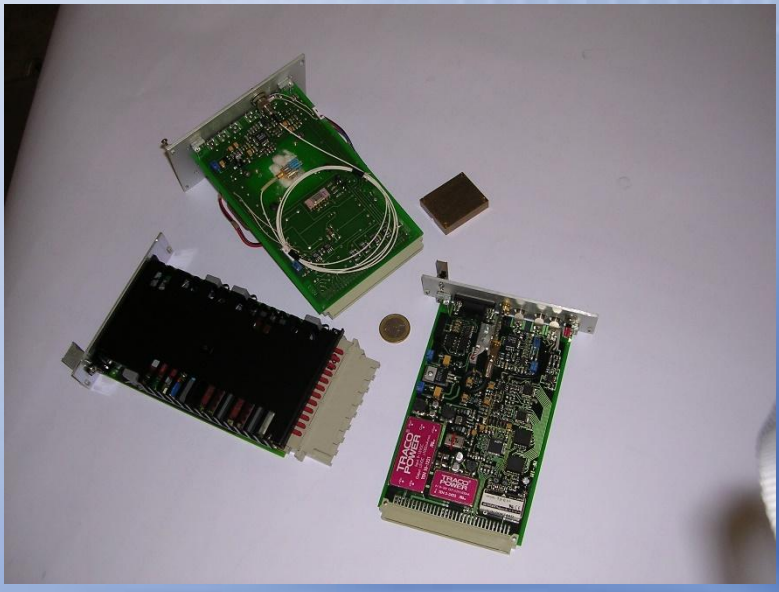
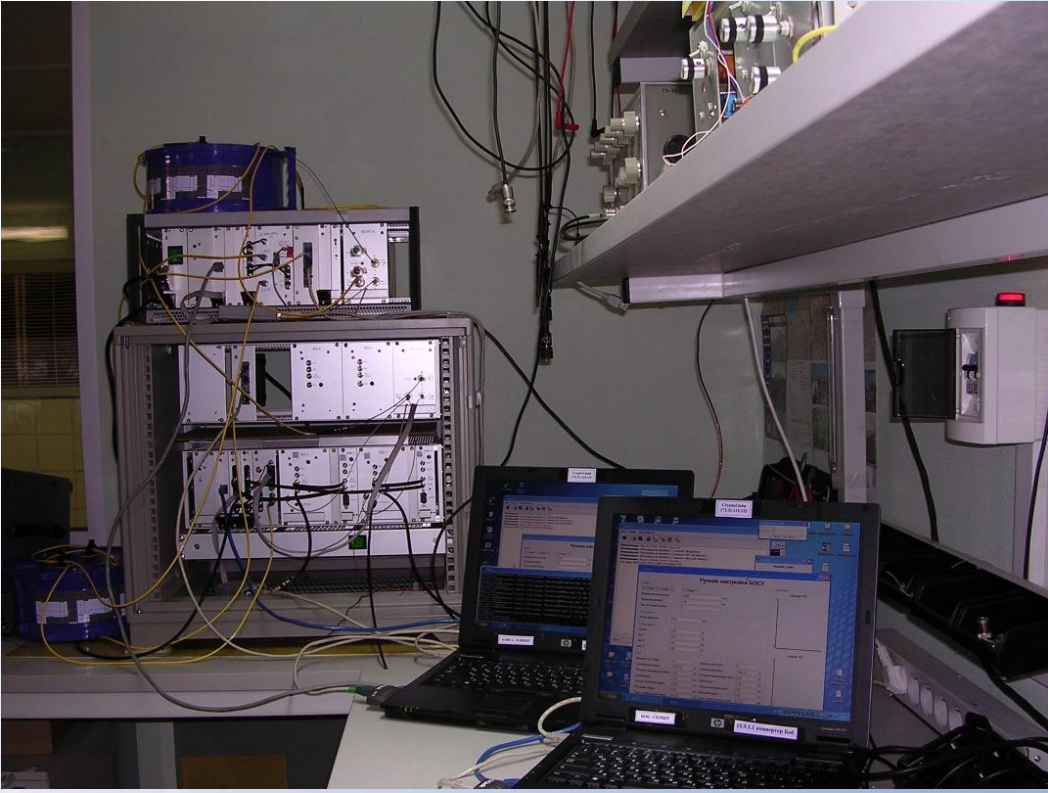
2006 г.



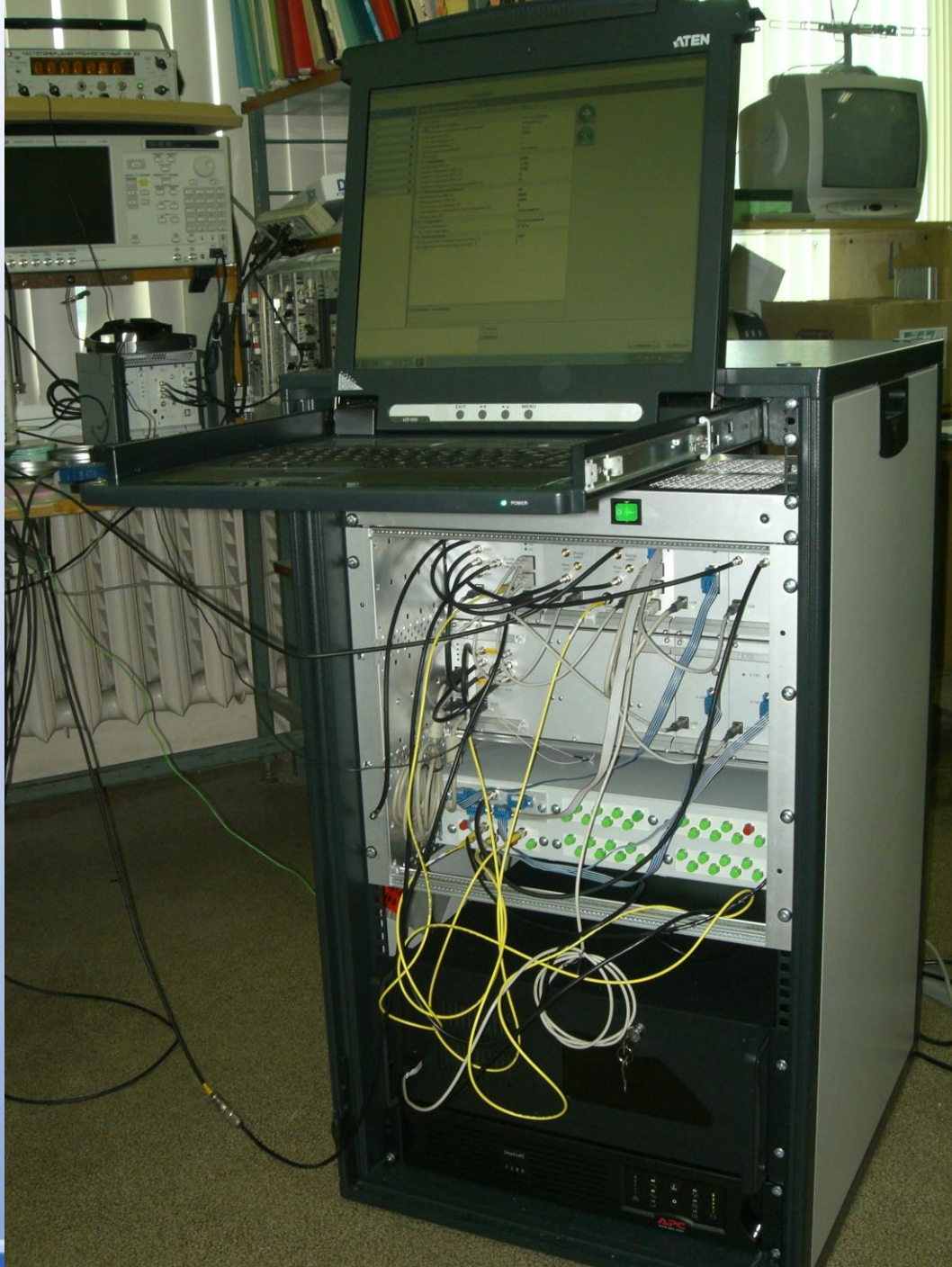


010101  
101010101

101010101  
101010101



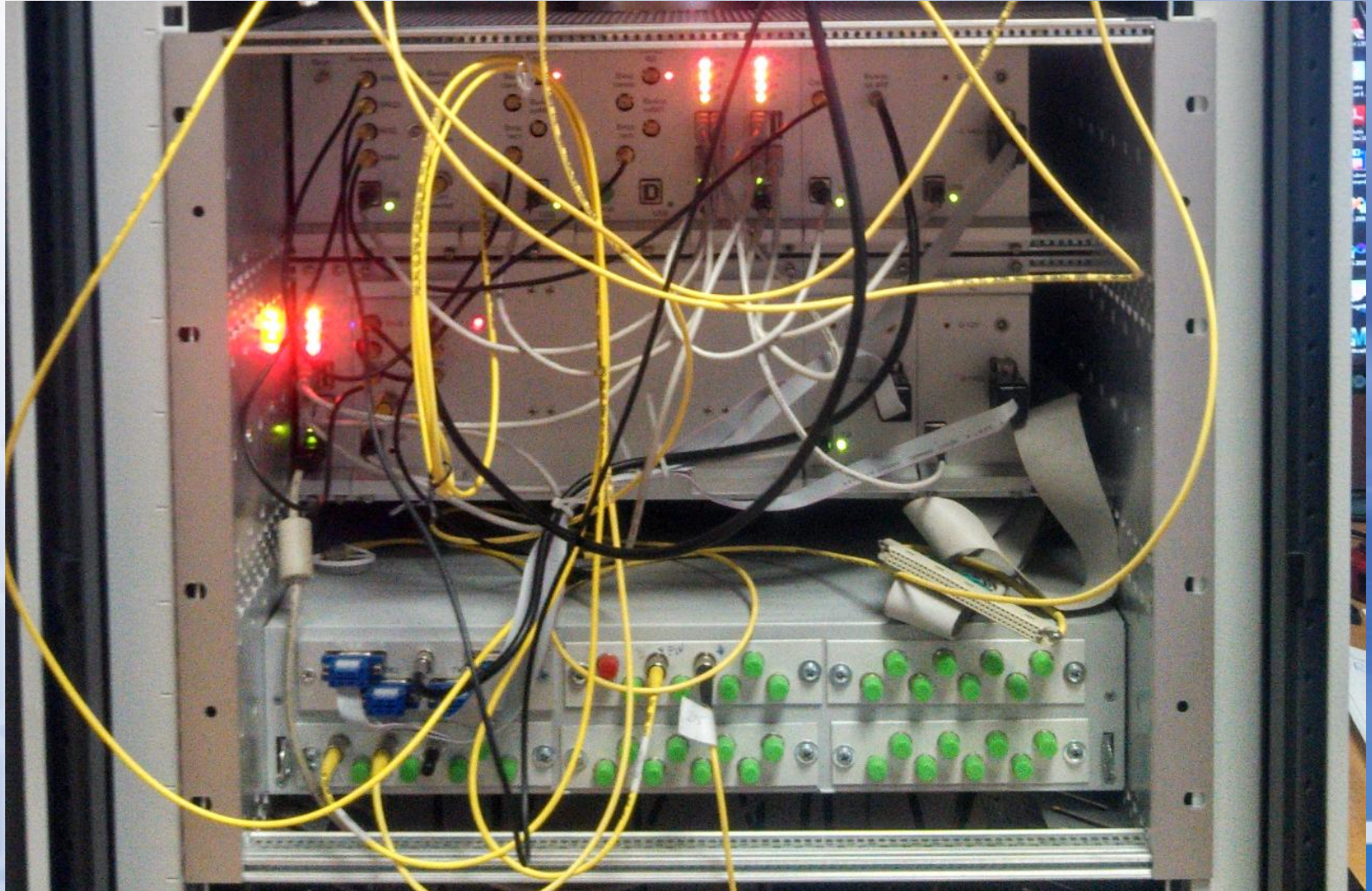
**2011-  
2012 г.**



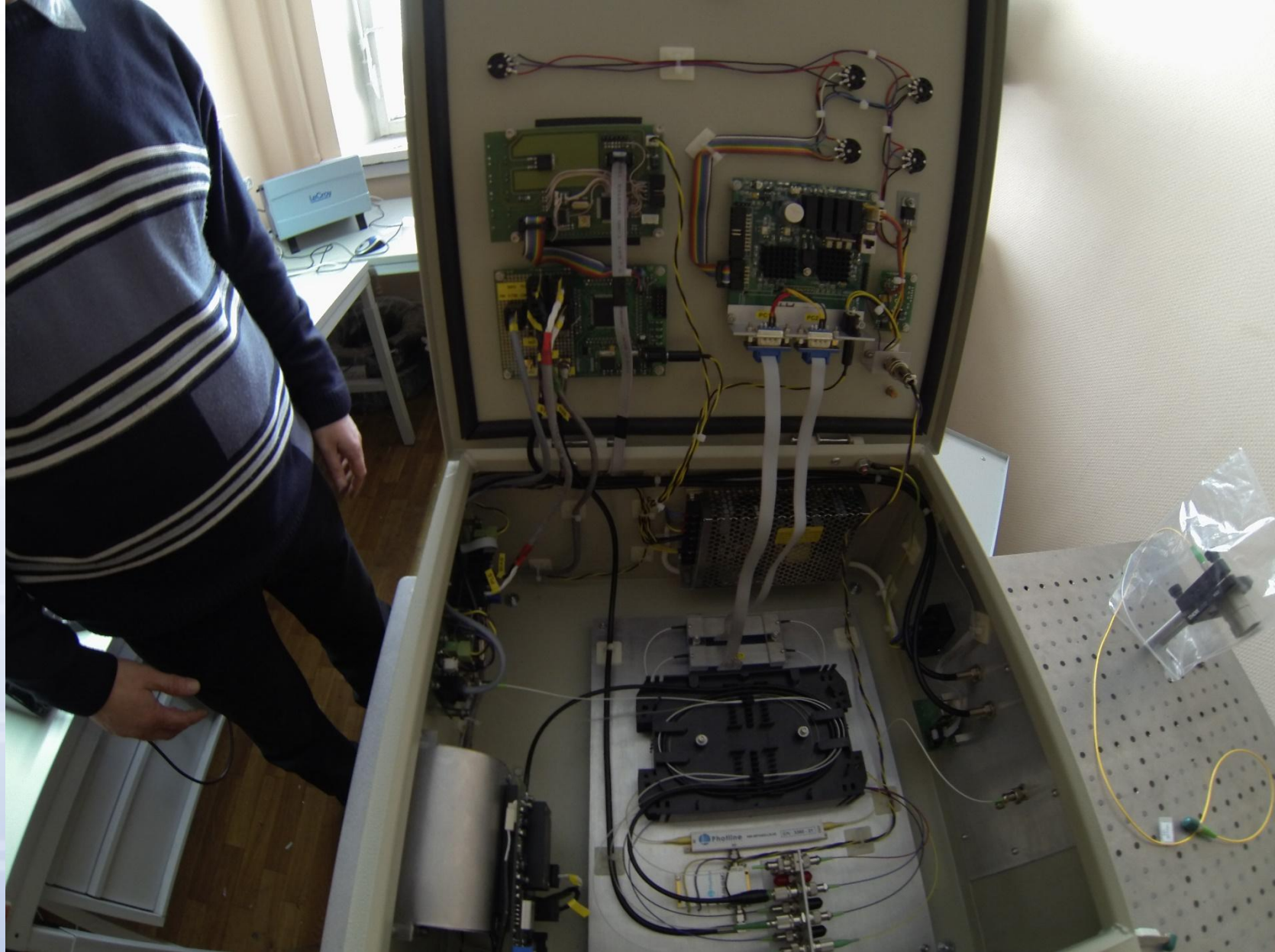
010101  
01010101

2015

101010101  
010101010101







**2015-2016**

101  
0101

# Free-Space Quantum Cryptography Using Multiphoton States: Secure Key Distribution to Satellites

**S. N. Molotkov**

*Institute of Solid State Physics, Russian Academy of Sciences, Chernogolovka, Moscow oblast, 142432 Russia*

*Moscow State University, Moscow, 119899 Russia*

*e-mail: molotkov@issp.ac.ru*

Received March 3, 2004

IOP Publishing | Astro Ltd

Laser Physics Letters

Laser Phys. Lett. 11 (2014) 065203 (5pp)

[doi:10.1088/1612-2011/11/6/065203](https://doi.org/10.1088/1612-2011/11/6/065203)

**Letters**

## Relativistic quantum cryptography

**I V Radchenko<sup>1</sup>, K S Kravtsov<sup>1</sup>, S P Kulik<sup>2</sup> and S N Molotkov<sup>3,4,5</sup>**

<sup>1</sup> A.M. Prokhorov General Physics Institute RAS, Moscow, Russia

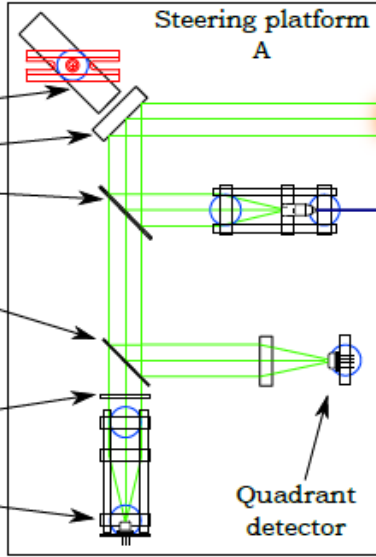
<sup>2</sup> Faculty of Physics, Moscow State University, Moscow, Russia

<sup>3</sup> Academy of Cryptography of Russian Federation, Moscow, Russia

<sup>4</sup> Institute of Solid State Physics, Chernogolovka, Moscow Rgn., Russia

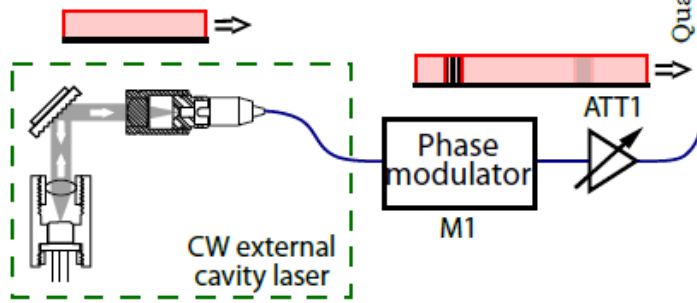
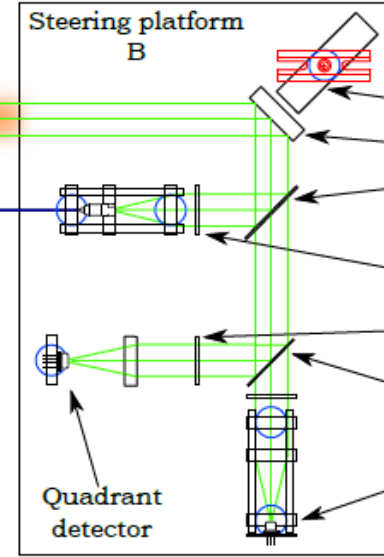
<sup>5</sup> Faculty of Computational Mathematics and Cybernetics, Moscow State University, Moscow, Russia

# Alice



Free-space communication channel

# Bob



M - phase modulator  
ATT - variable attenuator  
BS - PM fiber coupler  
APD - avalanche photodiode

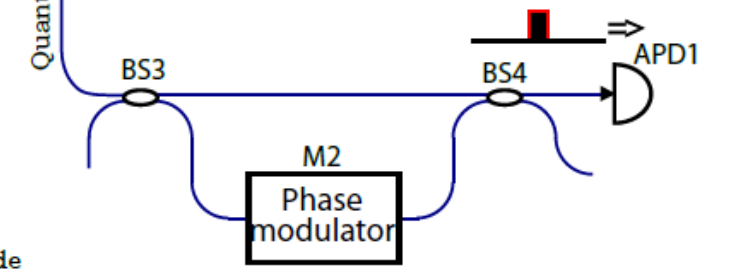
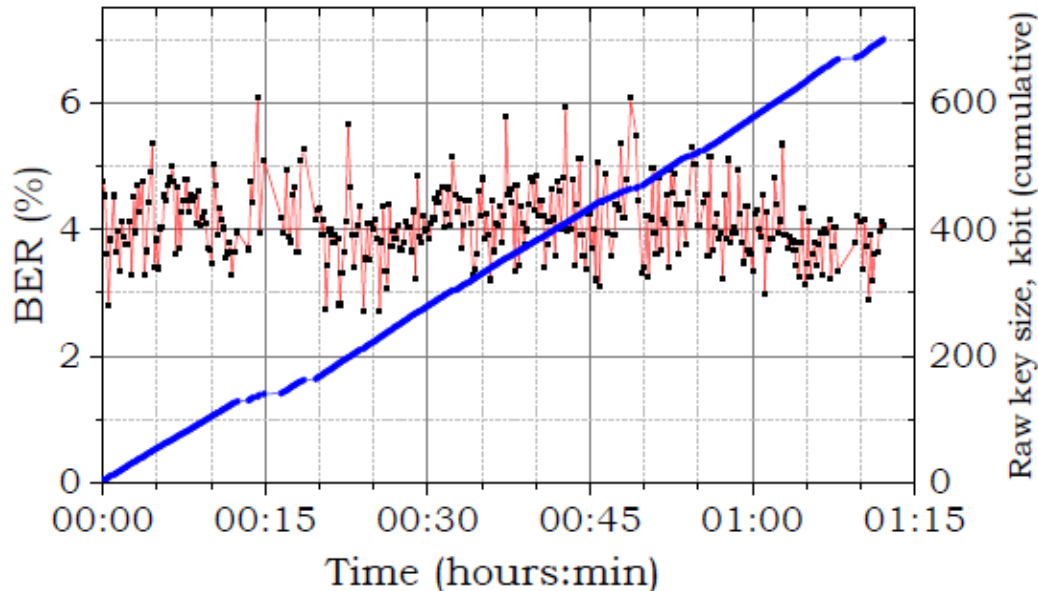


FIG. 1: Experimental setup including both the QKD part and the tracking system.



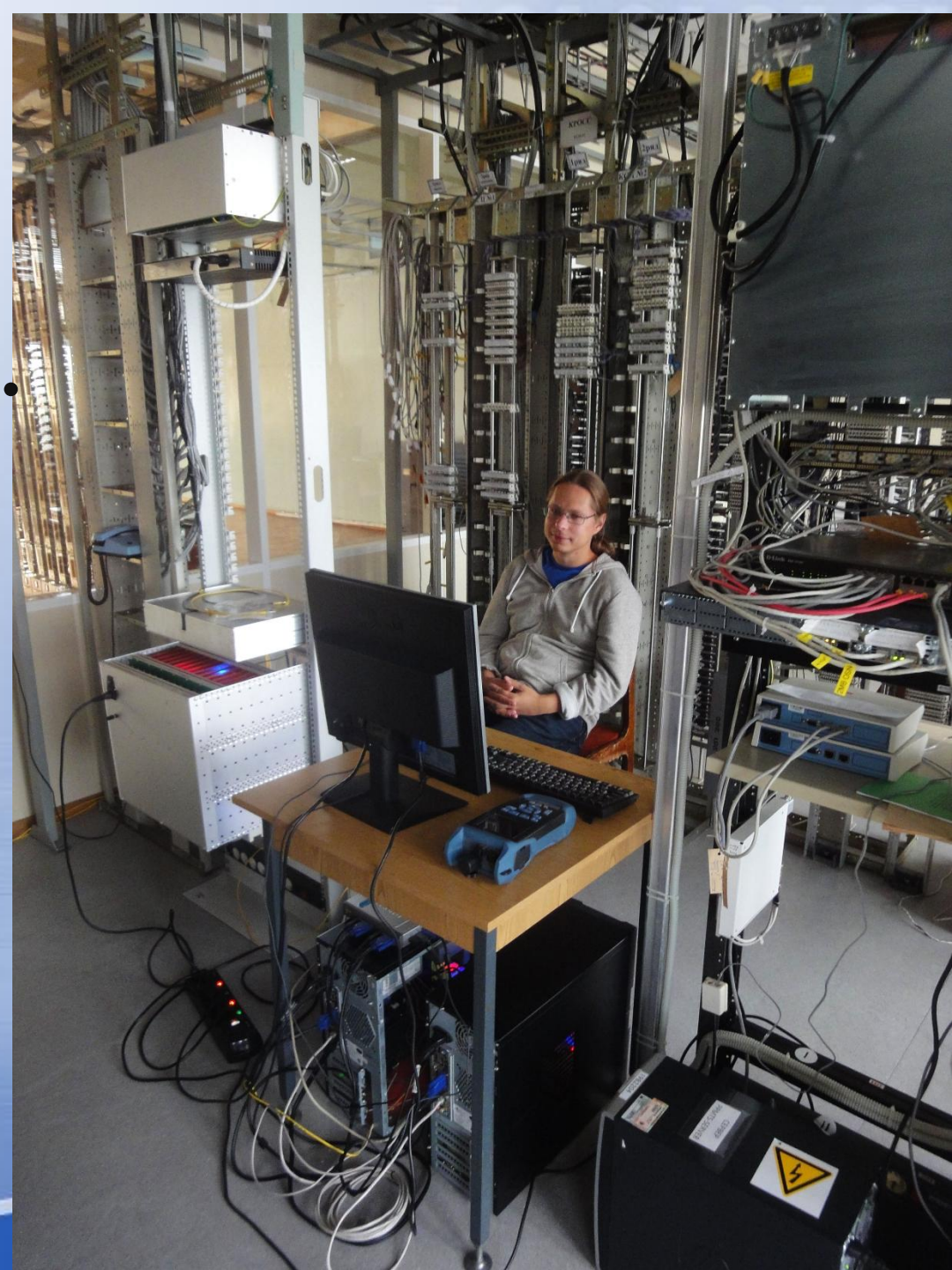
FIG. 3: Station Alice: a tripod tracking platform and a box with all electronics.

2017-2018





**2017 -- Линия  
Ростелекома 32 км  
Ногинск-  
Павловский Посад.  
Непрерывная  
работа без сбоев в  
автоматическом  
режиме генерации  
ключей в течении  
месяца**



```
### 14:27:52 #####
*Series #1 (10000000 @ 3.20 kHz)*
### 14:28:27 #####
APDcounts = 43334 (52453) APDcounts efficiency = 4.33e-03 (5.25e-03)
Counts@bases = 1741 (1925) Counts@bases efficiency = 1.74e-04 (1.93e-04) rawKey = 1741
Secret bits efficiency = 6.22e-05
Key Estimation:
errQ = 2.2% Raw(1741)-Qerr(24.1)-ErrCorr(1094.9)=Secret(622.0)
Averaged Key Estimation:
errQ = 2.19% (real=4.48%) Secret part = 6.22e-05

Raw key = 1741, Secret key = 622.04, Rate = 268.51 bit/min
Accepted series #1. Accumulated key: raw(1741) Qerr(24) ErrCorr(1095) Secret(622)
### 14:28:27 #####
1741 raw bits for 622 key have been successfully generated in 2.3 min!
Reconciliation start.
### 14:28:44 #####
ErrQ = 4.1% (2.2%) bits removed = 941 (1095)
### 14:28:44 #####
Keys (800 bits) have been successfully reconciled in 17.1 sec!
Quantum part to remove = 24 bits. 776 secret bits remain. Keys have truncated to 768 bits.
Key stat tests start.
Key stat tests failed! Keys discarded.
===== Connection to Bob #1 : OK. =====
```

---

\*Pre-series checks\*

```
Temperature measurement
Laser T = 25.0C, APD T = -50.0C, OK!
APD dark counts measurement
Dark counts rate = 3.70e-06, OK.
APD flare measurement
Flare = 4.80e-06 Interference min = 9.40e-06 Aggregated min = 4.09e-03
APD&PM1 delay adjust
APD delay has changed from 269350.74 to 269350.89 ns. Smax = 28.1
PM1 delay has changed from 269278.96 to 269279.08 ns.
Interferometer balance check
Smax = 28.1 Smin = 8.00e-02 Interference visibility = 0.9943
PC3 balance for max with APD
At beginning V1 = 17.0 V2 = 46.5 V3 = 8.0, Smax = 27.8
Balance took 9.0 sec
Result: V1 = 19.5 V2 = 44.5 V3 = 7.5 Smax = 28.3
Key Estimation:
errQ = 1.8% Raw(1925)-Qerr(23.6)-ErrCorr(1180.4)=Secret(721.3)
Power at Bob check
Power at Bob = 4.9e3 photons Threshold set to 12.0e3 photons
PM 1&2 Random sequence load
```

```
### 14:30:35 #####
```

```
*Series #1 (10000000 @ 3.20 kHz)*
```

```
### 14:31:09 #####
APDcounts = 39673 (52453) APDcounts efficiency = 3.97e-03 (5.25e-03)
Counts@bases = 1546 (1925) Counts@bases efficiency = 1.55e-04 (1.93e-04) rawKey = 1546
Secret bits efficiency = 5.46e-05
Key Estimation:
errQ = 2.3% Raw(1546)-Qerr(23.5)-ErrCorr(976.8)=Secret(545.7)
Averaged Key Estimation:
errQ = 2.27% (real=5.50%) Secret part = 5.46e-05
```

```
Raw key = 1546, Secret key = 545.66, Rate = 235.54 bit/min
Accepted series #1. Accumulated key: raw(1546) Qerr(24) ErrCorr(977) Secret(546)
```

```
### 14:31:09 #####
```

```
1546 raw bits for 546 key have been successfully generated in 2.3 min!
```

```
Reconciliation start.
```

```
### 14:31:27 #####
```

```
ErrQ = 5.2% (2.3%) bits removed = 914 (977)
```

```
### 14:31:27 #####
```

```
Keys (632 bits) have been successfully reconciled in 18.0 sec!
```

```
Quantum part to remove = 24 bits. 609 secret bits remain. Keys have truncated to 512 bits.
```

```
Key stat tests start.
```

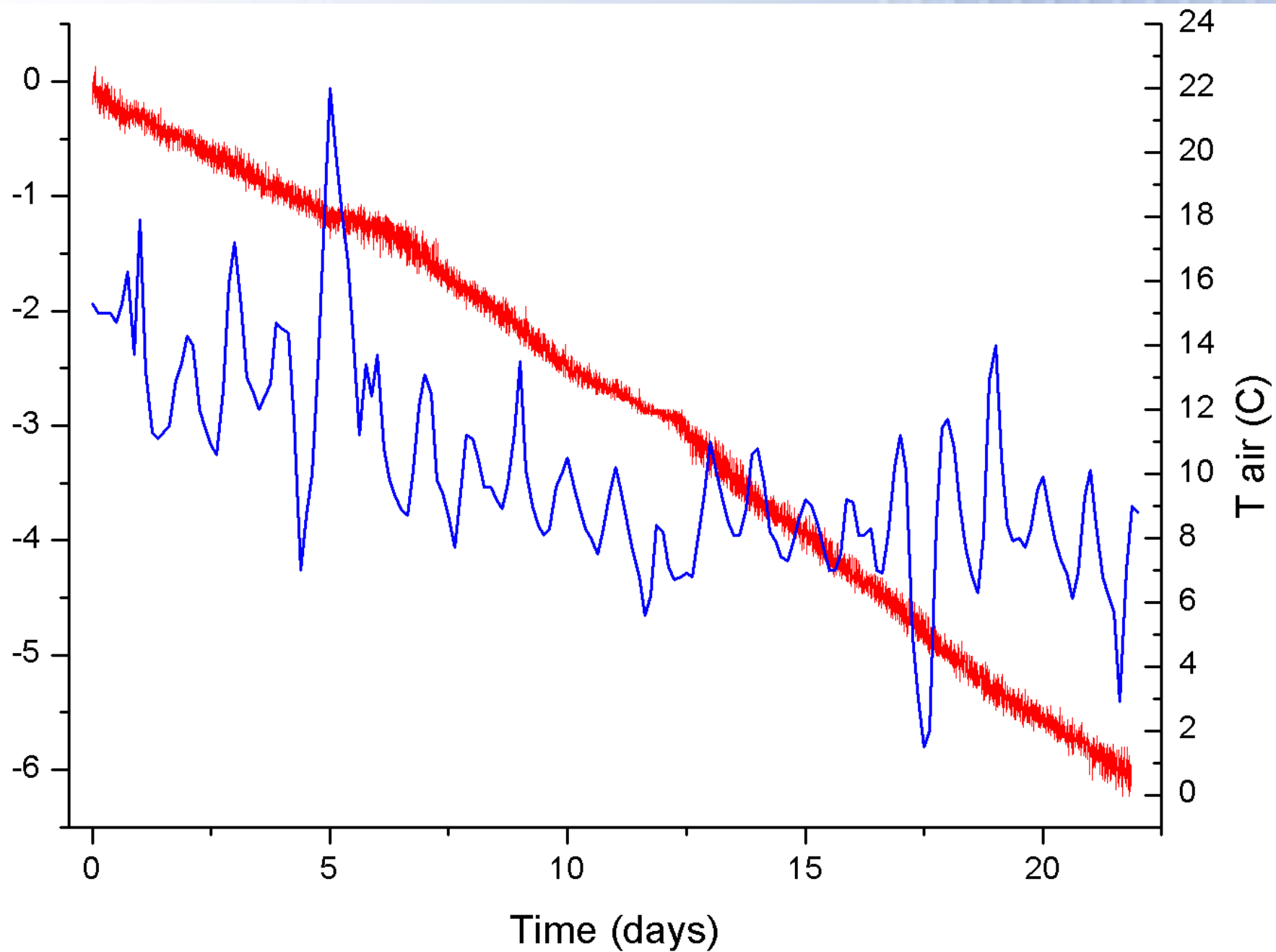
```
Stat tests succeeded! Keys were cooked in 2.6 min. Keys are ready to use.
```

```
===== Connection to Bob #2 : OK. =====
```





APD delay (ns)



T air (C)

Time (days)

DCR (cpp)

$1,5 \times 10^{-5}$   
 $1,4 \times 10^{-5}$   
 $1,3 \times 10^{-5}$   
 $1,2 \times 10^{-5}$   
 $1,1 \times 10^{-5}$   
 $1,0 \times 10^{-5}$   
 $9,0 \times 10^{-6}$   
 $8,0 \times 10^{-6}$   
 $7,0 \times 10^{-6}$   
 $6,0 \times 10^{-6}$   
 $5,0 \times 10^{-6}$   
 $4,0 \times 10^{-6}$   
 $3,0 \times 10^{-6}$   
 $2,0 \times 10^{-6}$

0

5

10

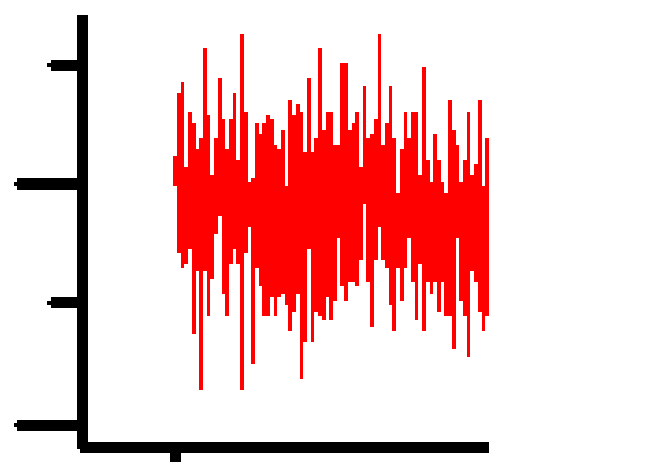
15

20

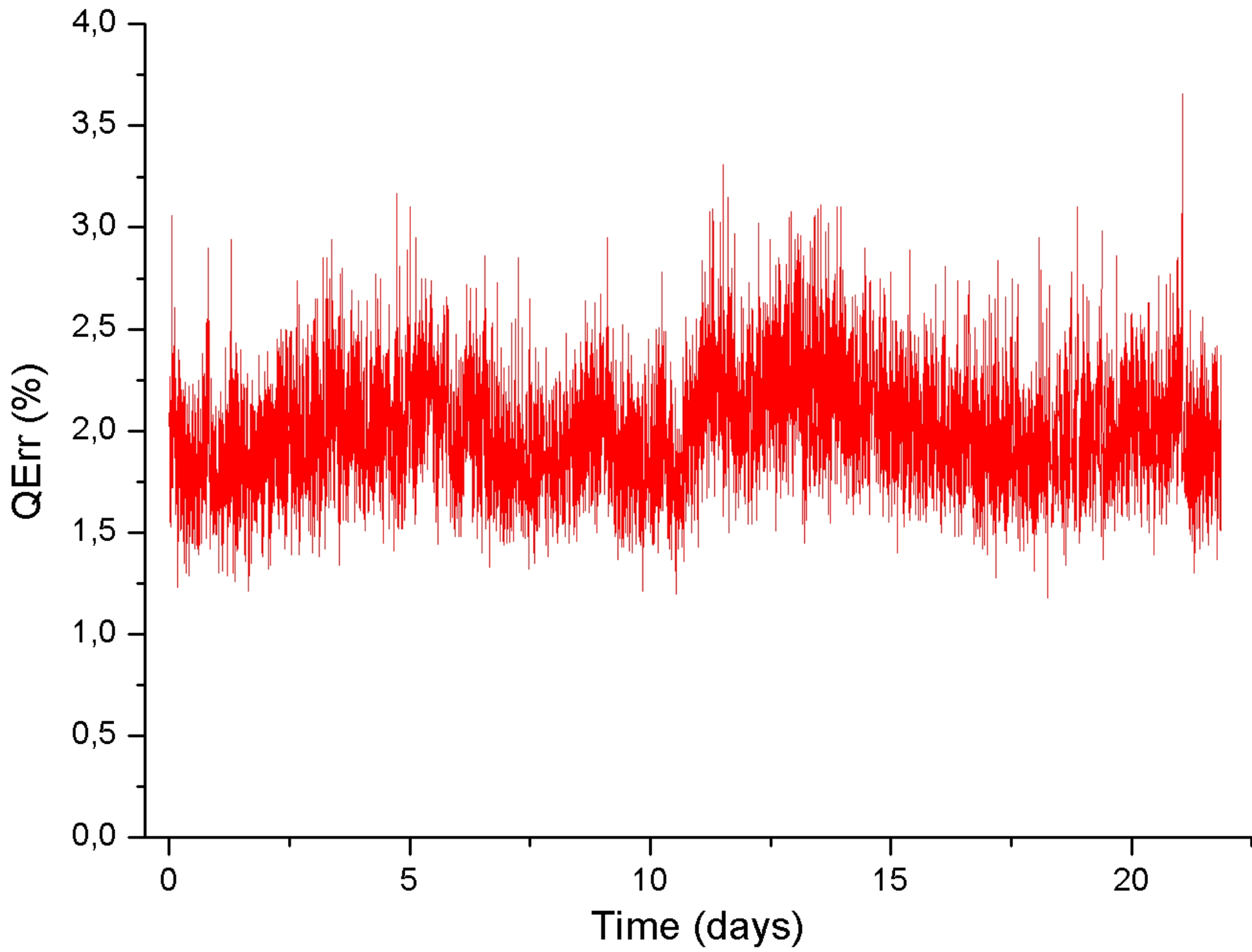
Time (days)

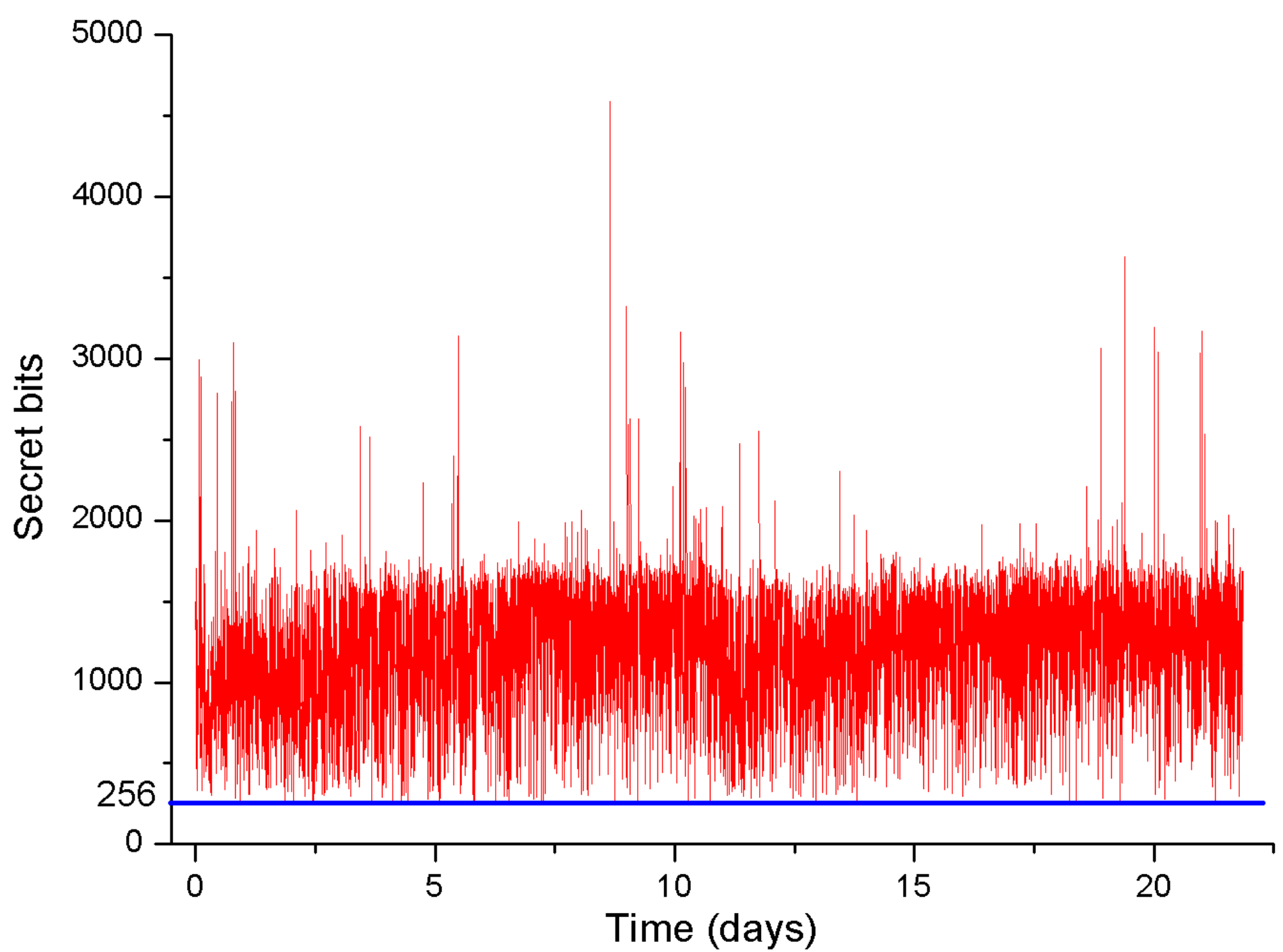
$3,0 \times 10^{-6}$

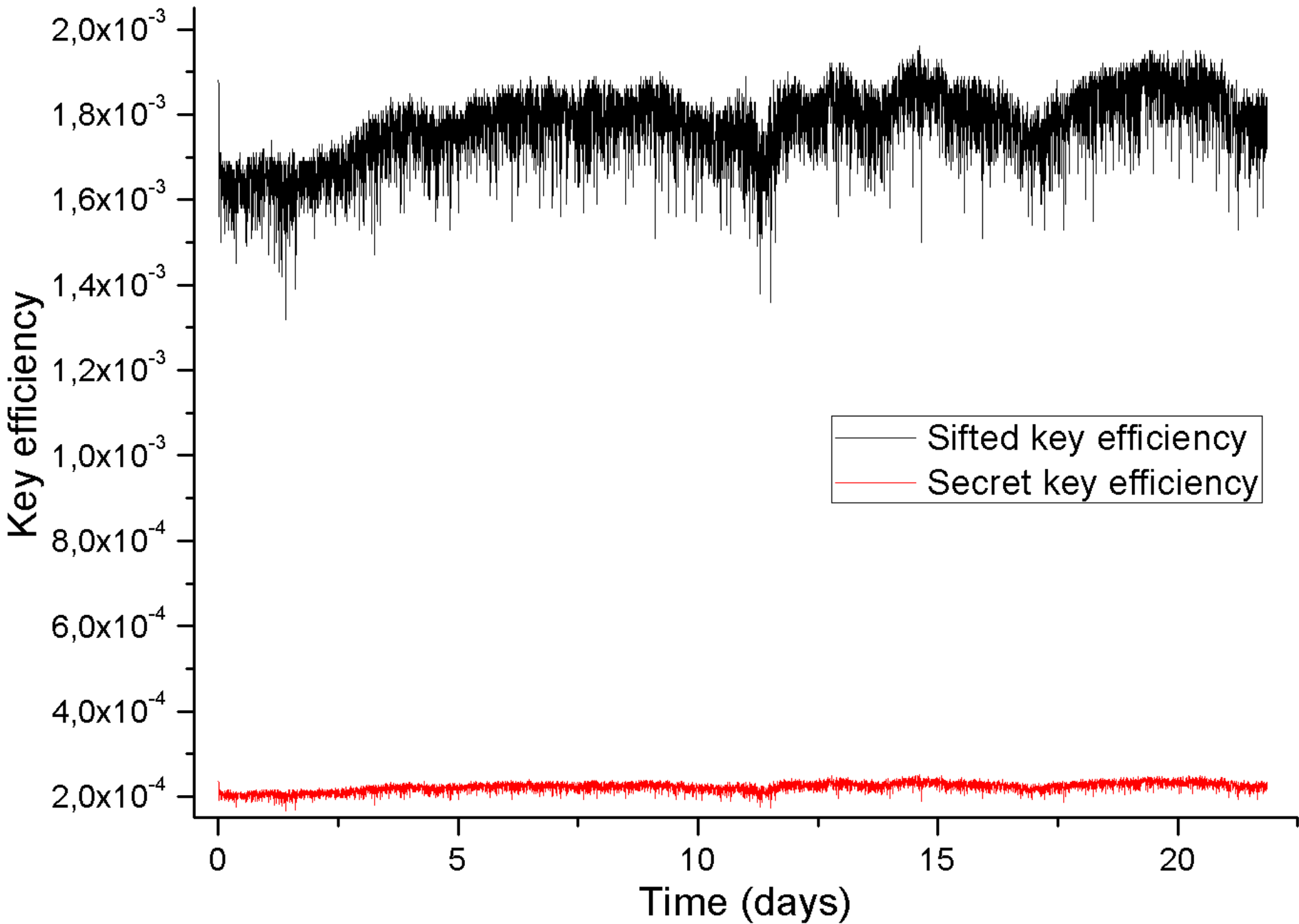
$2,0 \times 10^{-6}$



0







# Активная стабилизация оптической части в волоконной квантовой криптографии

К. А. Балыгин<sup>+</sup>, А. Н. Климов<sup>+\*</sup>, С. П. Кулик<sup>+</sup>, С. Н. Молотков<sup>×°∇1)</sup>

<sup>+</sup> Физический факультет МГУ им. Ломоносова, 119991 Москва, Россия

<sup>\*</sup> Институт общей физики РАН им. Прохорова, 119991 Москва, Россия

<sup>×</sup> Институт физики твердого тела РАН, 142432 Черноголовка, Россия

<sup>°</sup> Академия криптографии РФ, 121552 Москва, Россия

<sup>∇</sup> Факультет вычислительной математики и кибернетики, МГУ им. Ломоносова, 119991 Москва, Россия

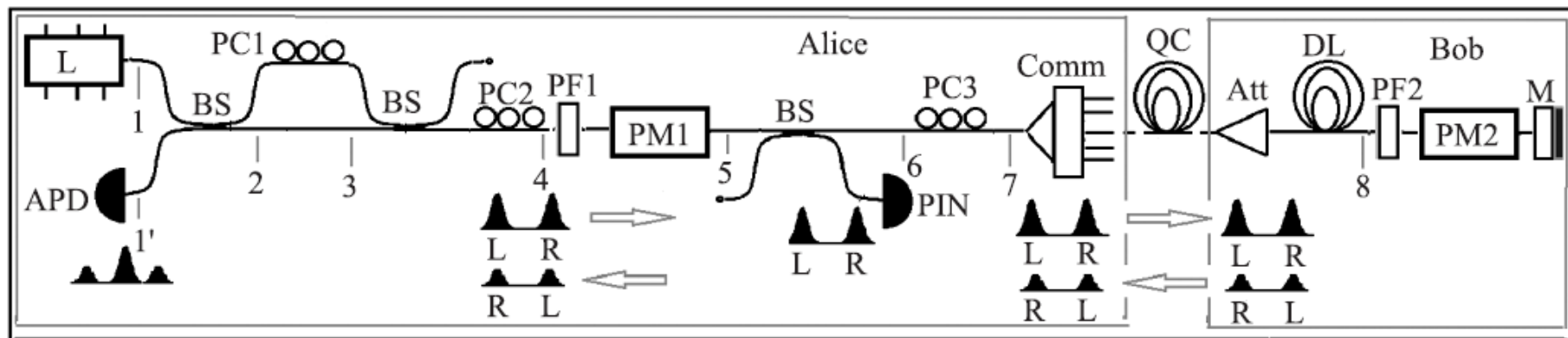


Рис. 1. Функциональная схема двухпроходной системы квантовой криптографии: L – лазер, BS – светоделители, PC1–PC3 – трехканальные контроллеры поляризации, PF1, PF2 – поляризационные фильтры, PM1, PM2 – фазовые модуляторы, APD – однофотонный лавинный детектор, PIN – классический фотодетектор, M – волоконное зеркало, Att – электронно-управляемый аттенюатор, QC – волоконная линия связи, DL – линия задержки, Comm – волоконный коммутатор для переключения между передающей станцией (Alice) и различными клиентами (Bob)

# Управление распределенной интерференцией в в однопроходной системе квантовой криптографии

К.А.Балыгин<sup>1</sup>, А.Н.Климов<sup>1,2</sup>, С.П.Кулик<sup>1</sup>, С.Н.Молотков<sup>3,4,5</sup>

<sup>1</sup>Физический факультет МГУ имени М.В.Ломоносова, Москва, Россия

<sup>2</sup>Институт общей физики имени А.М.Прохорова РАН, Москва, Россия

<sup>3</sup>ИФТТ РАН, Черноголовка, Моск. обл., Россия

<sup>4</sup>Академия Криптографии Российской Федерации

<sup>5</sup>Факультет вычислительной математики и кибернетики

МГУ имени М.В.Ломоносова, Москва, Россия

## Аннотация

Продемонстрировано управление интерференцией в двух разнесенных волоконных интерферометрах Маха-Цандера (МЦ) и поддержание видности на уровне близком к идеальной в однопроходной системе квантовой криптографии непосредственно в процессе распределения ключей при длине линии в 50 км. Показано, что отклонение видности от идеальной однозначно связано с регистрируемой разностью числа нулей и единиц в сыром (просеянном) ключе. Это позволяет осуществлять балансировку интерферометра только в квазиоднофотонном режиме без прерывания передачи ключей, используя разность числа нулей и единиц в сыром ключе, как сигнал ошибки. Предложенный подход сокращает время балансировки и, кроме того, не требует дополнительных обменов по открытому каналу связи.

# О противодействии атаке с яркими состояниями в двухпроходной системе квантовой криптографии

К. А. Балыгин<sup>+</sup>, А. Н. Климов<sup>+\*</sup>, А. В. Корольков<sup>×</sup>, С. П. Кулик<sup>+</sup>, С. Н. Молотков<sup>×°▽1)</sup>

<sup>+</sup> Физический факультет, МГУ им. Ломоносова, 119991 Москва, Россия

<sup>\*</sup> Институт общей физики РАН им. Прохорова, 119991 Москва, Россия

<sup>×</sup> Академия Криптографии Российской Федерации, 121552 Москва, Россия

<sup>°</sup> Институт физики твердого тела РАН, 142432 Черноголовка, Россия

<sup>▽</sup> Факультет вычислительной математики и кибернетики МГУ им. Ломоносова, 119991 Москва, Россия

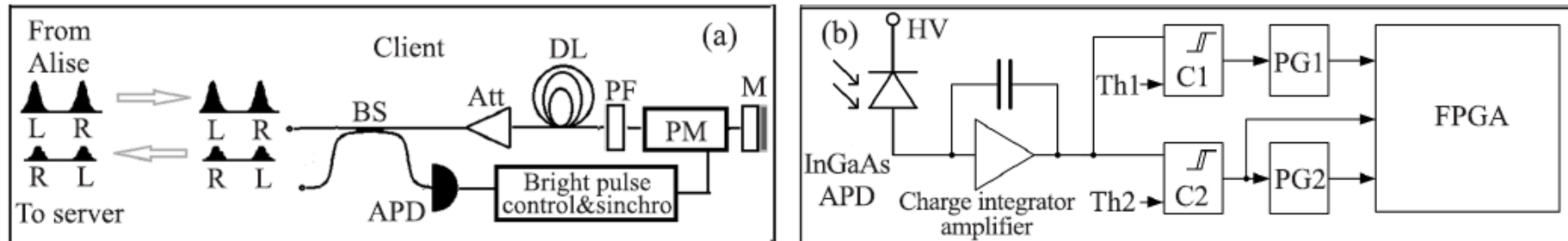


Рис. 1. (a) – Блок-схема клиента с контролем ярких импульсов: L(R) и R(L) – пара входных классических импульсов и ослабленных квазиоднофотонных, APD – лавинный фотодиод, BS – волоконный светоделитель, Att – медленный волоконный аттенюатор, DL – волоконная линия задержки, PF – поляризационный фильтр, PM – фазовый модулятор, M – волоконное зеркало. (b) – Блок-схема детектора входных импульсов у клиента: APD – лавинный фотодиод, HV – напряжение смещения, Charge Integrator Amplifier (CIA) – зарядово-чувствительный усилитель, Th1, 2 – независимо выставяемые пороги генерации синхроимпульсов и детектирования ярких импульсов, C1, 2 – компараторы, PG1, 2 – одновибраторы, FPGA – ПЛИС (Программируемая Логическая Интегральная Схема)



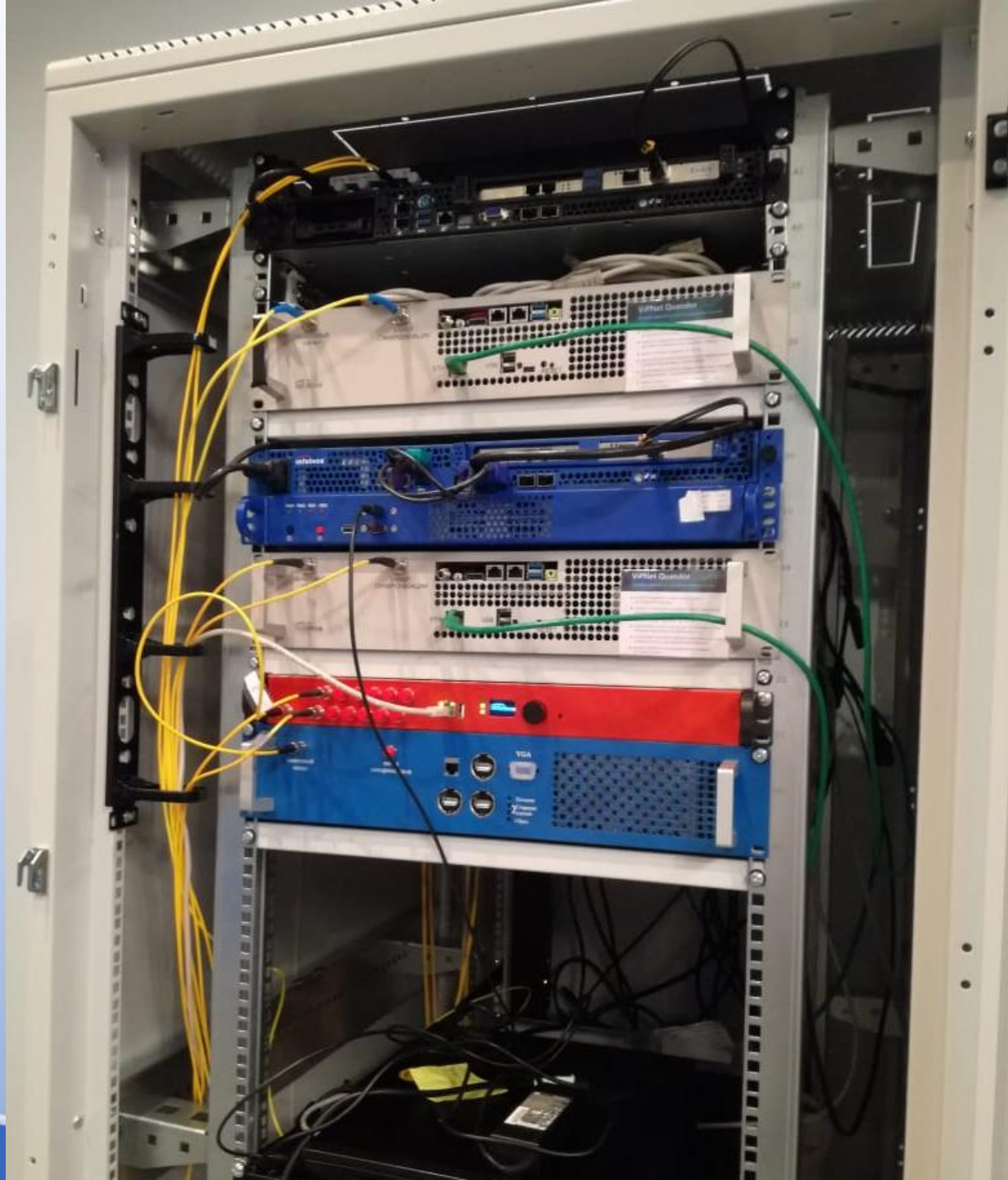
**2019**

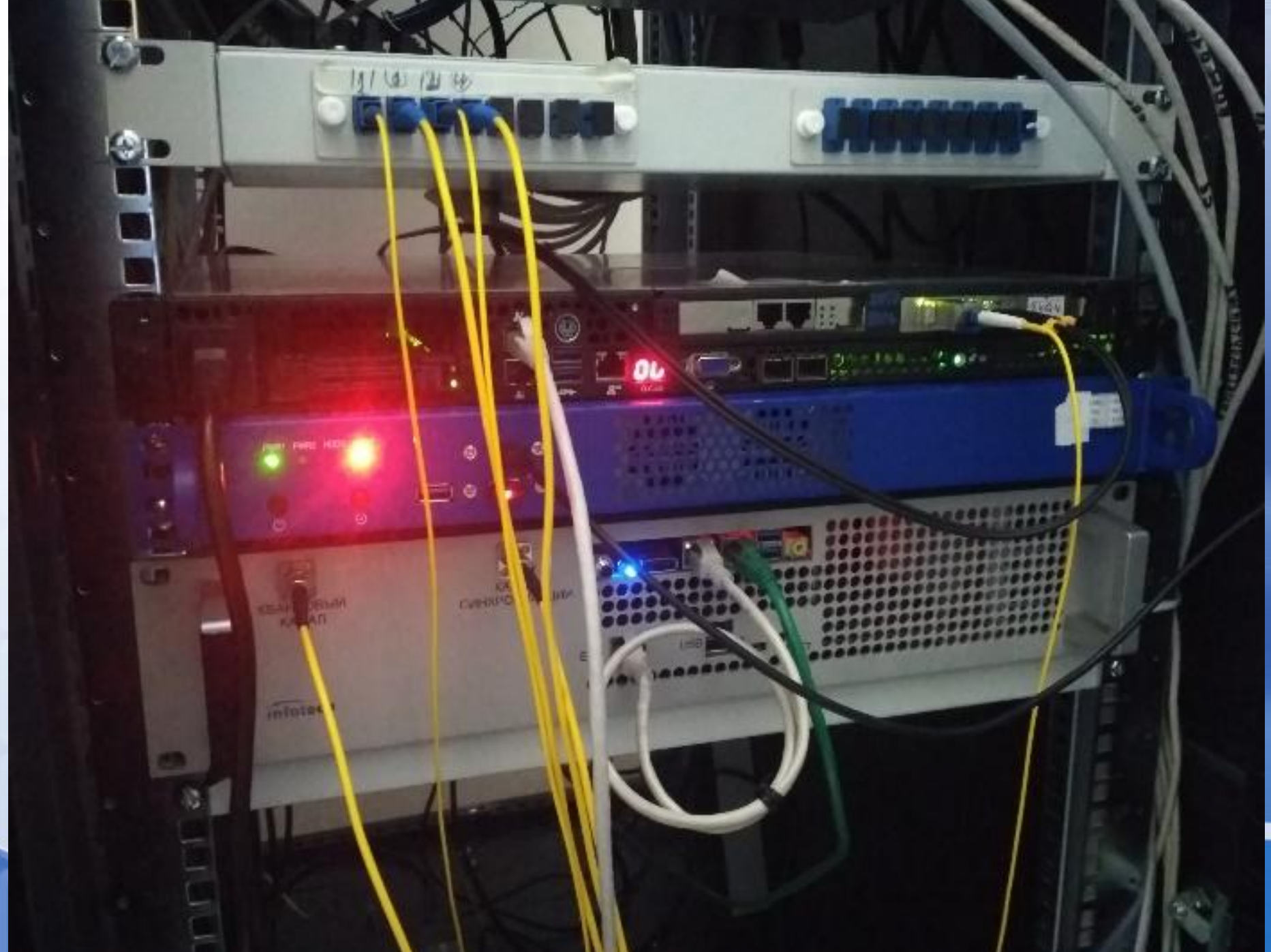
**Новое поколение интегрированных  
с классическими средствами  
шифрования систем квантовой  
криптографии  
-- единая замкнутая система**

# 2019

Квантовая  
Криптография +  
10G шифратор  
СВЯЗЬ  
ЦОД – ЦОД







19/10/12/14

06

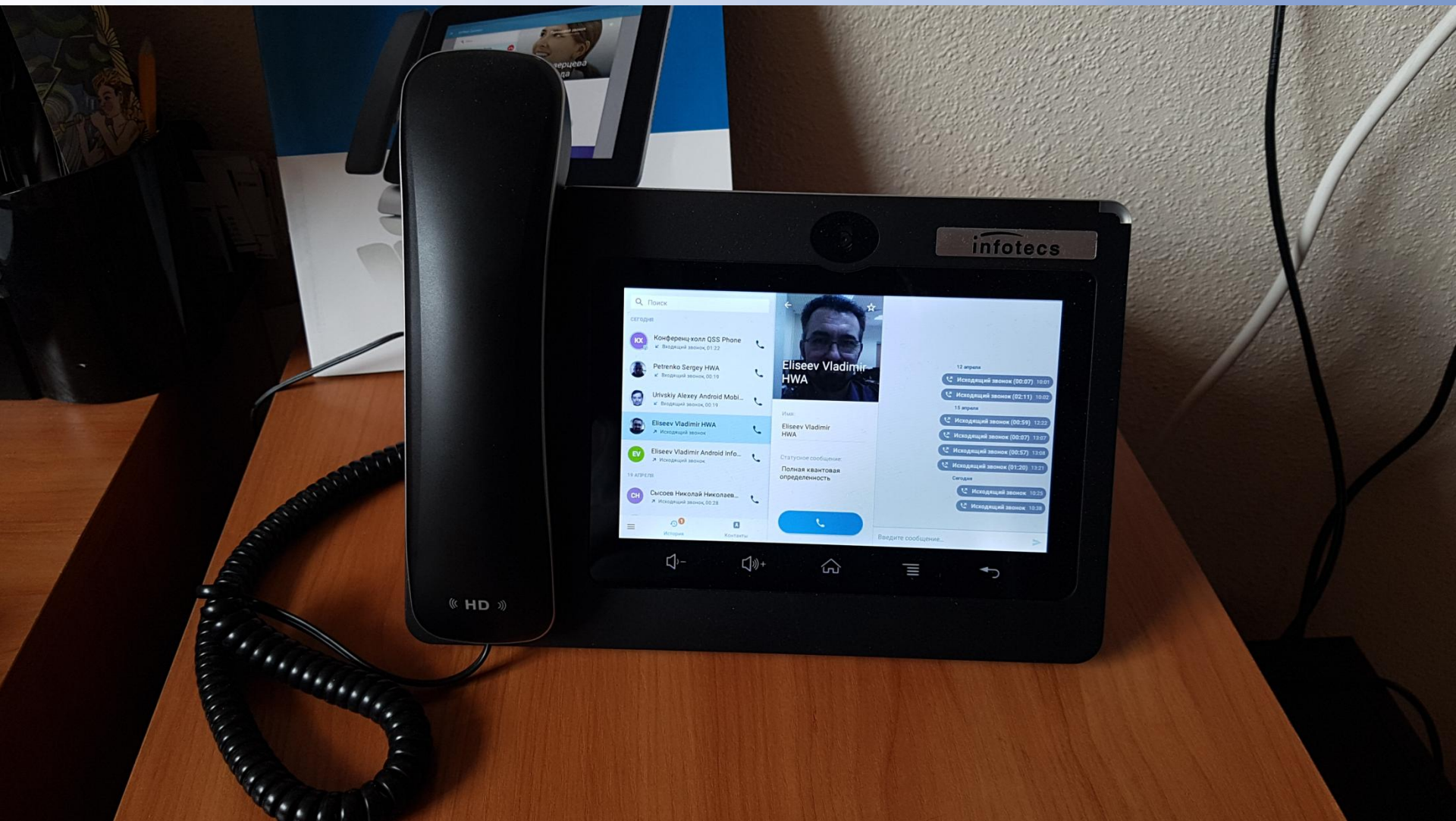
КОНТРОЛЬ КАПА

КОНТРОЛЬ КАПА

infotec

100-101  
100-102  
100-103  
100-104  
100-105  
100-106  
100-107  
100-108  
100-109  
100-110  
100-111  
100-112  
100-113  
100-114  
100-115  
100-116  
100-117  
100-118  
100-119  
100-120

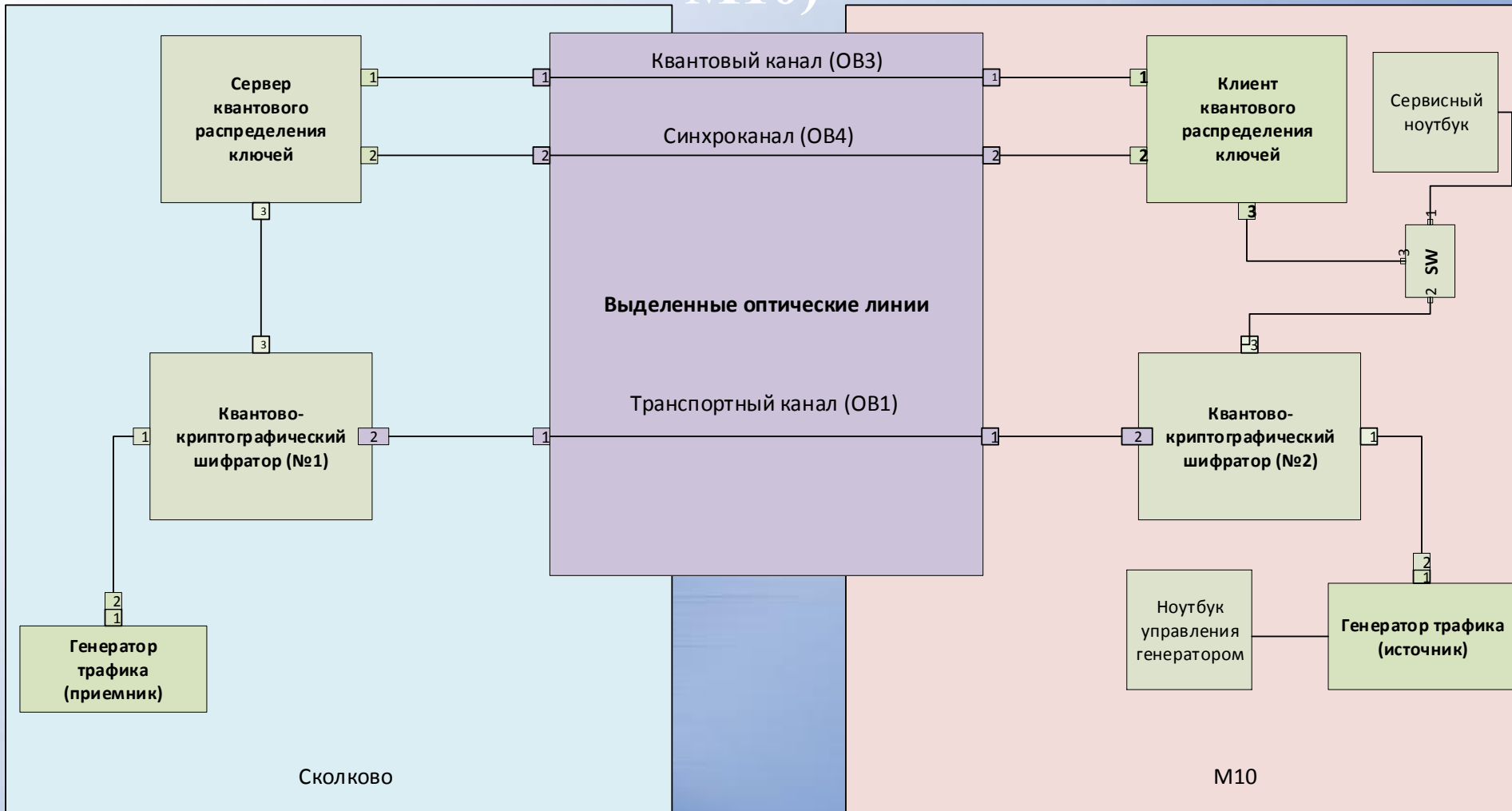
# Квантовый телефон волоконно-линейная линия Инфотекс - МГУ



101010101  
0101010101



# Испытания на площадках Ростелекома (Сколково и М10)

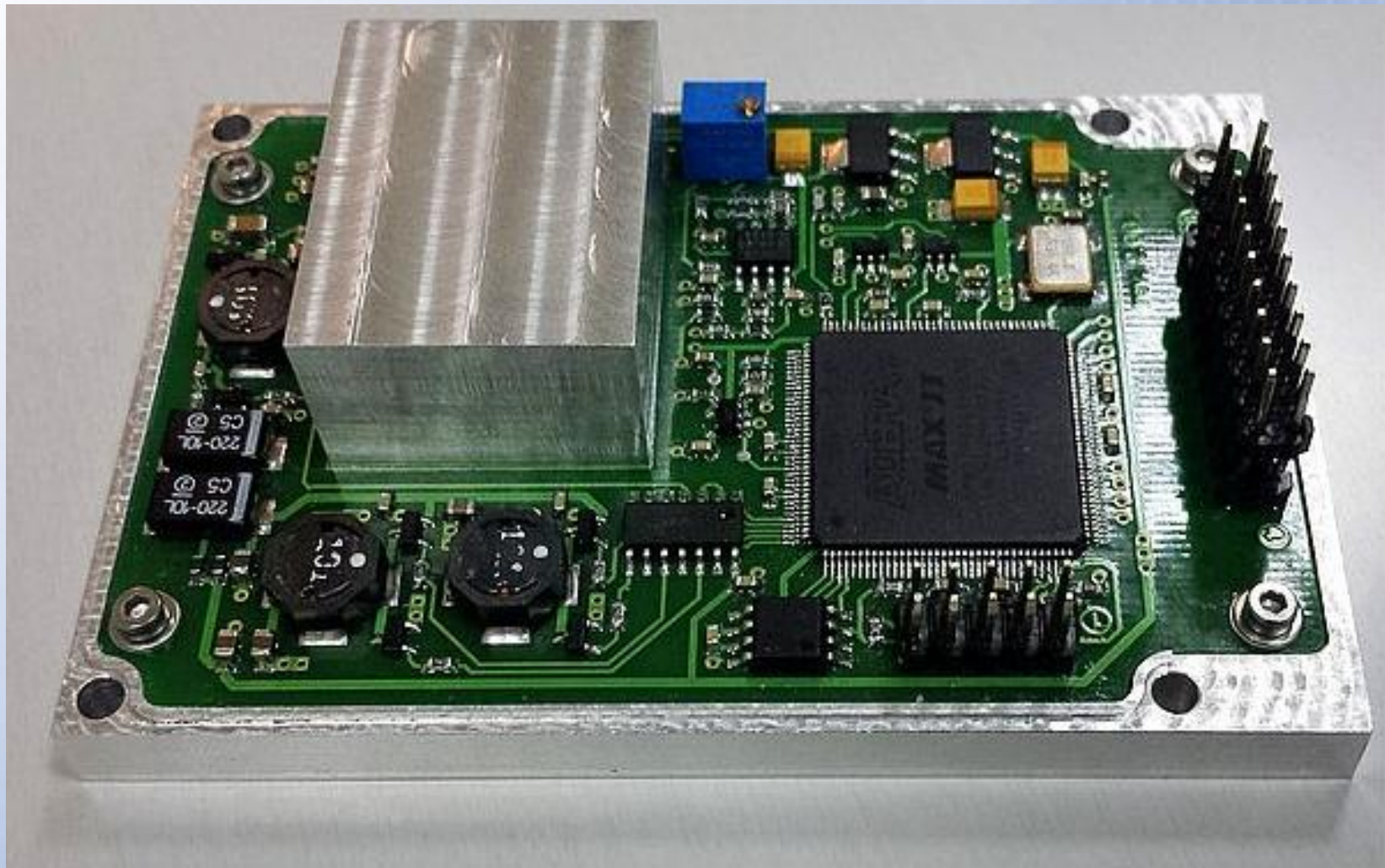


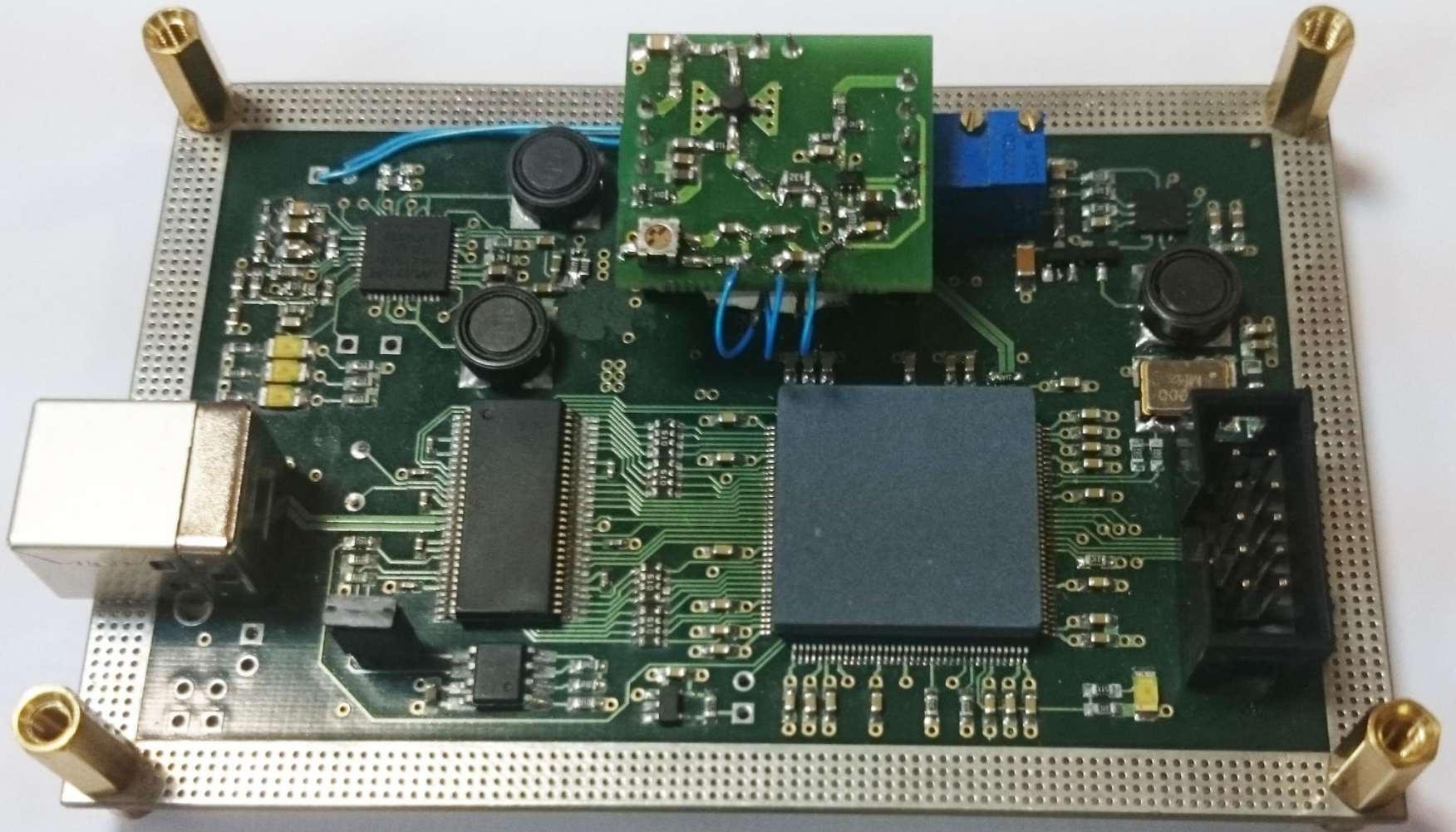
Оборудование Инфотекс

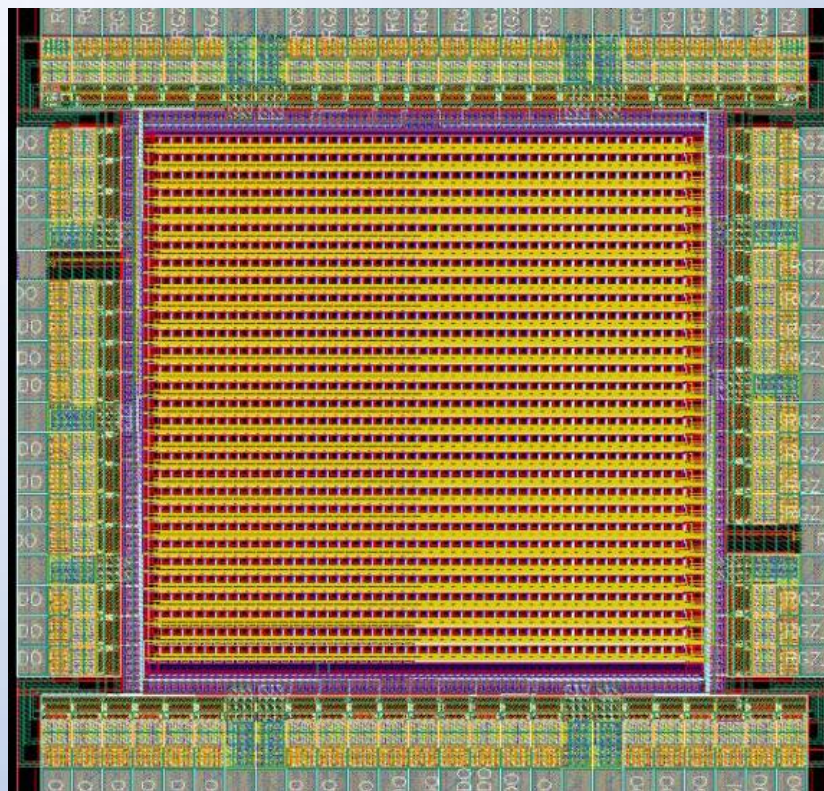
**Наиболее широкое применение случайные числа находят в криптографии. Случайные последовательности используются для секретных ключей в системах симметричного шифрования, генерации паролей, PIN кодов для различных типов пластиковых карт, кодов аутентификации, вероятностных алгоритмов и систем квантового распределения ключей.**

**Практически для всех упомянутых применений требуются случайные числа, полученные исключительно с физических генераторов.**

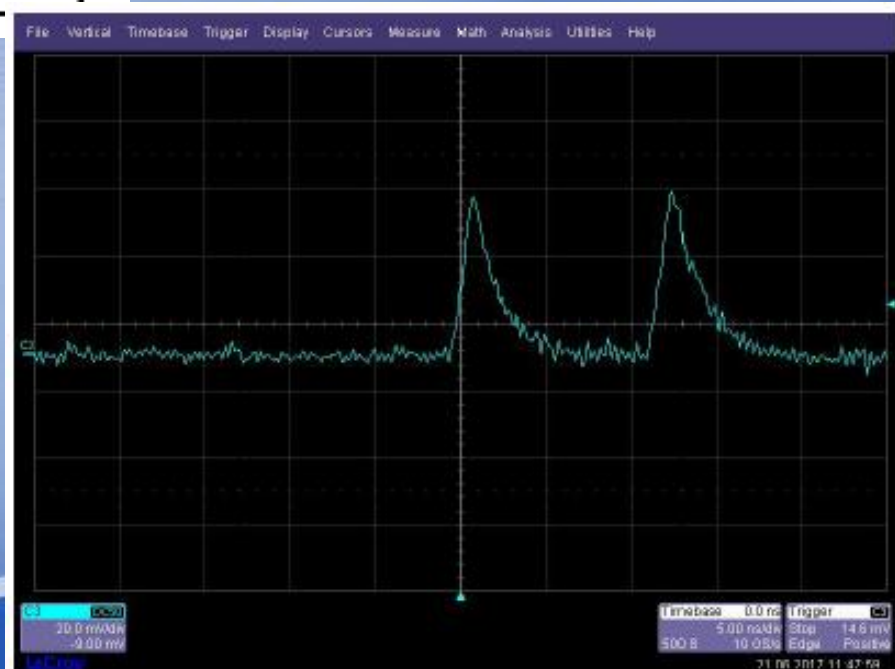
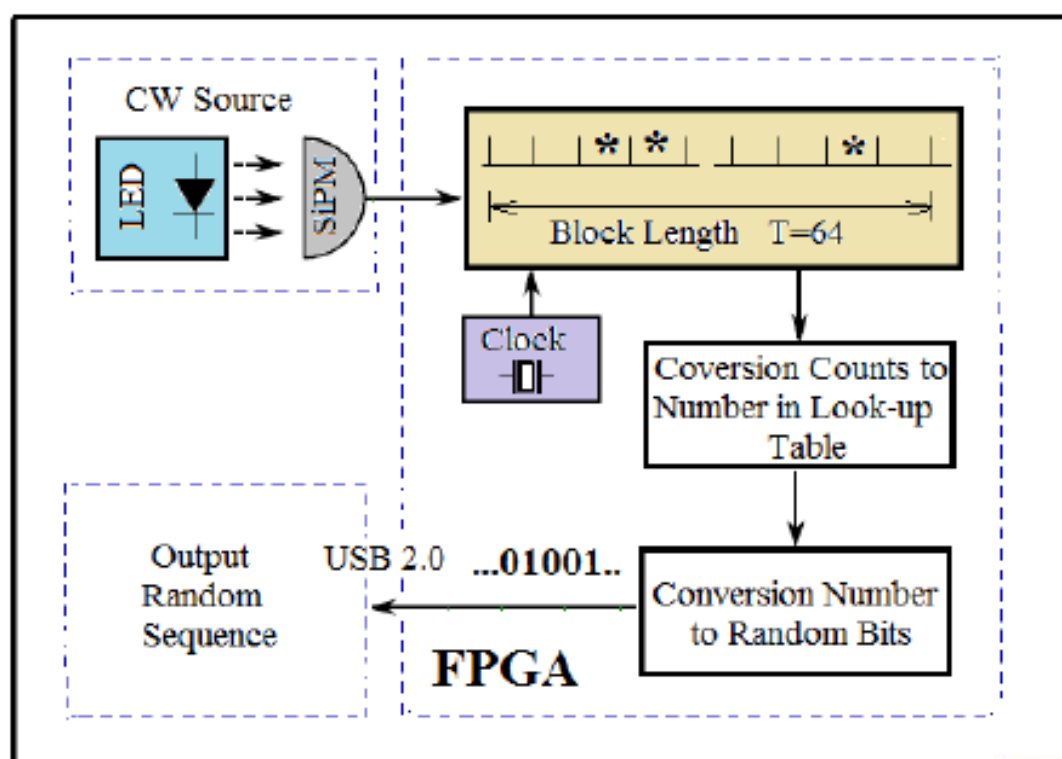








**Оценка среднего числа фотонов на пиксел.** Покажем, что генератор действительно работает в квантовом режиме. Оценим среднее число фотонов, падающих на SiPM. Реально наблюдаемой величиной является вероятность отсчета за один такт  $P(*) = 0.207$ . Данная вероятность равна  $P(*) = \mu \cdot \eta \cdot N_{pic}$ ,  $\mu$  – среднее число фотонов на один пиксел в SiPM за один такт,  $\eta \approx 0.1$  – квантовая эффективность пикселя,  $N_{pic} = 2880$  – число пикселей в матрице. В итоге получаем  $\mu = \frac{P(*)}{\eta \cdot N_{pic}} \approx 0.7 \cdot 10^{-3}$  [(фотонов)/(в такт на пиксел)], т.е. приходится менее тысячной фотона на пиксел. Напомним, что для когерентного состояния с пуассоновской статистикой вероятность появления одного фотона  $P(n = 1) = e^{-\mu} \mu \approx \mu$  ( $\mu \ll 1$ ), соответственно, вероятность появления двух фотонов  $P(n = 2) = e^{-\mu} \frac{\mu^2}{2} \approx 2.5 \cdot 10^{-7}$ . Таким образом, реализован практически однофотонный режим.<sup>2</sup>



**Истинно случайная битовая  
последовательность 0 и 1.**

$$\Pr(0)=\Pr(1)=1/2,$$

**Позиции некоррелированы.**

**Легко сформулировать на интуитивном уровне,  
но сложно найти истинную случайность,  
доказать это, и эффективно реализовать.**

**Information is inevitable physical**

*Rolf Landauer*

*the phrase can be continued*

**Randomness is also inevitable physical**

**Истинно случайная битовая  
последовательность 0 и 1.**

$$\Pr(0)=\Pr(1)=1/2,$$

**Позиции некоррелированы.**

**Легко сформулировать на интуитивном уровне,  
но сложно найти истинную случайность,  
доказать это, и эффективно реализовать.**

**Генераторы случайных чисел – математические**  
**-- некоторое рекурсивное преобразование**

$$X(n+1)=F(X(n))=F(F(F\dots(X(0))))$$

**Дают псевдослучайную последовательность –**  
**зная затравочное  $X(0)$ , знаем все.**



**Физические генераторы случайных чисел – измерение некоторого физического процесса (системы).**

**Классические генераторы – система “живет” по законам классической физики. Эволюция определяется начальными условиями -- также выдают псевдослучайные последовательности.**

**Квантовые генераторы -- измерение квантовой системы каждый раз приготовленной в одном и том же начальном состоянии дает принципиально непредсказуемый результат измерений.**

**Истинная случайность есть только в  
квантовой области.**

**Найти такой процесс, узнать сколько  
в нем истинной случайности и  
вытянуть из него эффективно истинно  
случайную последовательность 0 и 1.**

**Какой “линейкой” измерять  
случайность в физическом процессе.**

**The absence of evidence  
is not evidence of absence.**

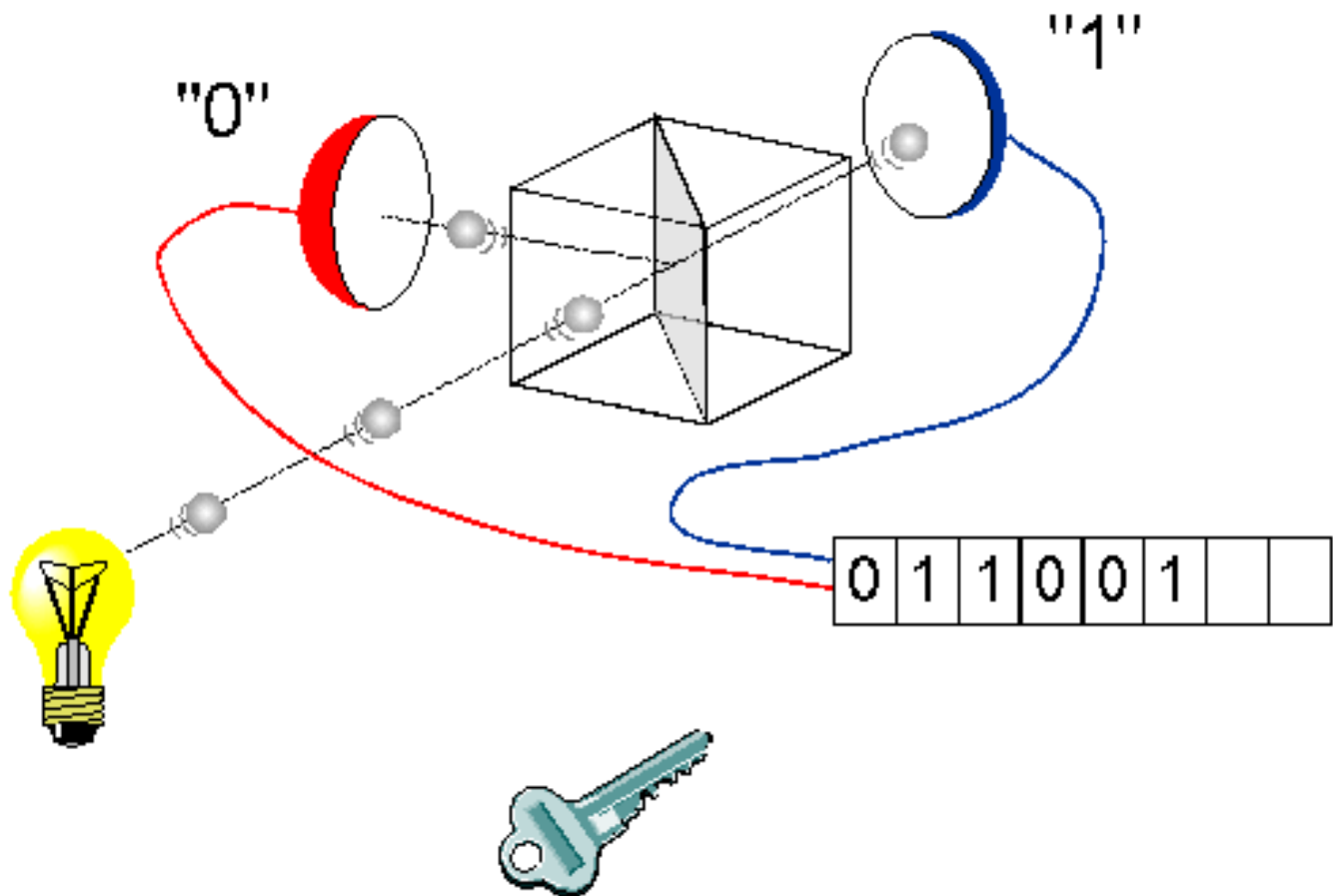
**Отсутствие доказательств вины  
не есть доказательство  
невиновности.**

**Доска Гальтона --  
классический пример  
классической не случайности  
(псевдослучайности)**

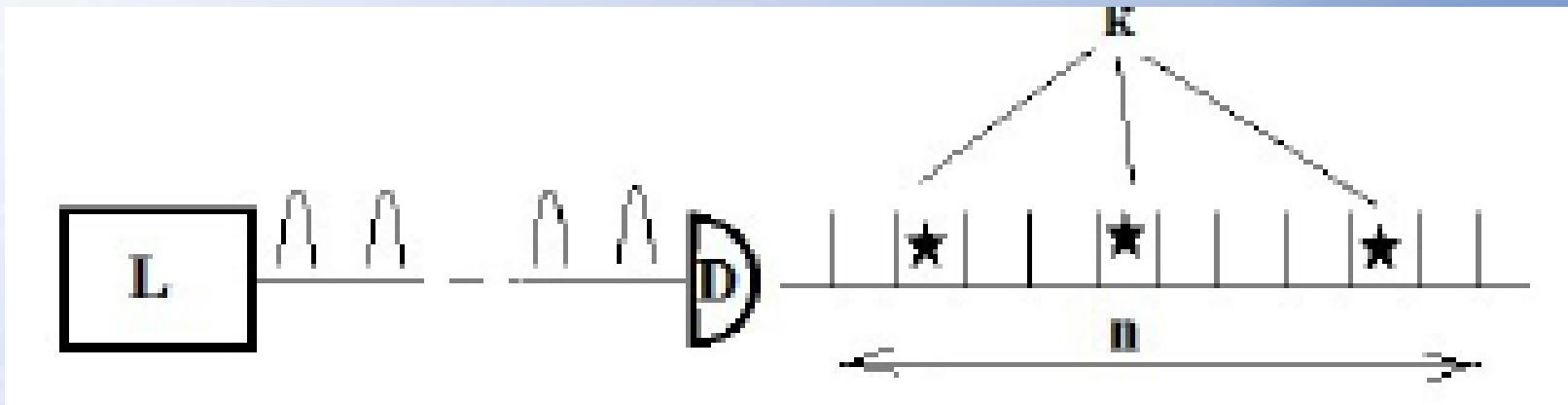
**При реализации квантовых генераторов случайных чисел принципиально важно иметь математически доказуемый, экспериментально реализуемый и проверяемый процесс измерений над системой, из которого генерируется исходная случайная последовательность. Это позволяет быть уверенным, что происхождение случайности действительно имеет квантовую природу.**

# Необходимость квантового генератора случайных чисел.

## Квантовый генератор случайных чисел



# Фотоэффект, Когерентное состояние, Статистика Пуассона



# NATURAL INHERITANCE

BY

FRANCIS GALTON, F.R.S.

AUTHOR OF

"HEREDITARY GENIUS," "INQUIRIES INTO HUMAN FACULTY," ETC.

FIG. 7.

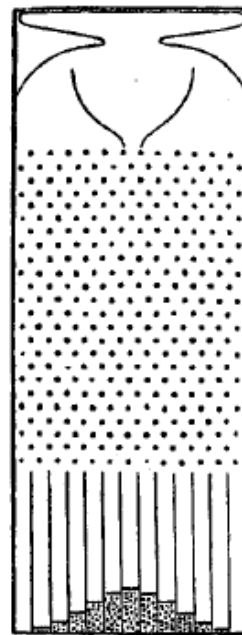


FIG. 8.

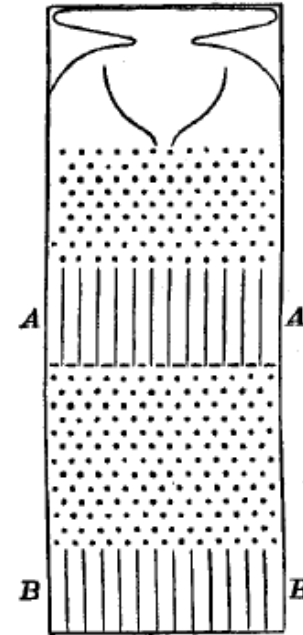
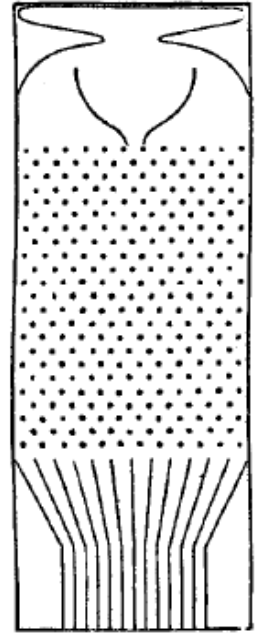


FIG. 9.





# Various Techniques Used in Connection With Random Digits

By John von Neumann

pseudo-random. A simpler process suggested by Dr. Ulam is to use the mapping function  $f(x) = 4x(1-x)$ . If one produces a sequence  $\{x_i\}$  in this manner,  $x_{i+1}$  is completely determined by  $x_i$ , so that independence is lacking. It is, however, quite instructive to analyze the nature of randomness that exists in this sequence. One can, by an incomplete argumentation, apparently establish one kind, and then see that in reality a very different kind holds. First, let the relations  $x_i = \sin^2 \pi \alpha_i$  define the sequence  $\{\alpha_i\}$  (each modulo 1). Since  $x_{i+1} = 4x_i(1-x_i)$ , one sees that  $\alpha_{i+1} = 2\alpha_i$  (modulo 1). The sequence  $\{\alpha_i\}$  is thus obtained in binary representation by shifting the binary number  $\alpha_1 = \cdot\beta_1\beta_2\beta_3\beta_4 \dots$  as follows:  $\alpha_2 = \cdot\beta_2\beta_3\beta_4 \dots$ ,  $\alpha_3 = \cdot\beta_3\beta_4 \dots$ ,  $\alpha_4 = \cdot\beta_4 \dots$ ,  $\alpha_i = \cdot\beta_i\beta_{i+1}\beta_{i+2} \dots$ . It follows from the theorem of Borel about the randomness of the digits of real numbers that, for all numbers  $\alpha_1$  except those in a set of Lebesgue measure zero, the numbers  $\alpha_i$  are uniformly distributed on the interval  $(0,1)$ .

**Метод фон Неймана,  
Квантовые генераторы случайных чисел,  
Арифметическое кодирование,  
Треугольник Паскаля, числа Фибоначчи**

**00 10 01 11 10 00**

**00 --**

**10 -- 0**

**01 -- 1**

**11 --**

# Арифметическое кодирование, Треугольник Паскаля, числа Фибоначчи 64 такта

001001111000..010011100 ---- 00000..00 0 (64 бита адрес  
..... ---- 00000..01 номер 1  
..... ----

Всего таких последовательностей  $2^{64} - 10^{22}$

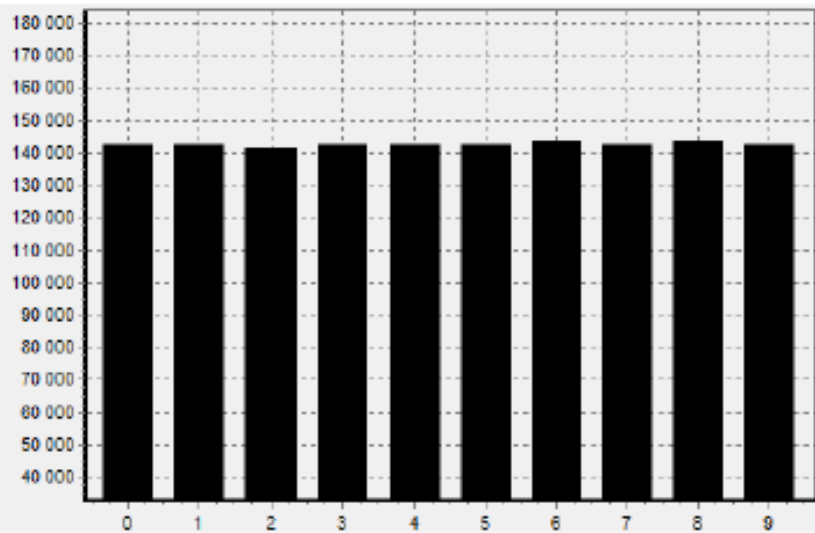
$10^{22} \rightarrow 10^{10} 10^{12}$

**номер позиции фотоотсчета \***

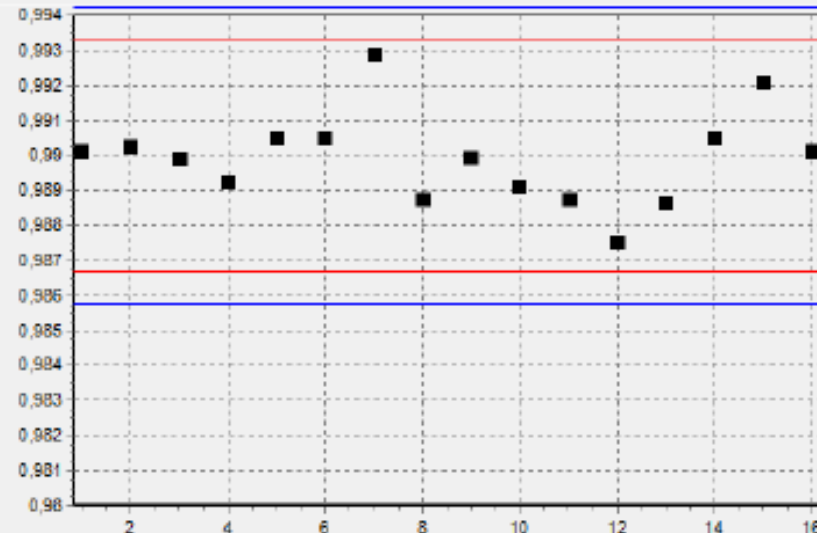
<b>i=1</b>				$C_0^0$		
<b>i=2</b>			$C_1^0$	$C_1^1$		
<b>i=3</b>		$C_2^0$	$C_2^1$	$C_2^2$		
<b>i=4</b>		$C_3^0$	$C_3^1$	$C_3^2$	$C_3^3$	
<b>i=5</b>	$C_4^0$	$C_4^1$	$C_4^2$	$C_4^3$	$C_4^4$	
<b>i=6</b>	$C_5^0$	$C_5^1$	$C_5^2$	$C_5^3$	$C_5^4$	$C_5^5$
	<b>k=0</b>	<b>k=1</b>	<b>k=2</b>	<b>k=3</b>	<b>k=4</b>	<b>k=5</b>

**порядковый номер фотоотсчета \***

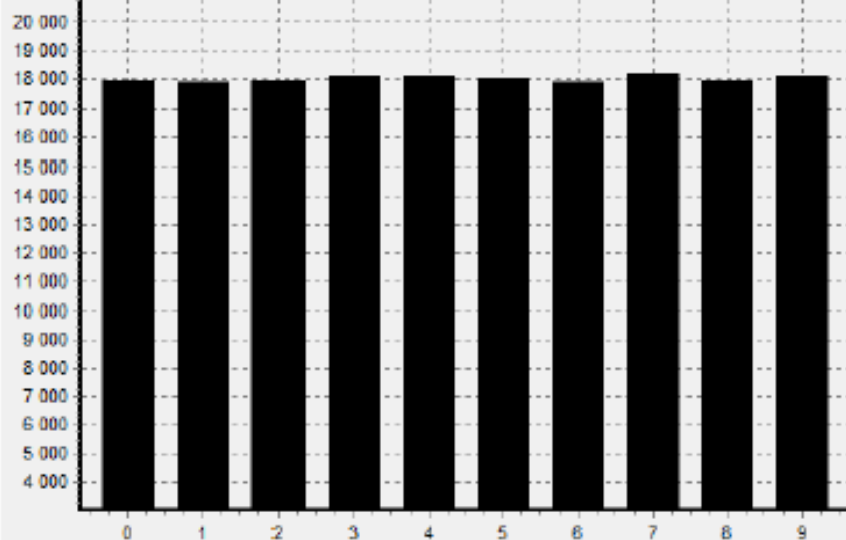
<i>N</i>	Название теста	доля послед. $M = 8000$ $L = 1 \cdot 10^6$	доля послед. $M = 1000$ $L = 2 \cdot 10^6$
1	Frequency Test	0.9901	0.9880
2	Block Frequency	0.9902	0.9886
3	Cumulative Sums	0.9899	0.9880
4	Cumulative Sums Reverse	0.9892	0,9840
5	Runs	0.9905	0.9880
6	Longest Runs	0.9905	0.9886
7	Rank	0.9929	0.9910
8	FFT Fast Fourier Transform	0.9888	0.9879
9	Non Overlapping Template	0.9899	0.9893
10	Overlapping Template	0.9891	0.9867
11	Universal	0.9987	0.9880
12	Approximate Entropy	0.9874	0.9950
13	Random Excursions	0.9883	0.9914
14	Random Excursions Variant	0.9904	0.9915
15	Serial	0.9921	0.9860
16	Linear Complexity	0.9901	0.9880



a)



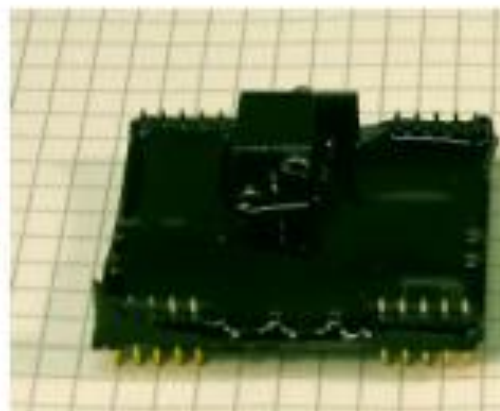
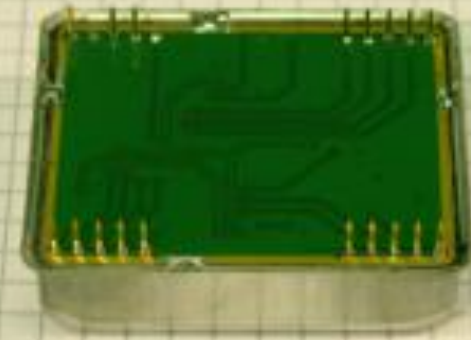
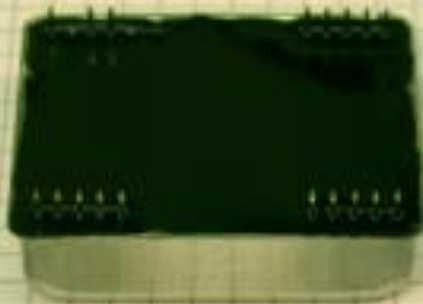
b)



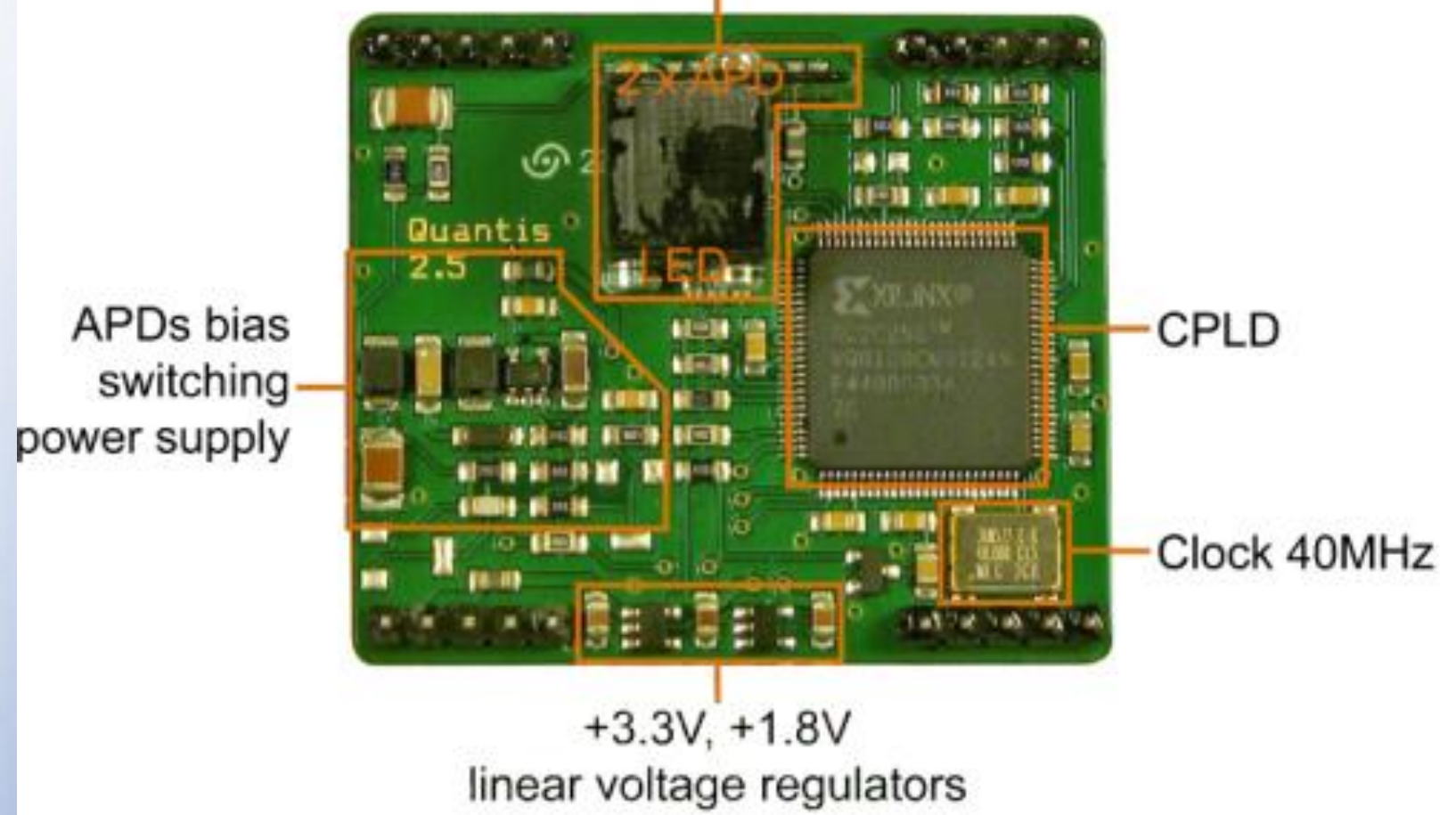
c)



d)

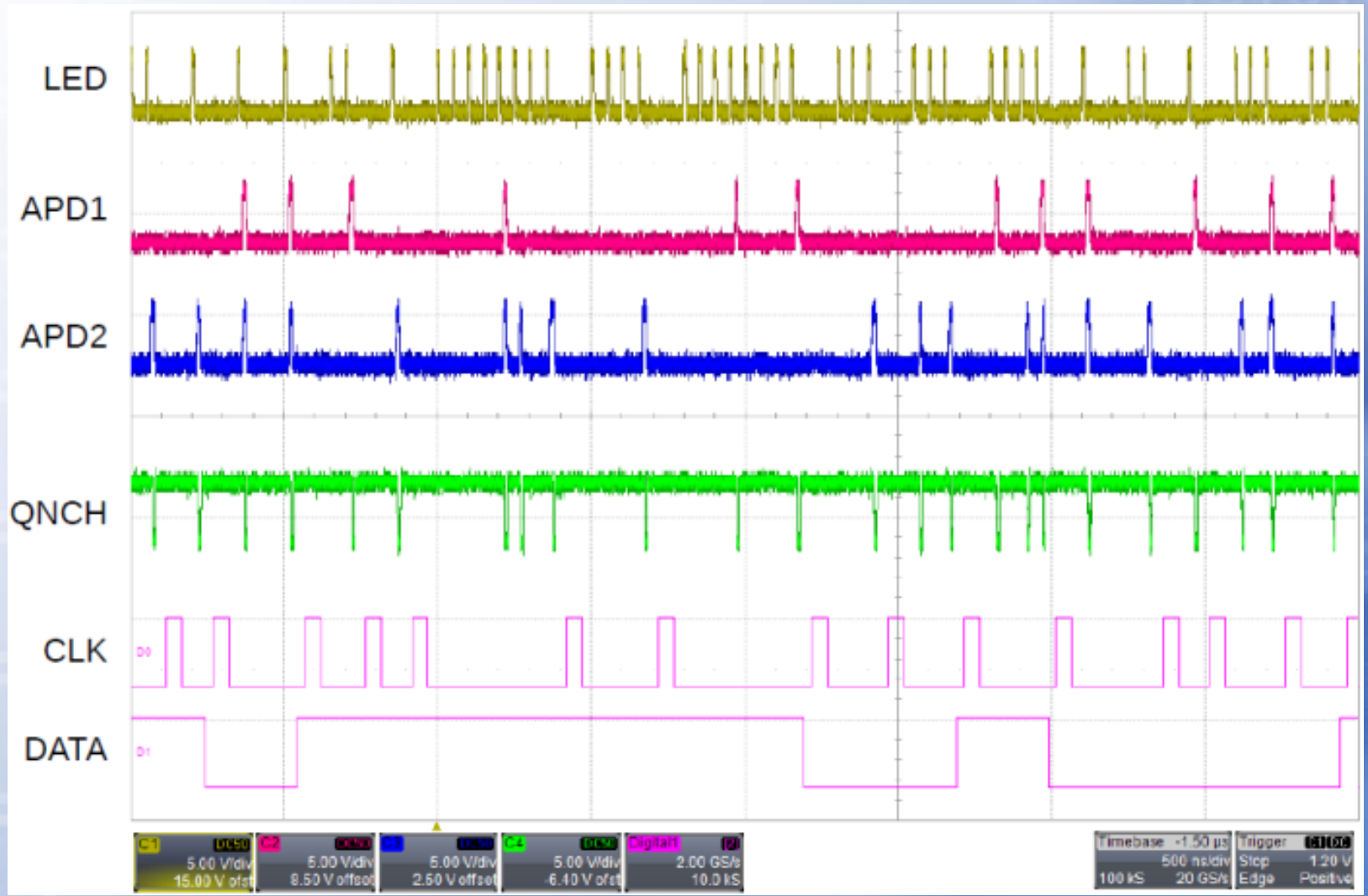


"Source of quantumness"





10101010  
01010101



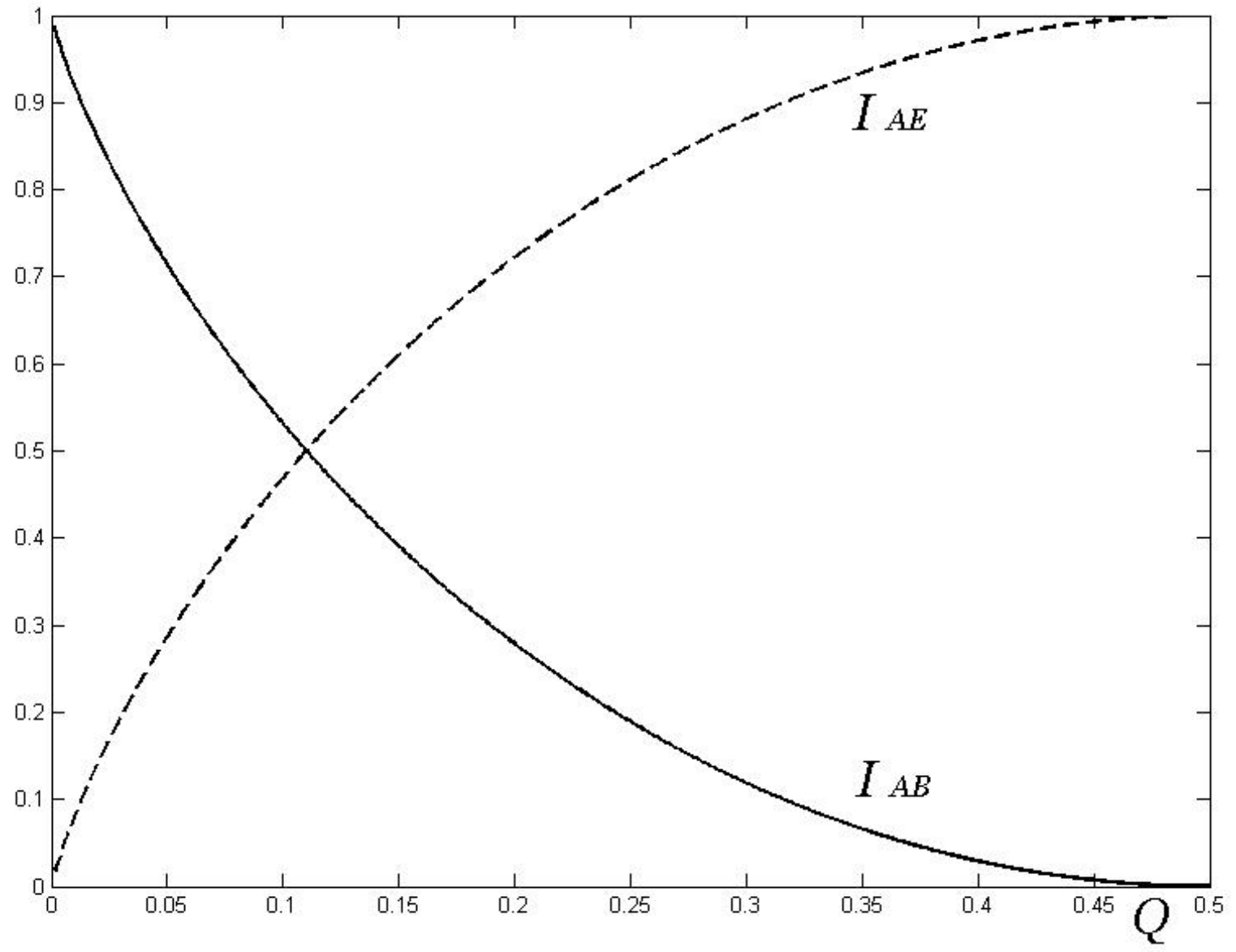
### **3. Как это работает – общие принципы**

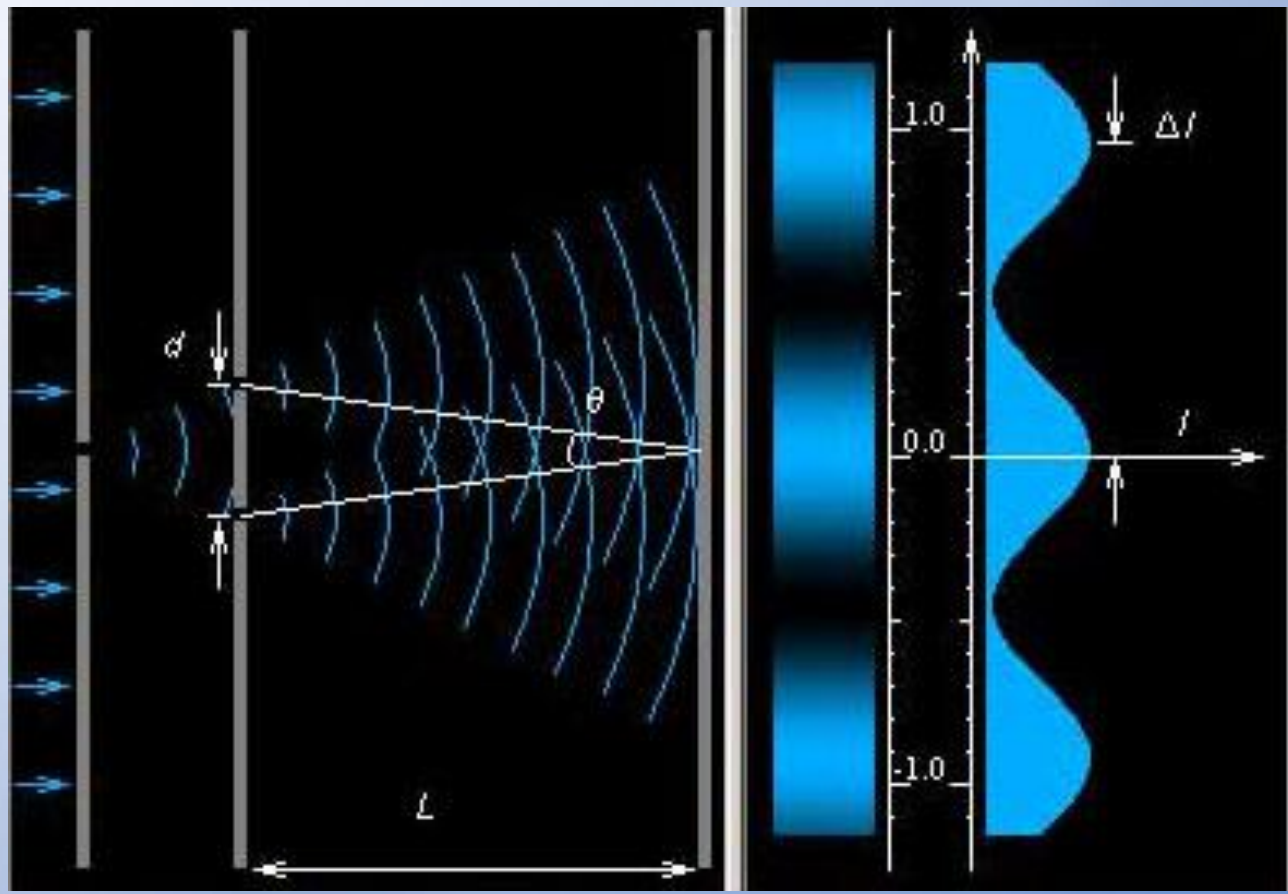
#### **Фундаментальные запреты квантовой механики.**

- 1) Неизвестное квантовое состояние нельзя скопировать (с вероятностью единица).**
- 2) Любое измерение с целью отличить одно квантовое состояние от другого искажает состояние. Важно -- возмущение гарантируется для неортогональных квантовых состояний.**

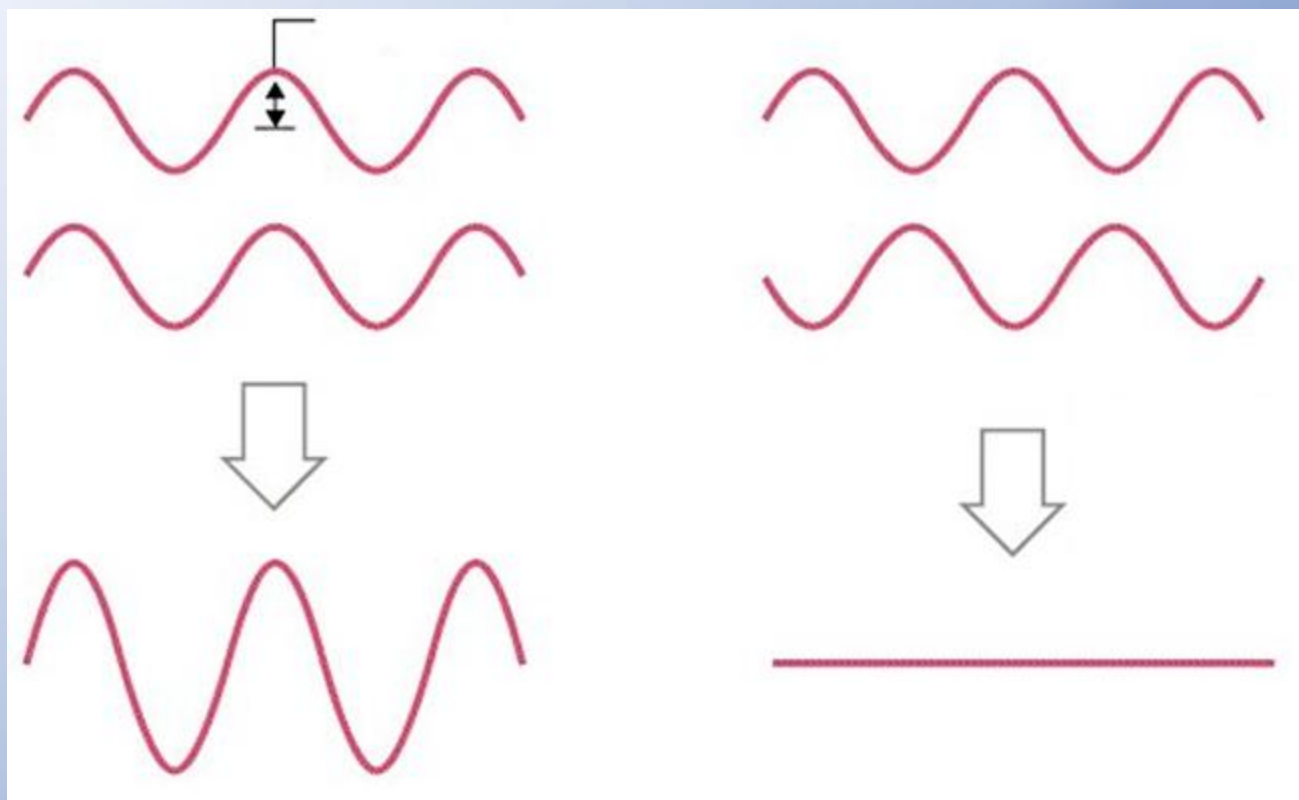
## Следствия для распределения секретных ключей.

- 1) Любое вторжение в канал связи приводит к возмущению квантовых состояний, которое детектируется – приводит к ошибке в первичных ключах.
- 2) Ошибка связана с верхней фундаментальной границей информации, которая уходит к подслушивателю при данной наблюдаемой вероятности ошибок на приемной стороне.
- 3) Если вероятность ошибки меньше критической величины, то информация между передатчиком и приемником больше, чем между передатчиком и подслушивателем. Разность – секретный ключ.



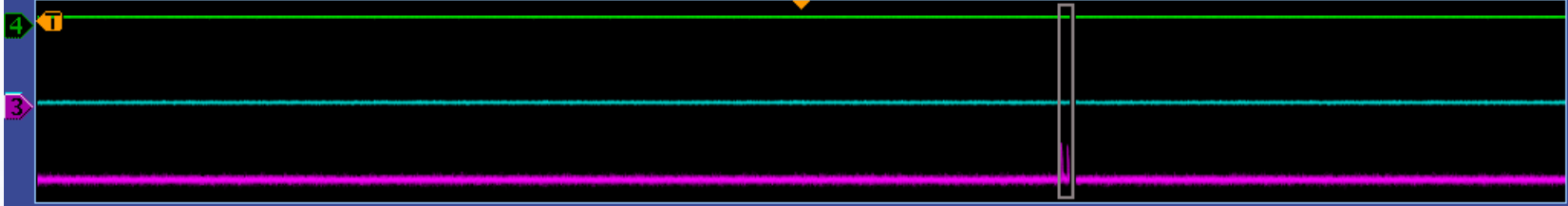


# Фазовое кодирование

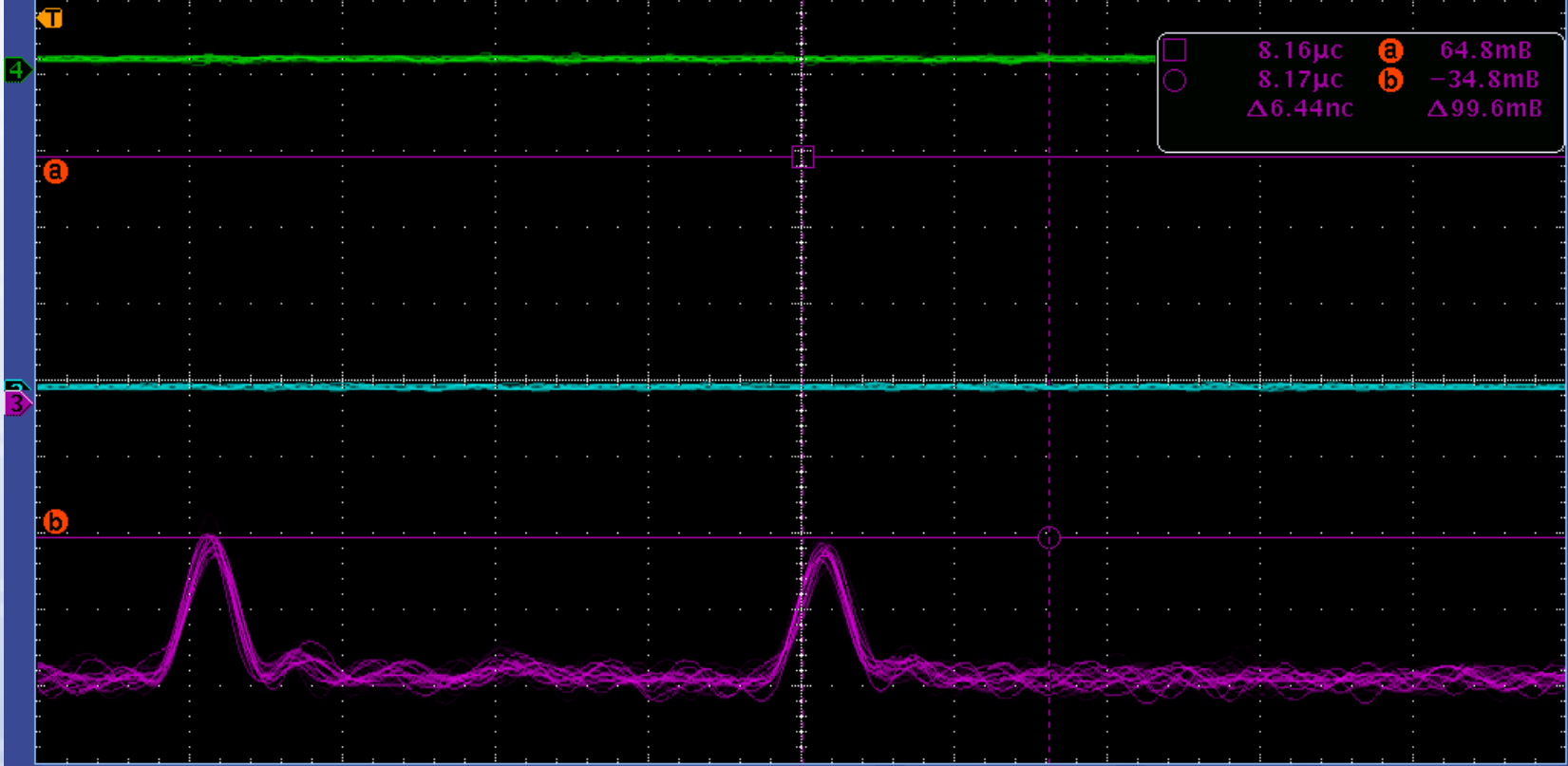


tek Стоп

Г 400нс



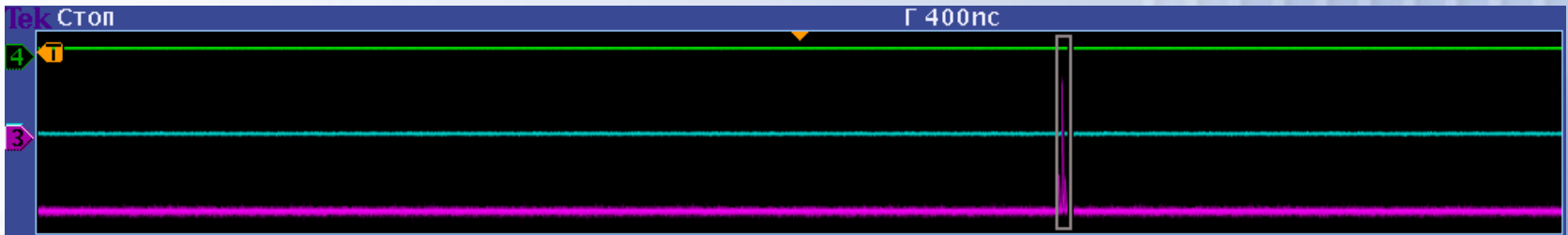
Zoom Factor: 100 X



□	8.16μs	a	64.8mV
○	8.17μs	b	-34.8mV
△	6.44ns		Δ99.6mV

2 1.00 V Ω   
 3 20.0mV Ω   
 4 500mV Ω   
 M 4.00нс   
 2.50Gвыб/с   
 4 ↘ -150mV  
 ↗ 7.46800μs   
 10k points

3	Тип входа Пост. ток	Инверсия Выкл	Полоса проп. Полная	Верт. маш. 20.0mV /дел	Смещение 0.000 V	Положен. -300mdiv	Настройка пробника 1 X	19 Сен 2012 16:36:48
---	------------------------	------------------	------------------------	------------------------------	---------------------	----------------------	------------------------------	-------------------------



Zoom Factor: 100 X



Сохранение на D:/tek00244.png

2	1.00 V $\Omega$	3	20.0mV $\Omega$	4	500mV $\Omega$	M 4.00нс	2.50Gвыб/с	4	$\sim$ -150mV
						$\rightarrow$ 7.46800 $\mu$ s	10k points		

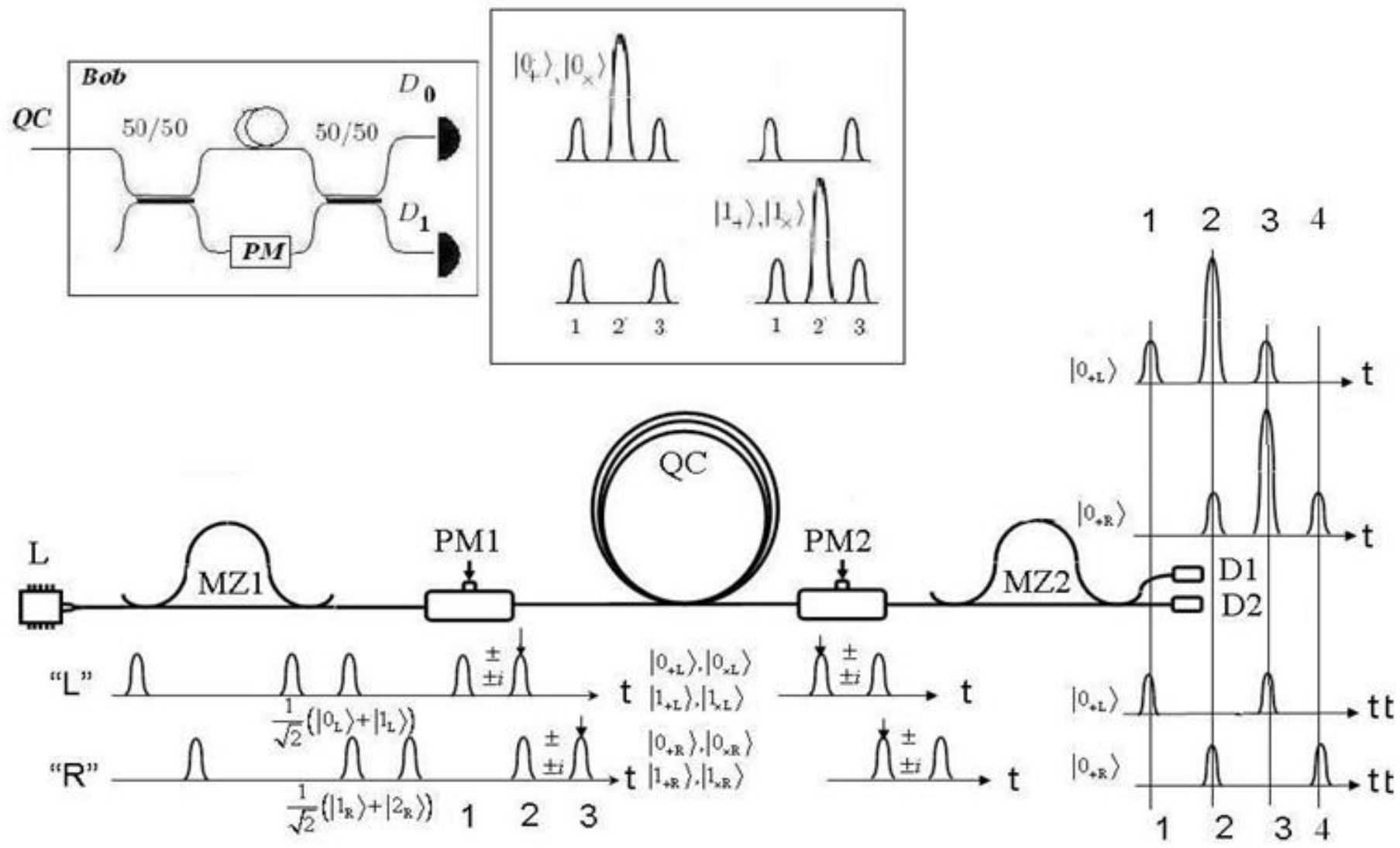
3	Тип входа Пост. ток	Инверсия Выкл	Полоса проп. Полная	Верт. маш. 20.0mV /дел	Смещение 0.000 V	Положен. -300mdiv	Настройка пробника 1 X	19 Сен 2012 16:35:51
---	------------------------	------------------	------------------------	------------------------------	---------------------	----------------------	------------------------------	-------------------------



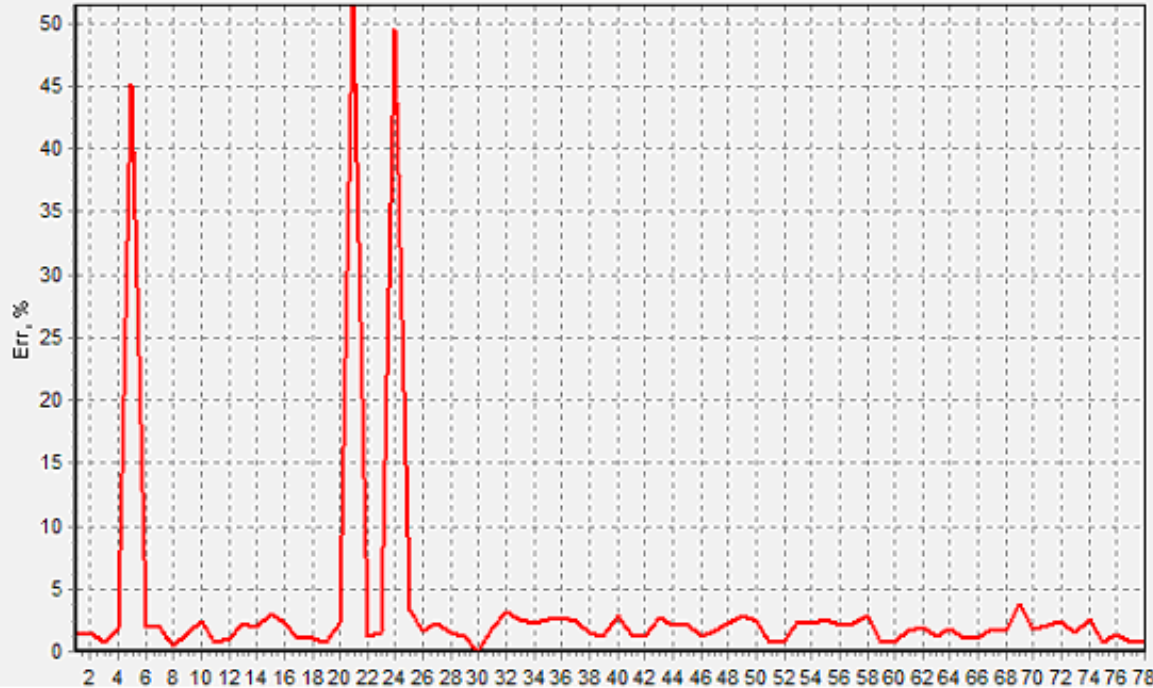
$$Q = \frac{1-V}{2}$$

# Фазово-временное кодирование

$$V = \frac{I_{D1} - I_{D2}}{I_{D1} + I_{D2}}$$



File Options Chart Help



Critical Params

T Laser : 25.0 Show  
T APD : -43.3 Show

Efficiency = 3.2e-03  
Nerr = 2 Err = 0.8%

Series #76  
Pulses sent = 80000  
APD counts in mem = 233  
Efficiency = 2.9e-03  
Nerr = 3 Err = 1.3%

Series #77  
Pulses sent = 80000  
APD counts in mem = 249  
Efficiency = 3.1e-03  
Nerr = 2 Err = 0.8%

Series #78  
Pulses sent = 80000  
APD counts in mem = 269  
Efficiency = 3.4e-03  
Nerr = 2 Err = 0.7%

Series #79

Laser | APD | PC | Pin | PM | ATT

APD Rd | Pin Rd | Counters Rd | Err Rd | Key Rd

Clock

N sent : 6563

Freq : 10.000 kHz

N puls : 80000

N=0 - infinite

Running

Start

Stop

Delays

APD : 66260.0 ns

Pin2 : 160.0 ns

Pin3 : 40.0 ns

PM1 : 66180.0 ns

Laser

Output blocked

Monitor PD : 0.3

Width : 31.3 ns

Ampl : 7.7 mA

T : 25.0

Tset : 25.0

Pulse

Width : 0.9 ns

Ampl : 16.0 mW

Update

Pulses / pnt : 80000 8.0 sec / pnt

Series num : 1000

PM1

PM2

Scan Time : 8000.0 sec

Start

Stop

# Сжатие очищенных ключей

## Функция сжатия $g(X)$ - универсальная хэш-функция

$g(X)$  - случайная функция (известна всем, в том числе и подслушивателю) .

1)  $x, a = \{0, 1, \dots, 0, 0\}$

2) Реализация:  $x, a$  - элементы  $GF(2^n)$ ,  $a$  - случайная строка бит длины  $n$ .

3) Умножение в  $GF(2)$  –  $r(x) = a * x \pmod{P(x)}$ .

4) Взять остаток  $r$  старших бит.

5) Ключ длины  $r$ .

Полиномы степени  $n < 10\ 000$ .

$$x^{9998} + x^{4013} + 1$$

$$x^{9999} + x^{2951} + 1$$

$$x^{10000} + x^{19} + x^{13} + x^9 + 1$$

# Протоколы и секретность.

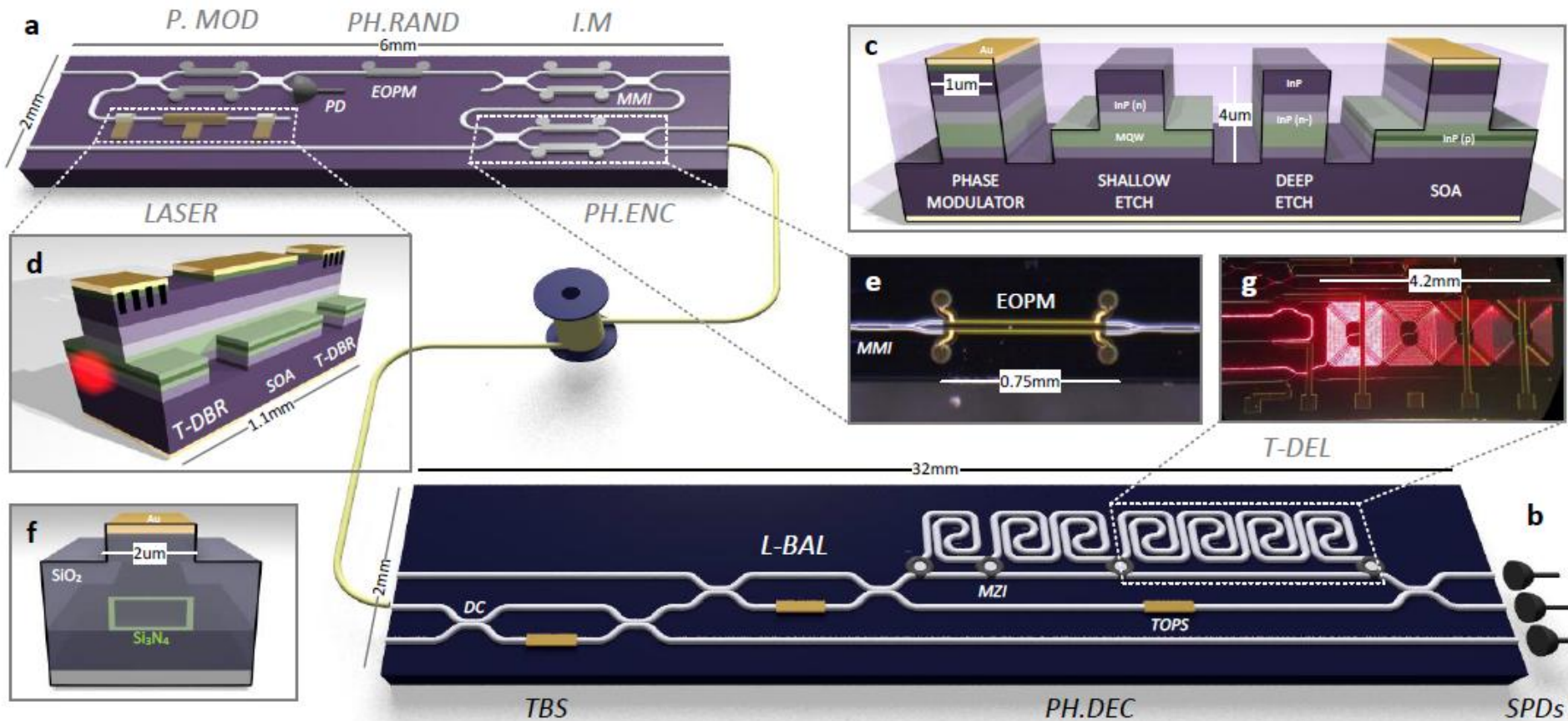
- 1) BB84.
- 2) B92.
- 3) SARG.
- 4) Decoy State.
- 5) Фазово-временной.
- 6) DPS – Differential Phase Shift.
- 7) COW – Coherent One Way.
- 8) CW – с непрерывными переменными
- 9) С реперным состоянием.
- 10) Релятивистская квантовая криптография.

**Как это будет выглядеть в будущем – контуры будущего уже явно просматриваются сегодня.**

**Качественный скачок в технологическом уровне -- переход на интегрально-оптическую платформу.**

# Chip-based Quantum Key Distribution

P. Sibson,<sup>1,\*</sup> C. Erven,<sup>1</sup> M. Godfrey,<sup>1</sup> S. Miki,<sup>2</sup> T. Yamashita,<sup>2</sup> M. Fujiwara,<sup>3</sup> M. Sasaki,<sup>3</sup> H. Terai,<sup>2</sup> M. G. Tanner,<sup>4</sup> C. M. Natarajan,<sup>4</sup> R. H. Hadfield,<sup>4</sup> J. L. O'Brien,<sup>1</sup> and M. G. Thompson<sup>1,†</sup>

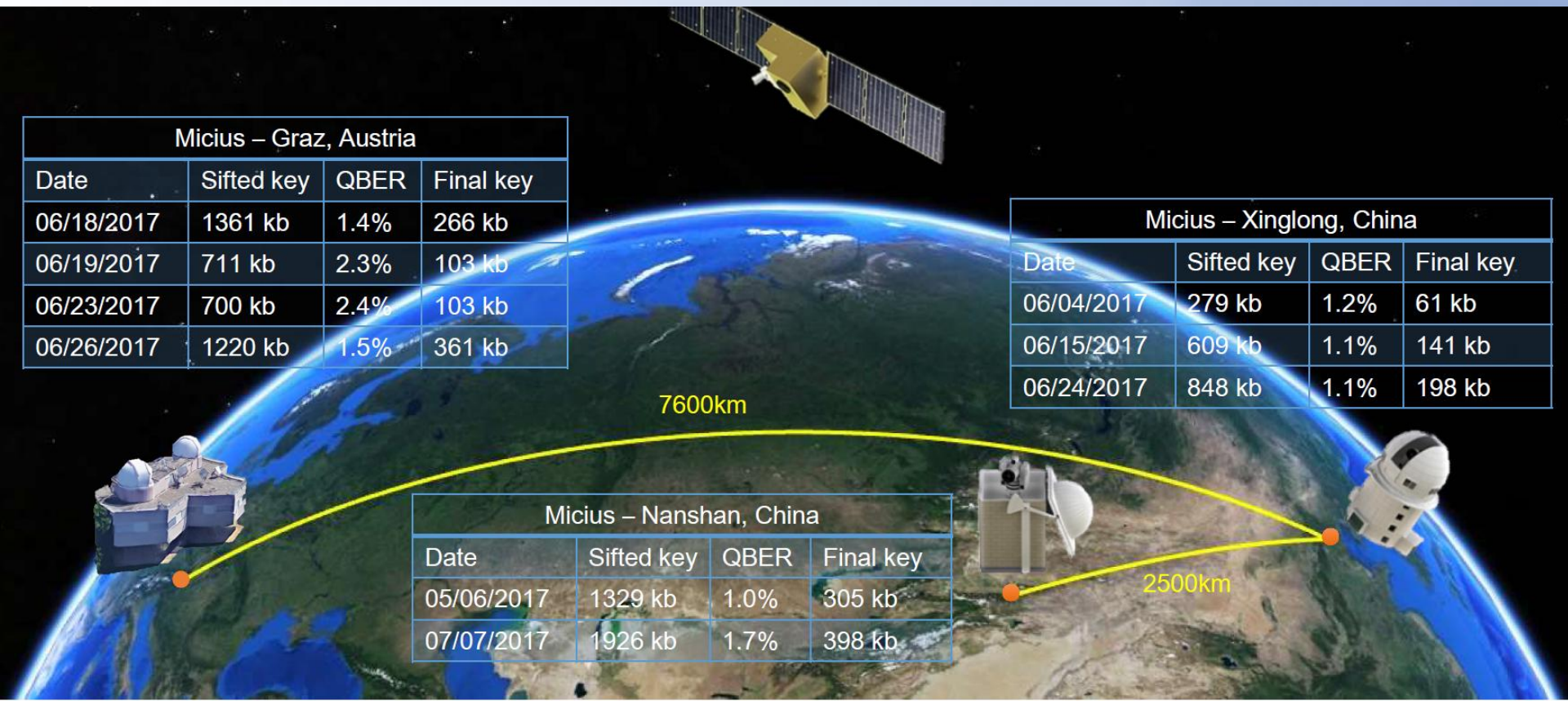


101010101  
0101010101

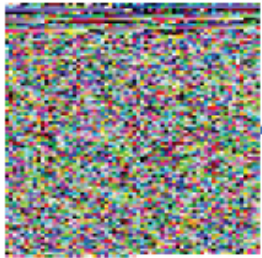
Micius – Graz, Austria			
Date	Sifted key	QBER	Final key
06/18/2017	1361 kb	1.4%	266 kb
06/19/2017	711 kb	2.3%	103 kb
06/23/2017	700 kb	2.4%	103 kb
06/26/2017	1220 kb	1.5%	361 kb

Micius – Xinglong, China			
Date	Sifted key	QBER	Final key
06/04/2017	279 kb	1.2%	61 kb
06/15/2017	609 kb	1.1%	141 kb
06/24/2017	848 kb	1.1%	198 kb

Micius – Nanshan, China			
Date	Sifted key	QBER	Final key
05/06/2017	1329 kb	1.0%	305 kb
07/07/2017	1926 kb	1.7%	398 kb

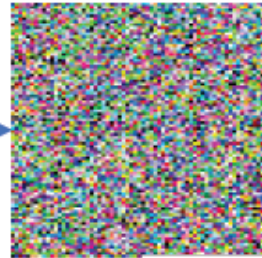
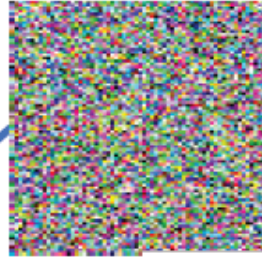


Binary View of Original JPG File



Bitwise XOR at Beijing

Shared Key1

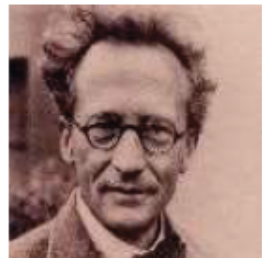


Encrypted

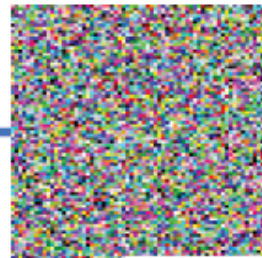
Bitwise XOR at Vienna



Decrypted JPG File



Decrypted JPG File



Shared Key2

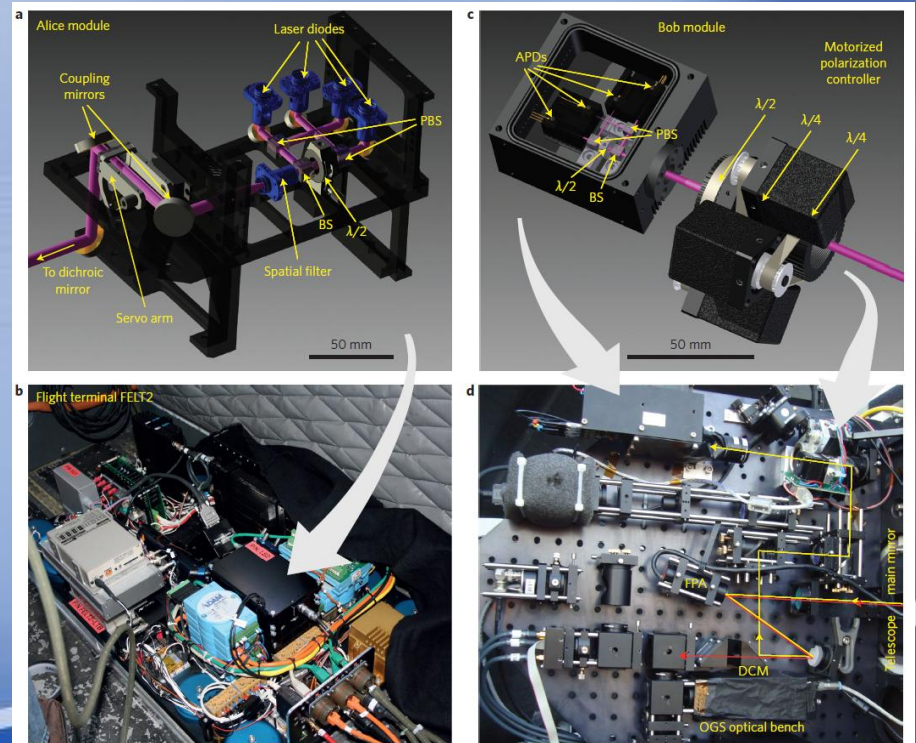
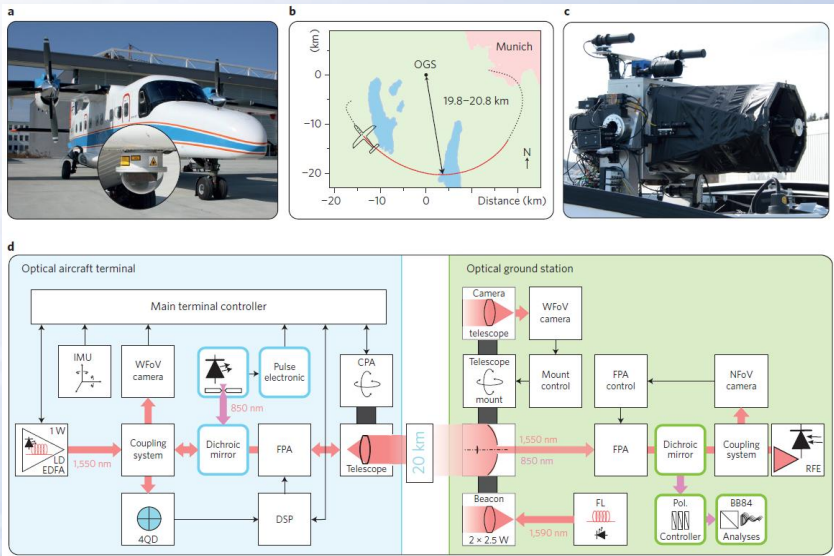


Binary View of Original JPG File



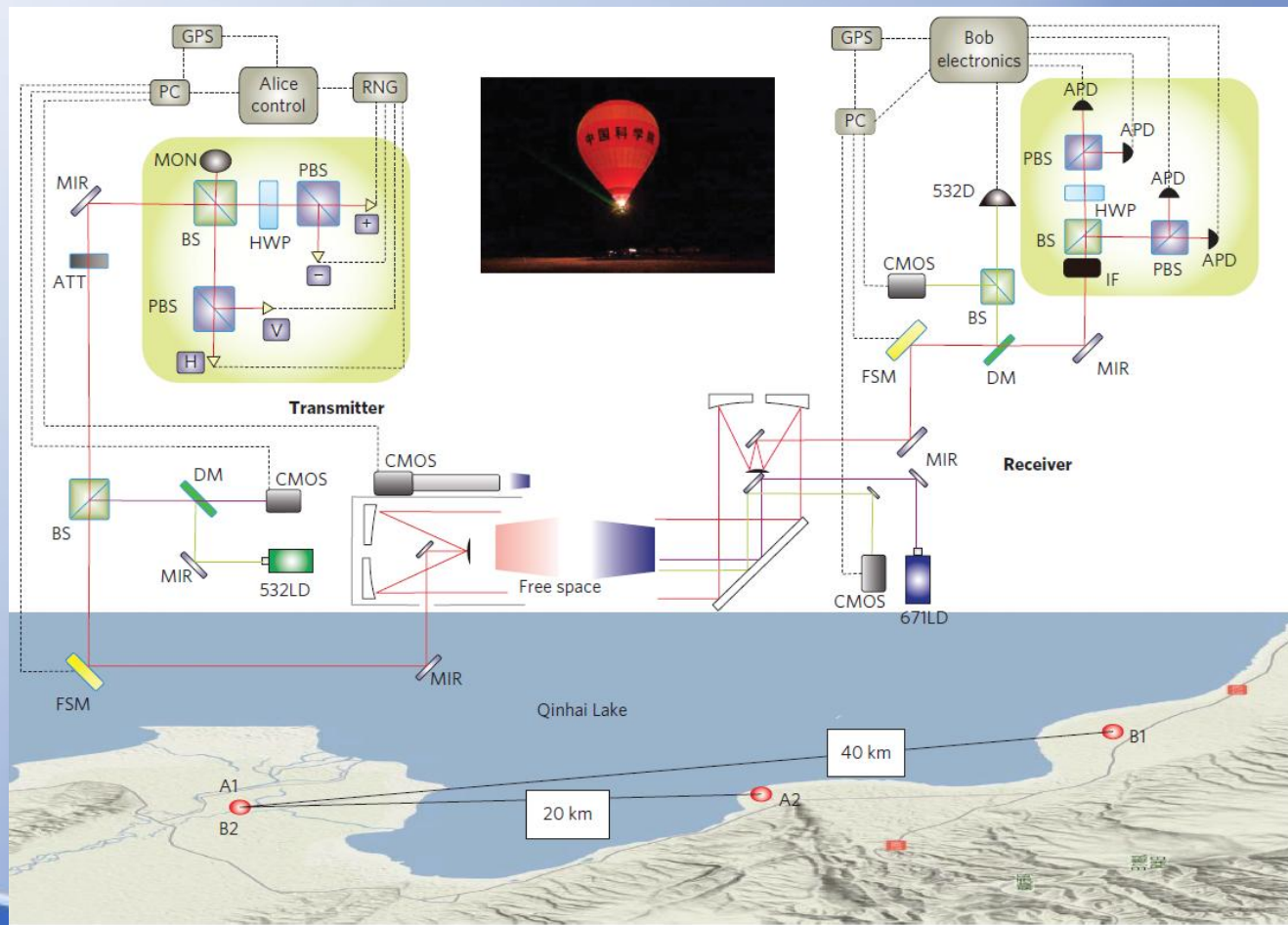


## Air-to-ground quantum communication

Sebastian Nauerth<sup>1\*</sup>, Florian Moll<sup>2</sup>, Markus Rau<sup>1</sup>, Christian Fuchs<sup>2</sup>, Joachim Horwath<sup>2</sup>, Stefan Frick<sup>1</sup> and Harald Weinfurter<sup>1,3</sup>

# Direct and full-scale experimental verifications towards ground-satellite quantum key distribution

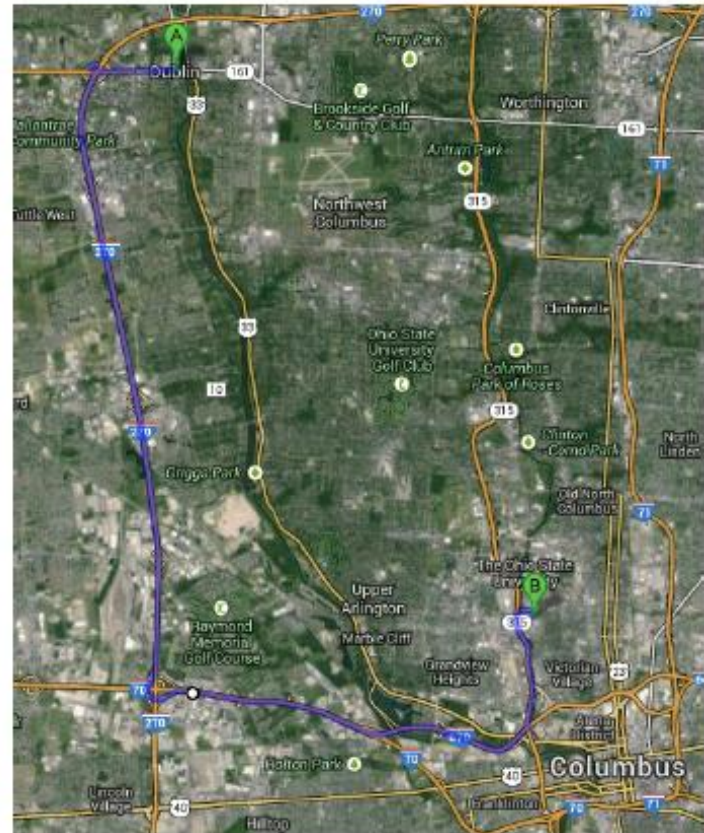
Jian-Yu Wang<sup>1,2†</sup>, Bin Yang<sup>1†</sup>, Sheng-Kai Liao<sup>1,2</sup>, Liang Zhang<sup>2</sup>, Qi Shen<sup>1</sup>, Xiao-Fang Hu<sup>1</sup>, Jin-Cai Wu<sup>2</sup>, Shi-Ji Yang<sup>2</sup>, Hao Jiang<sup>2</sup>, Yan-Lin Tang<sup>1</sup>, Bo Zhong<sup>3</sup>, Hao Liang<sup>1</sup>, Wei-Yue Liu<sup>3</sup>, Yi-Hua Hu<sup>2</sup>, Yong-Mei Huang<sup>4</sup>, Bo Qi<sup>4</sup>, Ji-Gang Ren<sup>1</sup>, Ge-Sheng Pan<sup>1</sup>, Juan Yin<sup>1</sup>, Jian-Jun Jia<sup>2</sup>, Yu-Ao Chen<sup>1</sup>, Kai Chen<sup>1</sup>, Cheng-Zhi Peng<sup>1\*</sup> and Jian-Wei Pan<sup>1\*</sup>



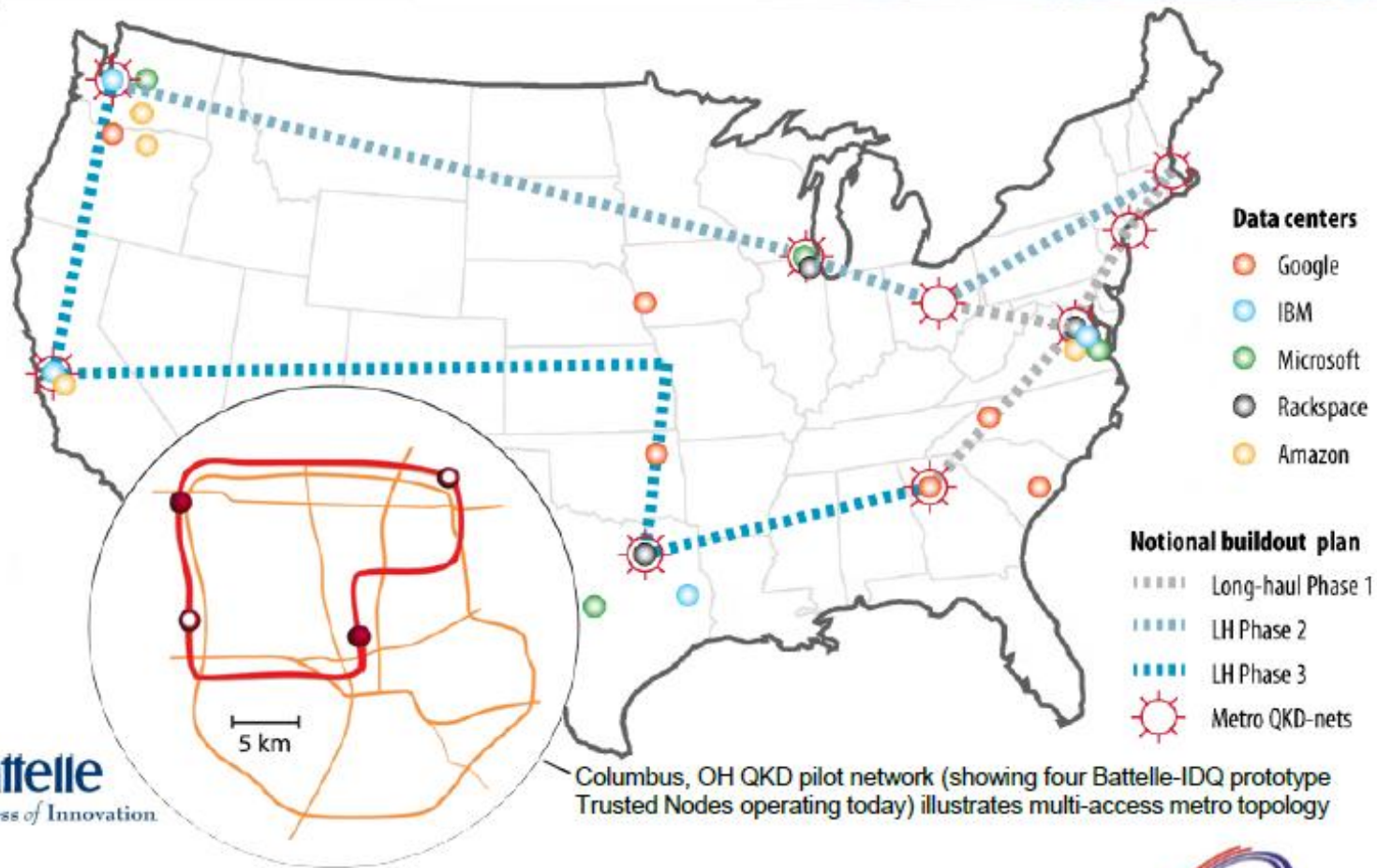
# Enterprise: Corporate Data & IP

**Battelle**  
*The Business of Innovation*

- ❑ **Battelle USA**
  - World's largest nonprofit R&D organization
  - Over 22,000 employees at more than 130 locations globally
- ❑ Requirement to protect mission critical corporate, financial information & intellectual property (designs, drawings, etc)
- ❑ IDQ's quantum cryptography used to secure critical links between headquarters in Columbus Ohio and satellite office in Dublin Ohio
- ❑ By 2015 will connect Battelle building in Washington DC with QKD-secured link
  - Working with IDQ to develop trusted nodes for increased distance of QKD



# 2015: IDQ-Battelle quantum backbone for long-term inter-datacenter security



**Battelle**  
The Business of Innovation

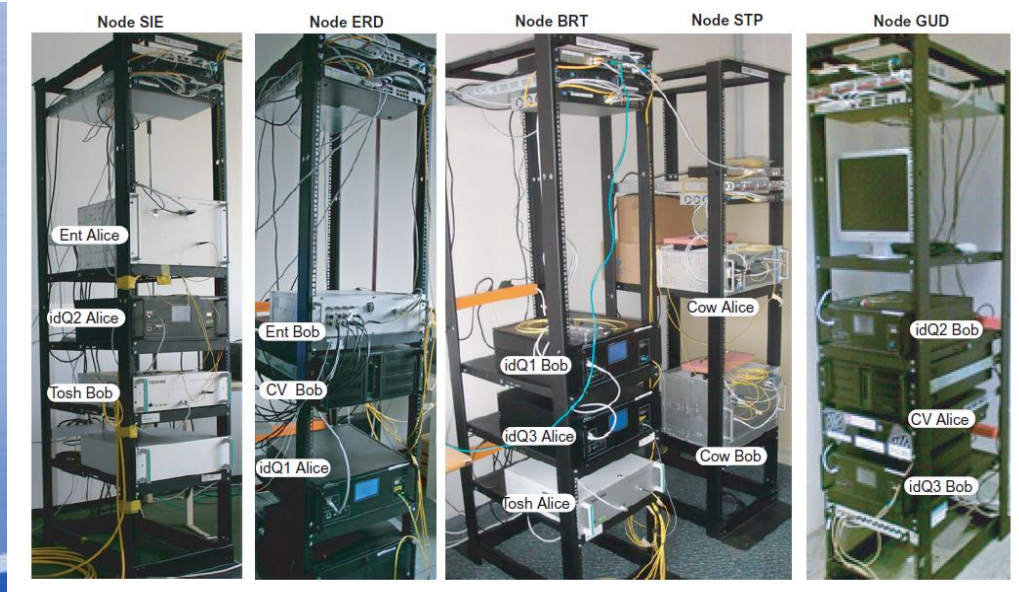
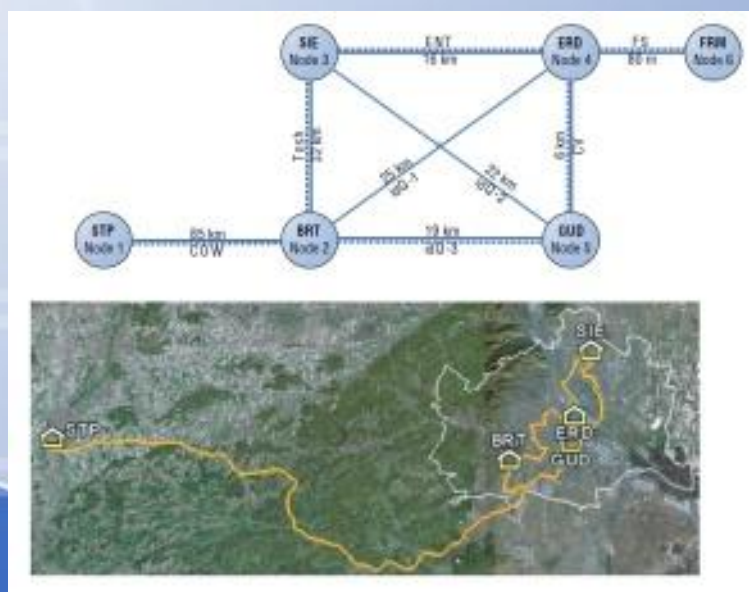
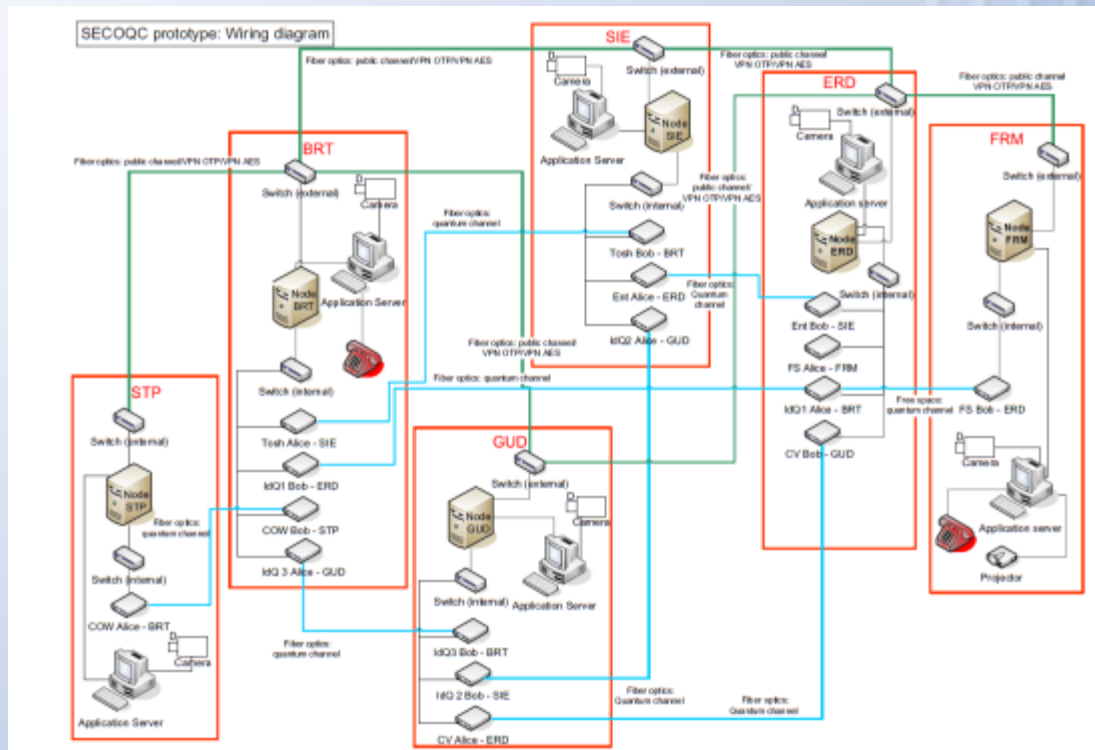
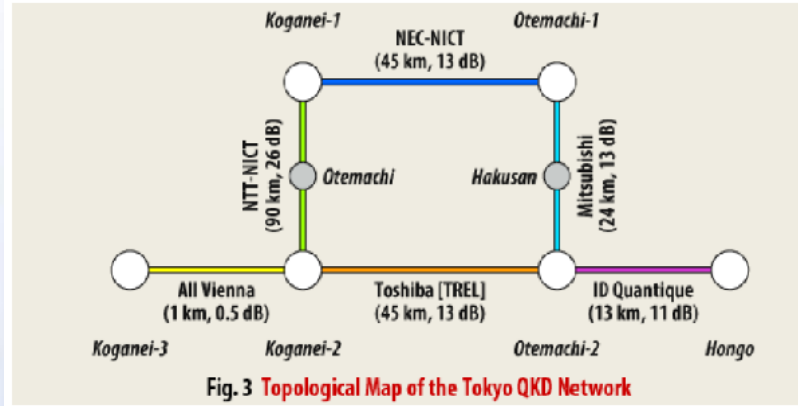


Figure 5. Photographs of the SECOQC network node racks.

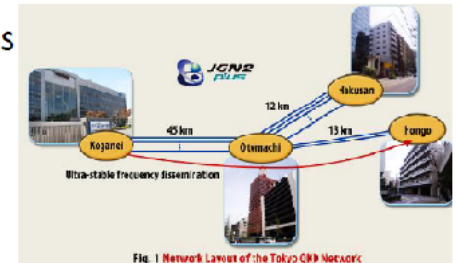
# Tokyo QKD Network

- NEC, Mitsubishi Electric, NTT, NICT, Toshiba Research Europe Ltd. (UK), ID Quantique (Switzerland) All Vienna (Austria)

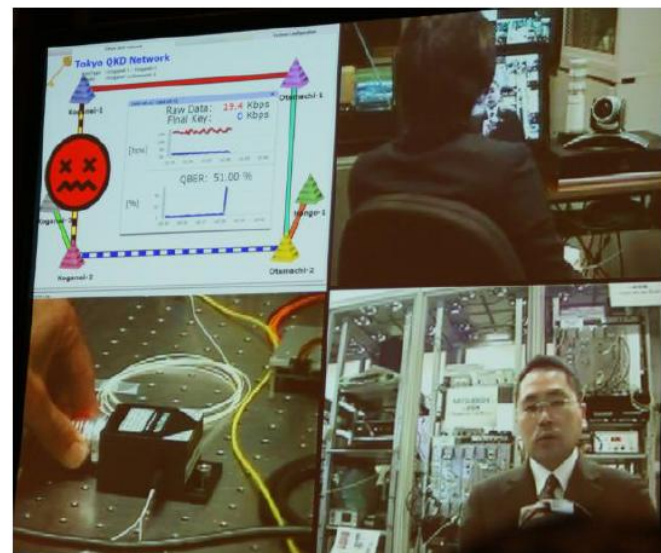


# Network Layout

- Make use of JGN2plus
- Star network



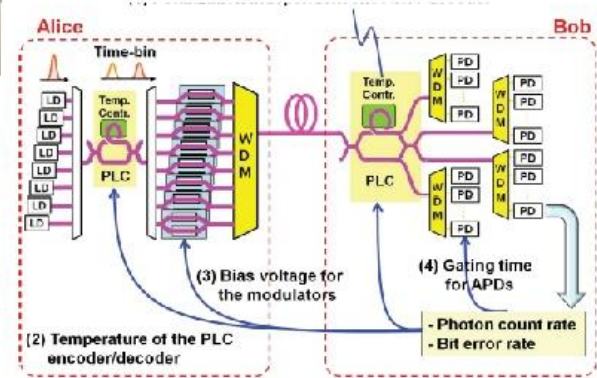
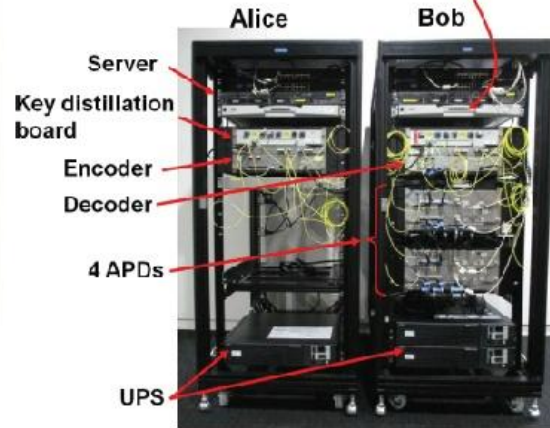
# Secure Video Conference



101010101  
0101010101

Alice

Bob



# Korean government plan

[ Quantum R&D Testbed(~'15)]



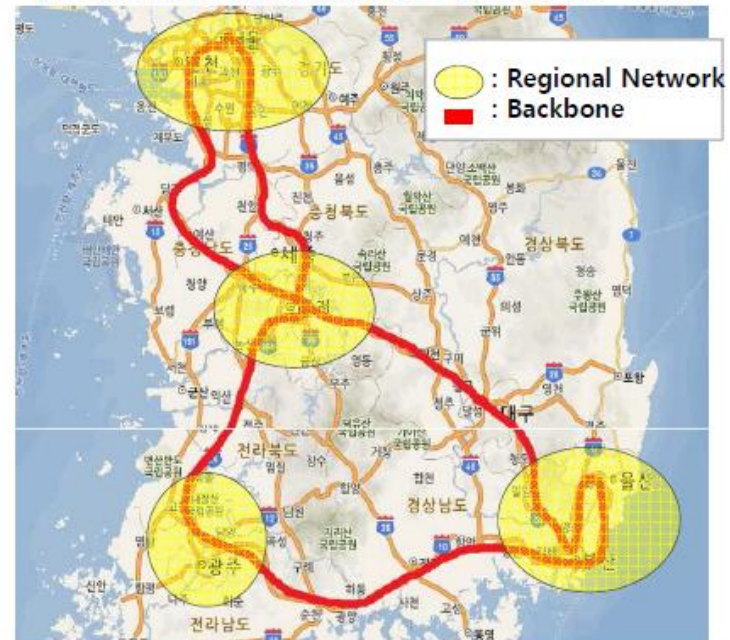
- SKT(Bundang) – KIST(Suwon) – NSTR(Seoul)

[ Quantum Backbone(~'17)]



- Seoul-Southern Gyeonggi-Sejong-Daejeon

[ National Administrative Network ~'20]



- Tentative the number of nodes

Category	# of node	비고
Public Administration	347	National wide office
Prosecutor & Police Office	2,264	National wide office
Post Office	3,562	National wide office

- Extend to defense and financial institute
  - Defense comm.: 516 nodes
  - Financial Institute(1tier) 8275 nodes(incl. branches)



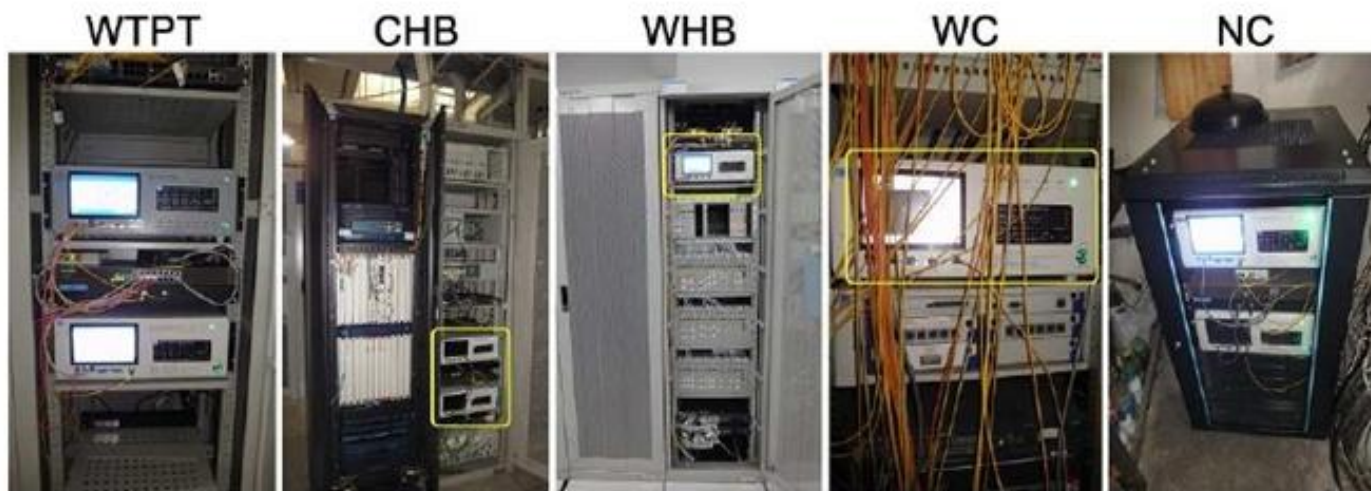
# Chinese Trusted node Quantum network

- Total Length 2000 km
- 2013.6-2016.12
- 32 trustable relay nodes  
31 fiber links
- Metropolitan networks  
Existing: Hefei, Jinan  
New: Beijing, Shanghai
- Total Investment: 560 M RMB. Half by NDRC, Half by Local government
- Customer: China Industrial & Commercial Bank; Xinhua News Agency; CBRC

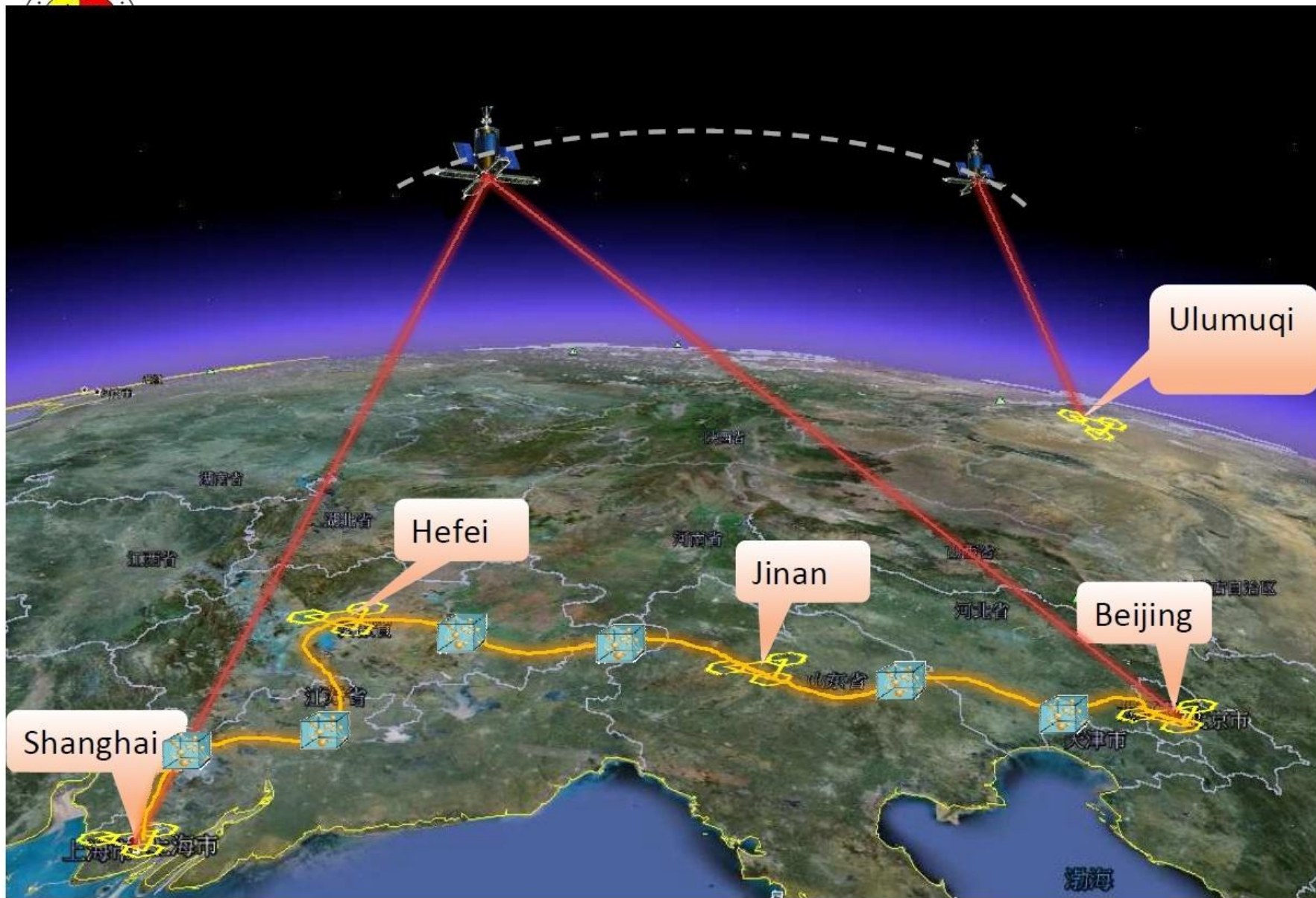




Geographic distribution of the Hefei-Chaohu-Wuhu wide area QKD network, which connects three cities – Hefei, Chaohu, and Wuhu.

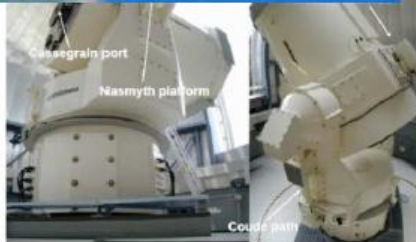
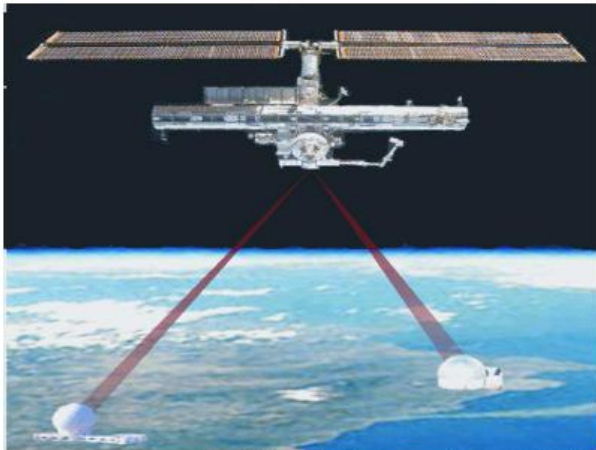


# Chinese Trusted node Quantum network



# Proposals for quantum communication in space

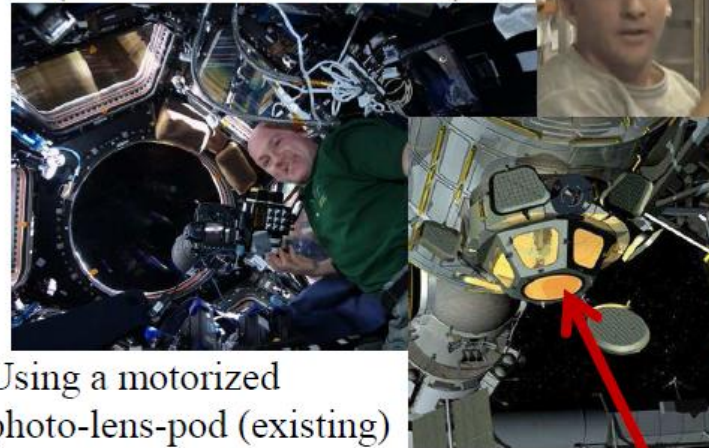
## Dual-downlink (ROM R&D 47 M€)



Simultaneous  
optical downlink:  
1400 km separation.

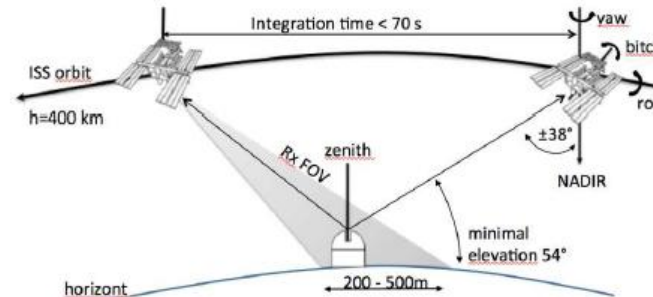
R. Ursin et al., Europhysics News,  
26-29, 40-40 (3) (2009)

## Single-uplink (ROM R&D 1 M€)



Astronaut:  
A. Kuipers

Using a motorized  
photo-lens-pod (existing)  
and a dedicated quantum  
detector as “camera”.

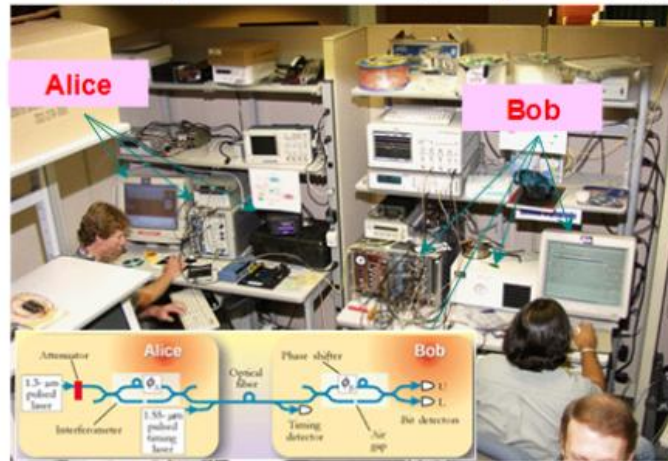


T. Scheidl, E. Wille, and R. Ursin,  
New Journal of Physics, 15, 043008 (2013)

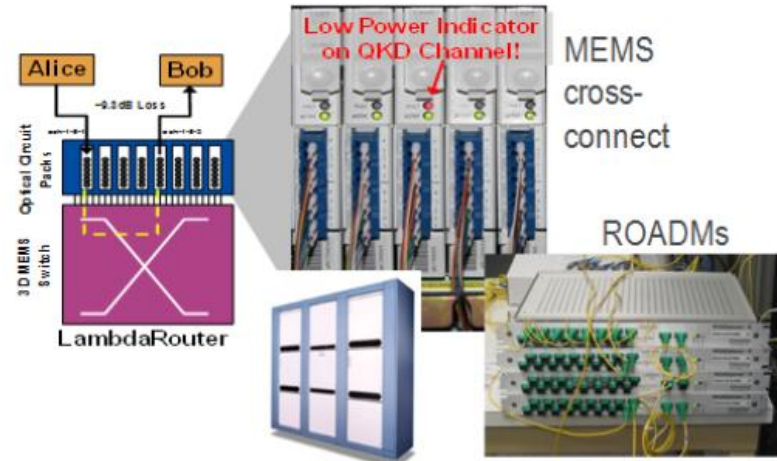


# Telcordia Experience: Quantum Networks

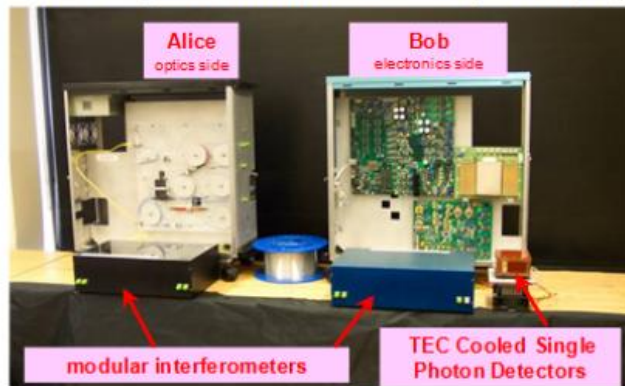
LANL 2<sup>nd</sup> generation fiber QKD system (F2)



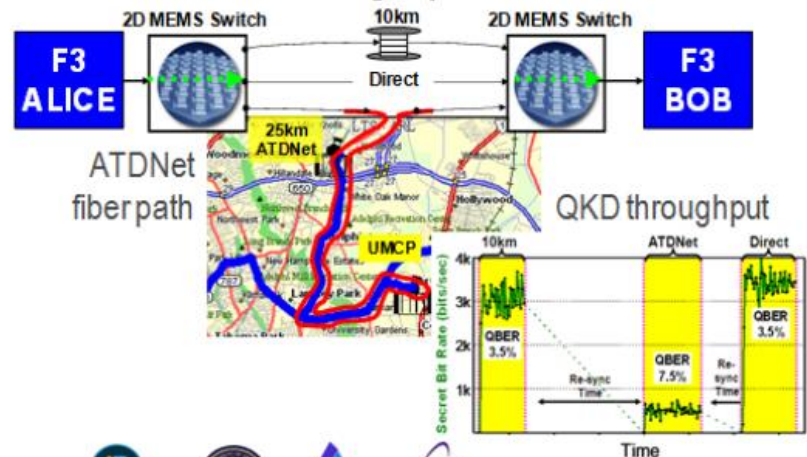
QKD Transmission through all-optical switches



LANL 3<sup>rd</sup> generation fiber QKD system (F3)



QKD Transmission through optical switches and ATDNet



Ref: R. J. Hughes and T.E. Chapuran, "Introduction to Quantum Cryptography", Optical Fiber Communications (OFC) Short Course, Los Angeles, CA, 2011

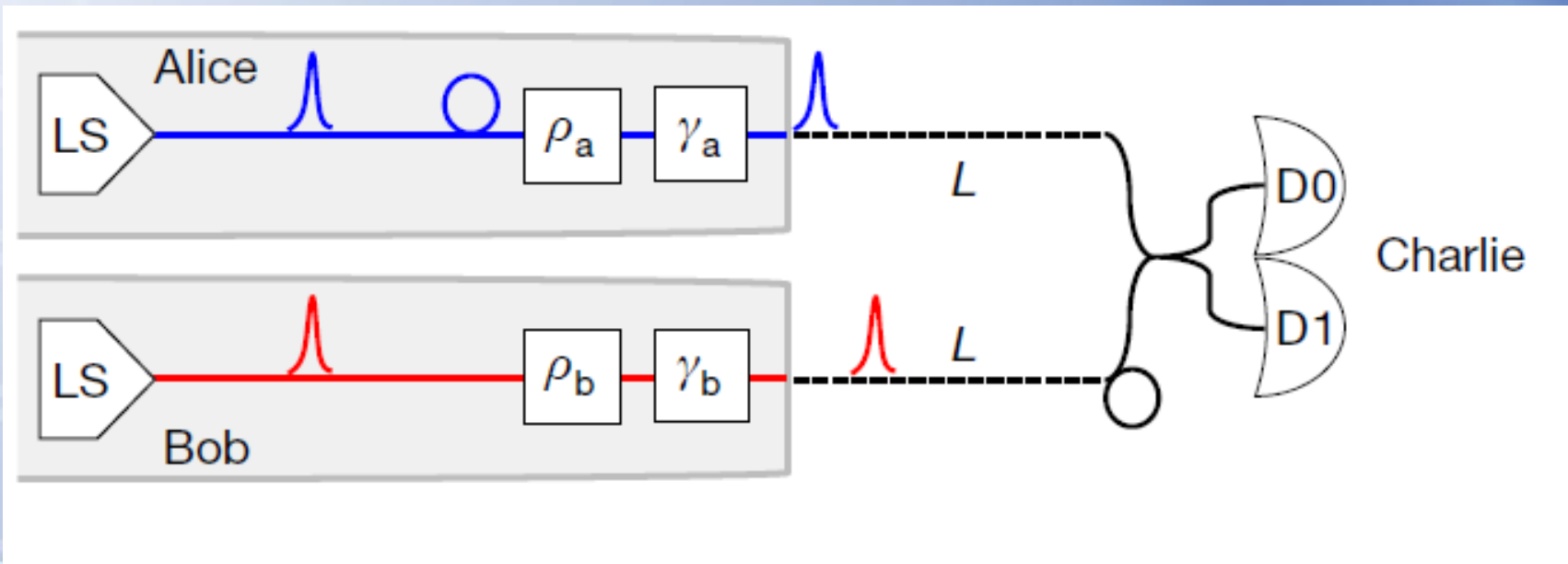
101010101  
0101010101010101

**Передача ключей через НЕДОВОЕРЕННЫЕ  
узлы**

## LETTER

<https://doi.org/10.1038/s41586-018-0066-6>

### Overcoming the rate–distance limit of quantum key distribution without quantum repeaters

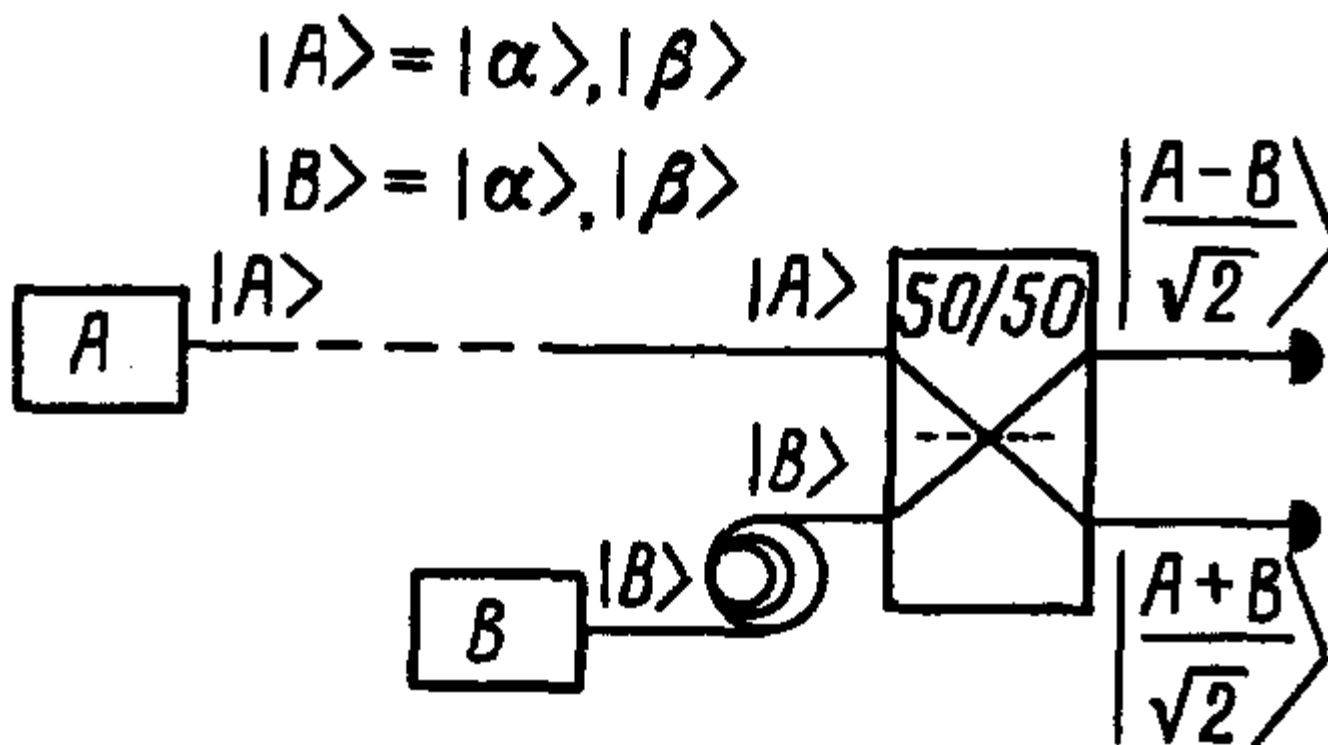


# КВАНТОВАЯ КРИПТОГРАФИЯ НА КОГЕРЕНТНЫХ СОСТОЯНИЯХ НА ОСНОВЕ КВАНТОВОГО КОМПАРАТОРА

С.Н.Молотков

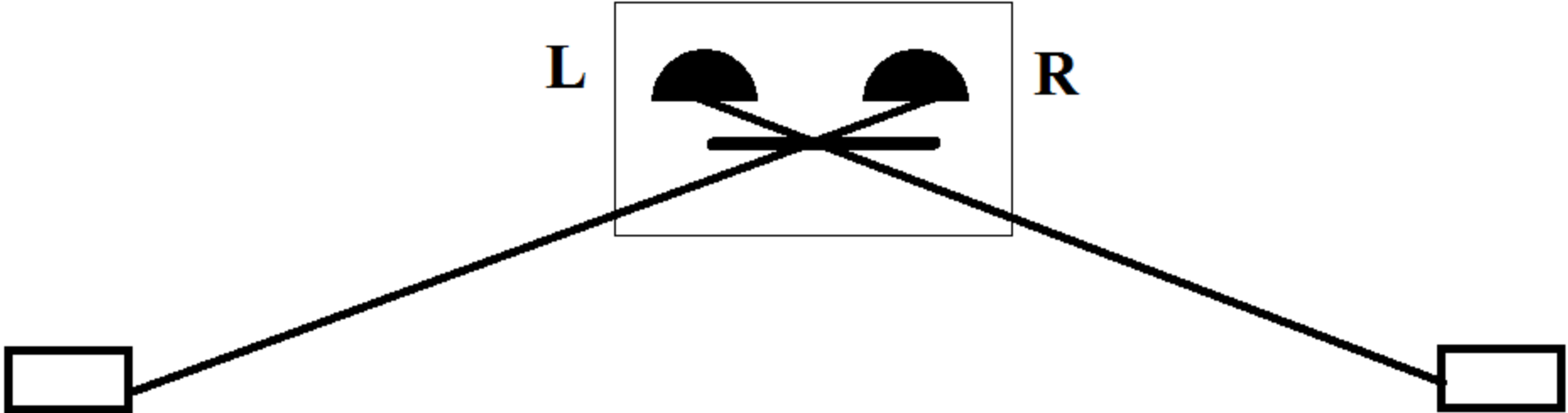
Институт физики твердого тела РАН  
142432, Черноголовка, Московская обл., Россия

Поступила в редакцию 16 сентября 1997 г.





# untrusted node



<b>A</b>			<b>B</b>
<b>0</b>	_____	<b>R</b>	_____ <b>0</b>
<b>1</b>	_____	<b>R</b>	_____ <b>1</b>
<hr/>			
<b>0</b>	_____	<b>L</b>	_____ <b>1</b>
<b>1</b>	_____	<b>L</b>	_____ <b>0</b>

**СПАСИБО ЗА ВНИМАНИЕ.**